



## Životní prostředí a chemie

Stalo se již tradicí, že říjnové číslo našeho časopisu *Chemické listy* je ve spolupráci s Ministerstvem životního prostředí ČR věnováno vztahu chemie a životního prostředí a zejména možnostem chemie při tvorbě a ochraně životního prostředí. Ze strany České společnosti chemické je cílem tohoto společného projektu ukázat, že chemie není nepřítel a škůdcem životního prostředí, jak se řada našich spoluobčanů stále mylně domnívá, ale je naopak schopna vytvářet vědecké, metodické i technologické předpoklady pro zlepšování kvality našeho životního prostředí. Lze si jen obtížně představit, že rostoucí nároky naší populace nebudou vytvářet stále větší tlak na životní prostředí. Stále rostoucí požadavky na množství a kvalitu potravin, na levnou energii, pohonné hmoty, nové materiály a technologie mohou snadno ohrozit již tak křehkou a narušenou rovnováhu globálního i regionálních ekosystémů. Trvale udržitelného rozvoje bez tragických důsledků pro naše životní prostředí nelze dosáhnout bez neustálého využívání nejmodernějších vědeckých poznatků. Chemie v této oblasti hraje, a i do budoucna musí hrát, výraznou pozitivní roli. Nemám tím na mysli jen roli analytické chemie, bez jejíž schopnosti sledovat stopová množství nejrůznějších látek v jednotlivých složkách životního prostředí by zřejmě přišli o věřišnu svých argumentů i ti nejmilitantnější útočníci na chemii jako takovou. Spíše mám na mysli vývoj nových technologií a produktů ohleduplnějších k životnímu prostředí, vývoj nových typů chemických látek schopných plnit požadovanou funkci s menším negativním dopadem na životní prostředí, které by se po skončení své doby životnosti snadno samy rozpadly na produkty neškodné pro životní prostředí, či které by bylo

možno snadno a šetrně zlikvidovat bez velkých finančních, energetických a jiných nároků. Zvýšenou pozornost bude zřejmě nutno věnovat technologím minimalizujícím možnost různých havárií a nehod, neboť nejčastěji citované příklady dokumentující domněle antagonistický vztah chemie a životního prostředí jsou zpravidla výsledkem selhání lidského faktoru či různých ekonomických tlaků a nikoliv nezbytným výsledkem chemie a její role ve společnosti. Staré ekologické záťaze jsou výsledkem určité společenské a ekonomické situace a nikoliv nevyhnutelným produktem chemie, která se naopak výrazně podílí na rozvoji technologií umožňujících tyto záťaze úspěšně likvidovat. Jestliže chemie má rozhodující podíl na produkci nejrůznějších typů obalových materiálů, které v současnosti tvoří významnou složku komunálního odpadu a perspektivní mimořádnou záťaze pro životní prostředí, pak nabízí i postupy a technologie jejich šetrné a k životnímu prostředí ohleduplné likvidace. Zdá se, že stále významnější roli při ochraně a tvorbě životního prostředí budou hrát nejrůznější zákony a předpisy, ale i nepsaná, avšak o to pečlivěji dodržovaná pravidla. Největším nebezpečím pro životní prostředí totiž není chemie ani žádné jiné průmyslové odvětví, doprava, zemědělství ani žádná jiná rozumně a ohleduplně provozovaná lidská činnost, ale bezohlednost, ať už jednotlivce či některých společností, která může mít na naše životní prostředí snadno tak negativní dopad, že se s ním nebudem schopni vyrovnat ani s použitím nejmodernějších poznatků často zatracovaných chemických věd.

Jiří Barek

# TEPELNÉ ZPRACOVÁNÍ ČISTÍRENSKÝCH KALŮ

**MILOSLAV HARTMAN, KAREL SVOBODA,  
VÁCLAV VESELÝ, OTAKAR TRNKA  
a JOSEF CHOUR**

*Ústav chemických procesů, Akademie věd České republiky,  
Rozvojová 135, 165 02 Praha 6  
e-mail: hartman@icpf.cas.cz*

Došlo 5.9.02, přepracováno 20.1.03, přijato 15.4.03.

**Klíčová slova:** čistírenský kal, tepelné zpracování, spalování ve fluidní vrstvě

## Obsah

1. Úvod
2. Charakteristika čistírenských kalů
  - 2.1. Surová odpadní voda
  - 2.2. Vznik a vlastnosti čistírenských kalů
  - 2.3. Zpracování kalů
    - 2.3.1. Zahušťování
    - 2.3.2. Stabilizace
    - 2.3.3. Odvodňování
  - 2.4. Látky přítomné ve stabilizovaných kalech
3. Nakládání se stabilizovanými kaly
4. Hoření stabilizovaných odvodněných kalů
5. Hlavní polutanty a jejich vzájemné souvislosti při hoření kalů
6. Způsoby tepelného zpracování kalů
  - 6.1. Spalování ve fluidní vrstvě
7. Závěr

## 1. Úvod

Vedlejším – obtížným, avšak nevyhnutebným – produktem každé technologie čištění odpadních vod jsou odpadní kaly. Takto jsou označovány více či méně koncentrované vodné suspenze koloidních a zrnitých částic látek, jak organických, tak i minerálních.

Čistírenský kal je produktem biotechnologického procesu čištění a je tedy nutně velmi zředěný. Produkované objemy jsou enormní a náklady, zejména na jejich přepravu a manipulaci s nimi, jsou mimořádné. Obecnou vlastností kalů je také jejich schopnost vázat na svém povrchu (sorbovat) značné podíly nejrůznějších organických i anorganických látek.

Je příznačné, že produkce čistírenských kalů trvale vzrůstá. Zatímco v roce 1985 činila v zemích EU asi 5 milionů t kalové sušiny za rok, v roce 2000 už to bylo přibližně 9 milionů tun, což odpovídá průměrnému ročnímu nárůstu kolem 0,27 milionu t sušiny<sup>1</sup>. Likvidace či nakládání s kaly z čistíren odpadních vod představuje komplexní environmentální pro-

blém mimořádné dimenze, před který je odborná komunita postavena. Zatím se s ním čistírenské závody vypořádávají se značnými obtížemi.

Čistírenské kaly vznikají zpracováním směsi splaškových vod (vod z domácností, objektů společného stravování a ubytování a hygienických zařízení) a průmyslových odpadních vod. Spolu s dešťovou vodou je tato pestrá směs odváděna veřejnou kanalizací do čistírny a označuje se jako surová odpadní voda<sup>2</sup>. Cílem této práce je poskytnout přehled o novějších znalostech a zkušenostech významných pro zneškodňování kalů z městských čistíren odpadních vod především tepelnými procesy.

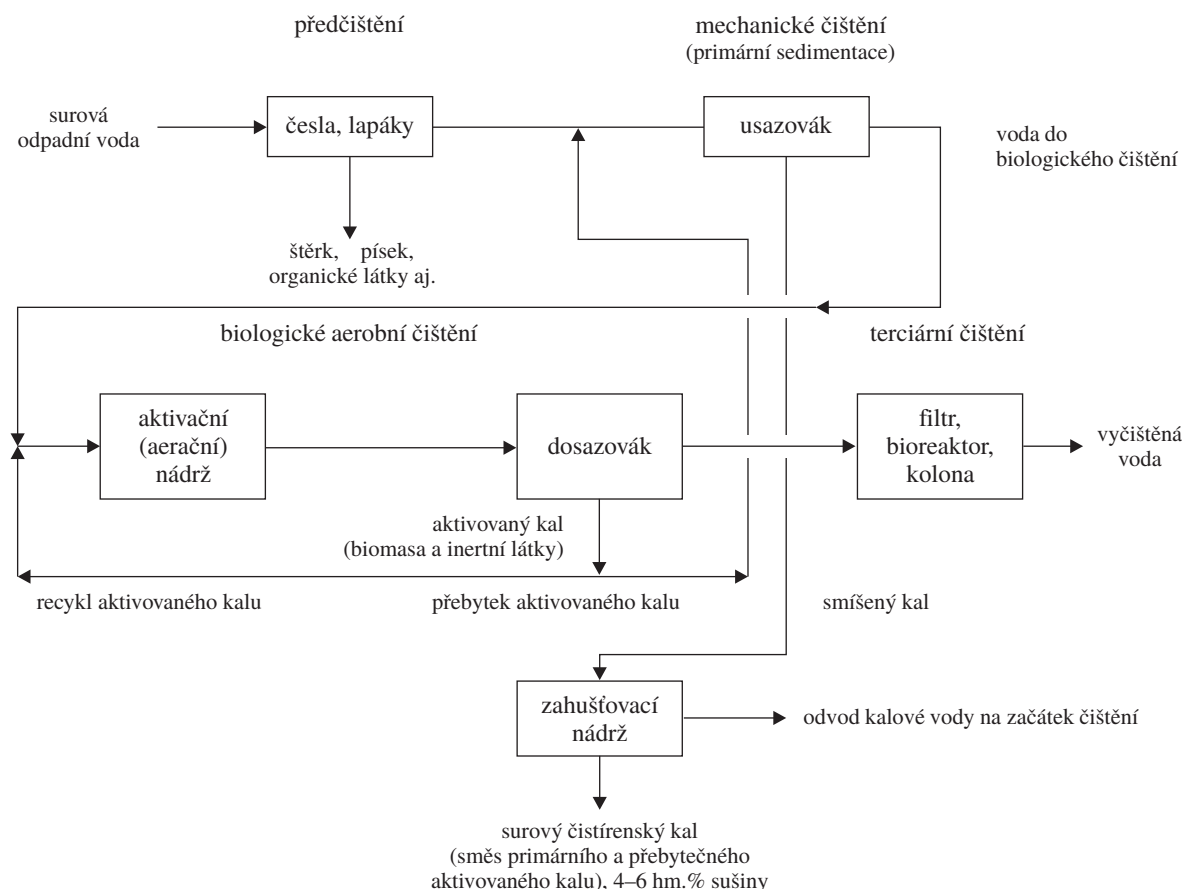
## 2. Charakteristika čistírenských kalů

### 2.1. Surová odpadní voda

Rozhodující podíl znečišťujících látek vnášených do odpadních vod pochází z moči (močovina, aminokyseliny, kyseleina močová, amoniakální dusík, sodík, draslík, chloridy, sírany, fosforečnany aj.) a z fekálií (zbytky střevních bakterií, lipidy, bílkoviny, polysacharidy a jejich rozkladné produkty, fosforečnany vápenaté a hořečnaté aj.). Dalšími zdroji látek ve splaškových vodách jsou kuchyňské zbytky živočišného i rostlinného původu (tuky, bílkoviny, sacharidy aj.) a složky namáčeček, pracích a čisticích prostředků (polyfosforečnany, tenzidy, zeolity, boritany aj.). Znečišťující látky se často třídí na organické a anorganické, na rozpustné a nerazpustné a tyto potom dále na usaditelné a neusaditelné. Z organických látek se v rozpuštěné formě vyskytují především sacharidy, v nerazpuštěné formě hlavně lipidy (např. tuky a vosky) a bílkoviny. Lipidy mají často koloidní charakter a nesedimentují. Biologická rozložitelnost znečišťujících látek široce kolísá. Např. sacharidy, lipidy a mnohé dusíkaté organické látky podléhají biologickému rozkladu poměrně snadno, jiné se rozkládají jen pomalu nebo jsou biologicky zcela rezistentní (látky typu např. polysacharidů a polypeptidů). Pro návrh biologického čištění je nutno znát nejenom celkovou spotřebu kyslíku, ale i její rozdelení do různě rychlých rozkladních procesů.

Směs organických rozpuštěných i nerazpuštěných látek v surové splaškové vodě je možno approximovat sumárním vzorcem  $C_{10}H_{19}NO_3$  (cit.<sup>2</sup>). Této formuli odpovídá složení v hmotnostních procentech: C – 59,7 %, H – 9,5 %, O – 23,8 % a N – 7 %. Pro růst biomasy (tvorbu aktivovaného kalu) je nutný vhodný poměr C:N:P (BSK<sub>5</sub>:N:P = 100:5:1, cit.<sup>2</sup>). Pro splaškové a městské odpadní vody je charakteristický přebytek jak dusíku, tak i fosforu.

Z pochopitelných důvodů nemohou být odpadní vody vypouštěny do vodních toků: biologický rozklad (transformace, degradace) organických látek spotřebovává mnoho kyslíku a produkuje páchnoucí plyny, voda intenzivně tmavne, jsou přítomny patogenní mikroorganismy a toxické těžké kovy a dochází k nežádoucímu růstu vodních rostlin, podporovanému přítomností fosforečnanů a amoniakálního i organického dusíku.



Obr. 1. Schéma mechanicko-biologického čištění městských odpadních vod

## 2.2. Vznik a vlastnosti čistírenských kalů

Jak je známo a zjednodušen znázorněno na obr. 1, biologické čištění odpadních vod má několik stupňů: 1. předčištění, 2. mechanické čištění (primární sedimentace), 3. aerobní biologické čištění, 4. terciární čištění a zpracování surového kalu (kalové hospodářství).

Na aerobní biologické čištění odpadní vody lze nazírat jako na kontinuální kultivaci směsné kultury s recyklem mikroorganismů v nesterilním prostředí komplexního substrátu (odpadní vody). Tento substrát obsahuje vedle řady rozpuštěných nízko- i vysokomolekulárních složek též látky nerozpuštěné ve formě jemných a koloidních disperzí. Zatímco odstraňování nerozpustných složek koagulací a sorpcí na shlucích (vločkách, náruštích) mikroorganismů je relativně velmi rychlé, transformace rozpuštěných látek enzymatickými pochody v buňkách probíhá pomalu.

Část organických látek (substrátu) se zoxiduje na  $\text{CO}_2$  a  $\text{H}_2\text{O}$ . Další podíl se spotřebuje na syntézu zásobních látek (nejčastěji polysacharidy a lipidy) a specifických bílkovin (např. protoplazmy a enzymů). Projevem syntézy je potom růst a množení mikroorganismů. Syntézou nové biomasy se z odpadní vody (substrátu) odstraňuje současně i část dusíku a fosforu.

Aerobní biologické čištění je tedy komplexem vzájemně provázaných fyzikálně chemických a biochemických oxidačních a syntézních pochodů, transformujících biologicky rozložitelné organické látky přítomné v odpadní vodě. Aktivovaný kal je obvykle tvořen jednak biomasou (směsnou kulturovou mikroorganismů) a jednak inertními látkami. Z mikroorganismů se v aktivovaném kalu vyskytuje hlavně řada bakterií (včetně nitrifikačních), v menší míře též houby, plísně a kvasinky. Z vyšších organismů jsou přítomni prvoci aj. Cennou vlastností směsné kultury je lepší flokulace a tím i snadnější sedimentace (separace) aktivovaného kalu, než je tomu u kulturní čistých.

Složení surového kalu, jenž je směsí kalu primárního a přebytečného aktivovaného kalu, závisí nejen na složení (původu) odpadní vody, ale i na aplikované technologii. Na proti tomu buněčná hmota mikroorganismů však příliš variabilní kompozici nevykazuje. Přibližné složení sušiny buněčné hmoty v hmotnostních procentech je následující: 50 % C, 32 % H, 9 % N a 2 % P (cit.<sup>3</sup>). Vedle organických látek obsahuje sušina biomasy mikroorganismů také 6–12 hm. % látek anorganických (popel). Z empirického vzorce  $\text{C}_{118}\text{H}_{170}\text{N}_{17}\text{O}_{51}\text{P}$ , připisovaného biomase aktivovaného kalu<sup>2</sup>, však plyne hmotnostní složení poněkud odlišné: C – 53 %, H – 6,4 %, O – 30,5 %, N – 8,9 % a P – 1,2 %. Ve srovnání s těmito hodnotami se zdá být podíl vodíku uváděný autory<sup>3</sup> příliš vysoký.

Surový čistírenský kal odchází z aerobního biologického čištění ve formě velice zředěné vodné suspenze obsahující přibližně 2–3 hm.% tuhé fáze<sup>4</sup>. Vedle vody obsahuje přebytčný aktivovaný kal i kal primární a je znečištěn surovou odpadní vodou. Velmi významná je také přítomnost patogenních zárodků (bakterie, viry, prvoci, červi aj.). Jakémukoliv nakládání s těmito kaly proto předchází jejich stabilizace (hygienizace), jakož i kroky k redukcii jejich velikého objemu, tzn. operace ke snížení velmi vysokého podílu vody v nich. V širší klasifikaci kalů je kal z městských čistíren (ČOV) hodnocen jako kal hydrofilní s vysokým podílem organických láttek (60–70 hm.%, cit.<sup>3</sup>).

### 2.3. Zpracování kalů

S rychle rostoucími náklady na přepravu i na likvidaci jsou primárními nezbytnými požadavky pro další nakládání s kalem zmenšení jeho objemu (především redukce podílu vody v kalu) a zásadní zlepšení jeho hygienických a senzorických vlastností.

Vazba vody k tuhé fázi čistírenského kalu je různého charakteru<sup>5</sup>. Obvykle se rozlišuje: 1. volná (mezerová či prostorová) voda, jež se dá z části oddělit působením zemské gravitace (sedimentací), 2. vločková voda zachycená v mezeřách kalových částic (vloček) a eliminovatelná mechanickým (strojním) odvodněním, 3. kapilární voda, odstranitelná mechanicky až po chemickém kondicionování, 4. vázaná voda, kterou je možno odstranit až po destrukci buněk.

Separace vody z kalu je vzhledem k jeho disperznímu charakteru nesnadnou operací. Flokulační (koagulační) činidla (např. soli Al, Fe, organické látky, vápno aj.) usnadňují přechod koloidního systému na suspenzi s hrubší disperzí částic, jež je snáze zpracovatelná. Ke zvýšení podílu sušiny nad cca 30–35 hm.% je však již nutné vynaložit tepelnou energii. Avšak i kal velmi dobře vyušený při 105 °C obsahuje ještě kolem 5 hm.% vody. Za sušinu jsou považovány látky zbylé po zahřívání (vysušení) kalu při 105 °C do konstantní hmotnosti. Dominantní část sušiny tvoří suspendorané látky, mající pro zpracování kalu rozhodující význam. V malé míře je zastoupena ještě voda a přítomny jsou též sloučeniny rozpuštěné v původní vodě.

Reologické vlastnosti kalu, důležité pro manipulaci a transport, závisí hlavně na obsahu vody (sušiny) a dále také na charakteru kalových částic. Pokud podíl sušiny v zahušťeném kalu nepřekročí přibližně 10 hm.%, zůstává kal tektutý a lze jej čerpat. Další separaci vody (odvodněním) k obsahu sušiny již kolem 20 hm.% se obvykle docílí charakteru tuhé látky, neboť kal vykazuje rýpatelnou konzistenci.

Schéma zpracování surového čistírenského kalu před jeho konečnou likvidací jsou rozličná podle původu (vlastnosti), technicko-ekonomických možností i následných technologických záměrů. Tři procesní operace se však vyskytují téměř vždy: zahušťování, stabilizace a odvodnění kalů.

#### 2.3.1. Zahušťování

Provádí se např. v jednoduchých sedimentačních nádržích a umožňuje zvýšení podílu sušiny na 4–6 hm.% (cit.<sup>4</sup>). V současnosti se též uplatňují mechanické (strojní) metody využívající odstředivek, sitových rotačních zahušťovačů, příp. flo-tátorů. S přídavkem flokulátoru lze na sitových zahušťovačích

dosáhnout obsahu sušiny vyššího než 6 hm.%. Separovaná kalová voda se vrací zpět do biologického čištění.

#### 2.3.2. Stabilizace

Stabilizací kalů rozumíme anaerobní nebo aerobní zpracování kalů, jež zajišťuje jejich hygienickou a ekologickou nezávadnost (přijatelnost) se zřetelem na zamýšlené využití či likvidaci.

Existují různé metody stabilizace (např. vápněním na pH > 12 nebo ohřevem na 190 °C při tlaku 2,5 MPa aj.), ve větších jednotkách se však kaly zpracovávají nejčastěji methanizací (digescí, vyhníváním) při 30–55 °C. Methanizace je chápána jako soubor procesů, při nichž směsná kultura mikroorganismů v bezkyslíkovém prostředí postupně rozkládá rozložitelné organické látky. Při methanizaci dochází ke snížení podílu organických láttek v kalu z původních 60–70 hm.% na 40–50 hm.% v sušině a celkové množství stabilizovaného kalu je asi o 20 % menší než množství kalu surového. Konečnými produkty jsou biomasa, bioplyn (kalový plyn, hlavně CH<sub>4</sub>, CO<sub>2</sub>, H<sub>2</sub> aj.), nerozložitelný zbytek organické hmoty a inertní látky.

Methanizačním procesem se také snižuje afinita kalových částic k vodě a tím se zlepšuje odvodnitelnost kalu. Neprehlednutelný je však citelný pokles výhřevnosti surového kalu z přibližně 17 MJ na 1 kg sušiny na asi 10–11 MJ na 1 kg sušiny (stabilizovaný kal, cit.<sup>1</sup>). Pro zvýšení hygienizačního účinku i lepší odvodnitelnost bývá anaerobně stabilizovaný kal ještě kondicionován při teplotách dostatečných pro usmrcení patogenů (>55 °C).

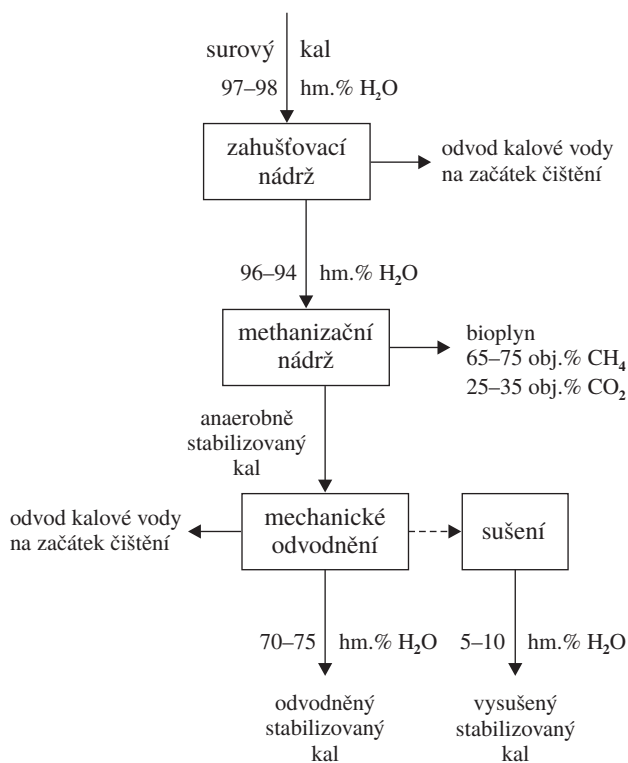
#### 2.3.3. Odvodňování

Odvodňováním kalu označujeme další separaci vody z kalové (čerpacelné) suspenze, a to do stadia, kdy je konzistence kalu tuhá (pastovitá, těstovitá). Podíl sušiny v odvodněném kalu je vyšší než cca 20 hm.% a s takovým kalem lze manipulovat jako se zeminou. Filtrace kalové suspenze je obtížná, a proto musí být do systému přidávána různá aditiva (flokulanty, koagulanty) v množstvích 0,01–5 g na 1 kg sušiny. Vedle sloučenin Fe, Al a vápna se také používají např. jemnozrnný popel nebo uhlí. S použitím dekantačních odstředivek lze kal odvodnit na 20–25 hm.% sušiny. S kalolisý, pracujícími při tlaku 1–2 MPa, se dosahuje koncentrace sušiny v odvodněném kalu 35–45 hm.%. Podobný výkon vykazují vysokotlaké pásové lisy – používání vakuové filtrace je v současnosti méně časté.

Na obr. 2 je znázorněno schéma postupné separace vody z kalů. Je zřejmé, že technické a hlavně energetické nároky jednotlivých kroků rostou s klesajícím obsahem vody. Energeticky mimořádně náročnou operací je sušení kalů, které se však v základní technologii kalů běžně nevyskytuje.

### 2.4. Látky přítomné ve stabilizovaných kalech

Anaerobně stabilizovaný kal je hygienicky nezávadným a nepáchnoucím materiélem. Jeho tmavé zabarvení je způsobeno přítomností FeS a dalších nerozpustných sulfidů těžkých kovů. Představuje velmi složitou směs zrnitých i koloidních láttek, v jejíž sušině jsou organické a anorganické látky zastoupeny zhruba stejným dílem.



Obr. 2. Schéma separace vody z čistírenských kalů s jejich anaerobní stabilizací (methanizací)

Mezi primární složky stabilizovaného kalu patří: voda, zlomky uhynulých mikroorganismů, organické zbytky, jílovité látky, anorganické srazeniny aj. Velmi přibližně se obsah organických látek v kalu stanovuje jako ztráta žíhání sušiny při 550 °C, kdy se anorganické látky ještě nerozkládají (s výjimkou  $\text{HCO}_3^-$ ,  $\text{NH}_4^+$  apod.).

Rámcové analýzy indikují, že dobře vysušený kal obsahuje kolem 50 hm.% těkavé hořlaviny, 10 hm.% netěkavého uhlíku a 40 hm.% popela. Z environmentálního hlediska jsou důležité složky: dusík (organický, amoniakální; 3–5 hm.%), fosfor (organický, anorganický; 3–4 hm.%), síra (hlavně sírany, koncentrace organicky vázané síry jsou velmi nízké; stopy – 1 hm.%) a chlor (chloridy; ~0,1 hm.%). Z kovů, zejména těžkých, jsou významné: K, Na, Zn, Cu, Cr, Pb, Ni, Cd a Hg. Jejich koncentrace se většinou pohybují od 1 do 100 hm. ppm. Výsledky analýz dvou čistírenských kalů jsou uvedeny v tabulkách I a II.

### 3. Nakládání se stabilizovanými kaly

Ať už je se stabilizovaným kalem nakládáno jakýmkoliv způsobem, vždy je nutno usilovat o maximální stupeň jeho odvodnění (zmenšení objemu) při přijatelných kapitálových a provozních nákladech.

Vysoké zastoupení organických látek, značné podíly dusíku, fosforu, draslíku, vápníku a hořčku na první pohled předurčují používat stabilizovaný kal jako zkypřovač (konicionér) půdy a hnojivo v zemědělství. Obsah těžkých kovů

Tabulka I  
Rámcová analýza vlhkého čistírenského kalu (hodnoty jsou uvedeny v hm.%)

Složka	Ho a spol. <sup>6</sup>	Röper a Thomas <sup>7</sup>
Voda	60	70
Těkavá hořlavina	20	13
Netěkavá hořlavina (uhlík)	3,2	2
Popel	16,8	15

Tabulka II  
Elementární analýza vysušeného čistírenského kalu (hodnoty jsou uvedeny v hm.%)

Složka	Ho a spol. <sup>6</sup>	Röper a Thomas <sup>7</sup>
Uhlík	20,4	23
Vodík	3,8	3,5
Dusík	4,4	3,5
Síra	3,2	1,5
Kyslík	26,2	–
Chlor	–	0,12
Měď	–	0,04
Olovo	–	0,03
Chrom	–	0,03
Popel	42	50

v kalu však často převyšuje jejich průměrné koncentrace v zemědělské půdě. Neřízené vnášení kalů do půdy by tak mohlo vést k jejich akumulaci a přenosu do rostlinných, živočišných a následně i do lidských tkání. V ČR je nakládání se stabilizovanými kaly v zemědělství vymezeno nedávno vydanou vyhláškou<sup>8</sup>.

Výhřevnost suchého kalu se blíží výhřevnosti hnědého uhlí a spálením kalu je možno tuto energii účelně využít. Výhodné je také to, že objem vzniklého popela je pouhou desetinou objemu spalovaných strojně odvodněných kalů.

V některých přímořských státech EU bývaly v minulosti kaly vypouštěny do moře. Od tohoto způsobu bylo před několika lety zcela upuštěno. Také podíl kalů vyvážených na skládky rychle klesá. Odhaduje se, že v roce 2005 bude v zemích EU s kaly nakládánou následovně: 45 % bude recyklováno do zemědělství (nepatrný nárůst od roku 2000), 38 % spáleno (trvalý, výrazný nárůst od roku 1992), 17 % skládkováno (trvalý, rychlý pokles od roku 1992, cit.<sup>1</sup>).

Optimální způsob nakládání s čistírenskými kalami lze těžko formulovat. Ve světle pokroku při vývoji vyspělých spalovacích technologií a zpřísňovaných zdravotních standardů v zemědělství máme za to, že podíl spalovaných či jinak vysokoteplotně zpracovávaných kalů bude trvale vzrůstat.

### 4. Hoření stabilizovaných odvodněných kalů

Ve srovnání s uhlím obsahuje odvodněný kal velmi vysoké podíly vody a těkavé hořlaviny, což spalovací proces silně

ovlivňuje. Příznačné jsou také vysoké obsahy dusíku a popelu v kalu.

Hladký chod spalovacího procesu podmiňuje jeho energetická (teplelná) bilance: vložená energie, uvolněná především spálením kalu a přídavného/podpůrného paliva, příp. kombinovaná s energií předeheřatého spalovacího vzduchu, musí pokrývat spotřebu tepla na vypaření vody přítomné v kalu ( $r_{H_2O}$  (298 K) = 2,4402 MJ·kg<sup>-1</sup>, ohřátí vodních par ( $C_{pH_2O}$  (298 K) = 1,9476 kJ·kg<sup>-1</sup>·K<sup>-1</sup>) a spalin (např.  $C_{pN_2}$  (298 K) = 1,0160 kJ·kg<sup>-1</sup>·K<sup>-1</sup>) na teplotu kolem 850–900 °C. Spotřeba tepla na odpaření vody z kalu je veliká. Kromě toho vzniklá vodní pára zvětšuje objem spalin, na který musí být všechny potřebné procesní jednotky dimenzovány. Je proto velice důležité, aby množství vody odstraněné z kalu mechanickými (strojními) prostředky bylo co možno největší.

Z praktického pohledu je významný pojem efektivní výhřevnosti vlhkého kalu,  $h_{ef}$

$$h_{ef} \sim (1 - w) h - w r_{H_2O} \quad (1)$$

kde  $h$  je výhřevnost sušiny (MJ·kg<sup>-1</sup>),  $w$  hmotnostní podíl vody v kalu a  $r_{H_2O}$  je výparné teplo vody (MJ·kg<sup>-1</sup>). Pro dosažení autarkního (soběstačného) průběhu hoření při 850 °C uvádí Hyžík<sup>9</sup>  $h_{ef} = 4,20 \text{ MJ}\cdot\text{kg}^{-1}$ . Z dat prezentovaných v cit.<sup>1</sup> vyplývá hodnota poněkud menší –  $h_{ef} = 3,37 \text{ MJ}\cdot\text{kg}^{-1}$ . Ze vztahu (1) můžeme potom odhadnout maximální obsah vody v kalu, kdy se spalování může dít autonomně, tj. bez přívodu podpůrného paliva:

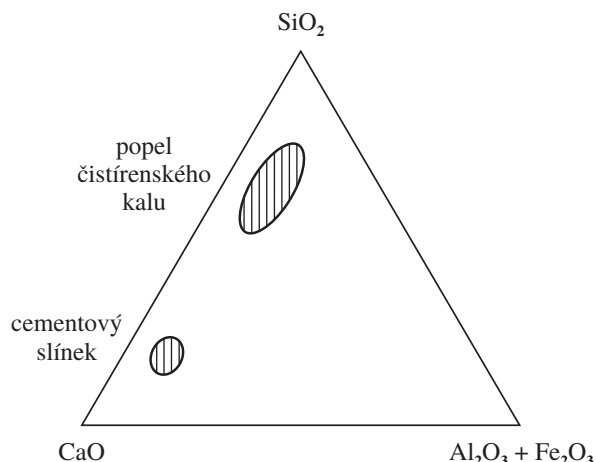
$$w < (h - h_{ef}) / (h + r_{H_2O}) \quad (2)$$

Předpokládáme-li  $h = 11 \text{ MJ}\cdot\text{kg}^{-1}$  a  $h_{ef} = (4,20 + 3,37)/2 = 3,785 \text{ MJ}\cdot\text{kg}^{-1}$ , bude hoření odvodněného stabilizovaného kalu autarkní (teplelně samonosné), když obsah vody bude menší než 53,7 hm %. Je tedy evidentní, že typicky stabilizovaný kal (70–75 hm.% H<sub>2</sub>O) nelze spálit bez přídavného (podpůrného) paliva (plyn, olej, uhlí eventuálně v kombinaci s předeheřatým vzduchem). Ve světle técto elementárních úvah se nabízí varianta spalovat kal nestabilizovaný (nevyhníly), neboť má větší výhřevnost ( $h = 17 \text{ MJ}\cdot\text{kg}^{-1}$ ,  $w_{max} = 68 \text{ hm. \% H}_2\text{O}$ ). Technické požadavky na manipulaci s hygienicky problémovým materiálem jsou však podstatně náročnější.

Uvolňování těkavých hořavin (pyrolyza) se skládá z velkého počtu reakcí, kterými se organické látky v kalu rozkládají při vyšších teplotách na plyny (CO, C<sub>x</sub>H<sub>y</sub>, H<sub>2</sub> a CO<sub>2</sub>), kapalinu (dehet) a tuhý zbytek (uhlík, koks). Obvykle více než 80 % organického uhlíku v kalu přechází při jeho pyrolyze do plynné fáze. Vzhledem k vysokému podílu těkavých hořavin v kalu je jejich hoření velmi důležitým – nejspíše dominantním – procesem při spalování kalu. Pro hoření těkavých hořavin je charakteristická předeveším velmi vysoká rychlosť spotřeby kyslíku. Proto musí být plynná směs s potřebným spalovacím vzduchem velmi rychle a účinně promíchávána<sup>10</sup>.

Naše zkušenosti naznačují, že koks vzniklý z kalu bude pravděpodobně póravý a velmi reaktivní. I přes vysoký obsah popelovin by jeho spalování nemělo být problémem. Jistá část organického uhlíku v kalech se při spalování nutně oxiduje na oxidy dusíku. Ukazuje se, že konverze dusíku na NO<sub>x</sub> obecně klesá s jeho rostoucí koncentrací v palivu<sup>11</sup>.

Zajímavé je minerální složení popela z čistírenských kalů, zobrazené v trojúhelníkovém diagramu CaO–SiO<sub>2</sub>–R<sub>2</sub>O<sub>3</sub>(Al<sub>2</sub>O<sub>3</sub>+Fe<sub>2</sub>O<sub>3</sub>) vedle složení cementového slínku<sup>12</sup> (obr. 3). Zatímco



Obr. 3. Srovnání složení popele z čistírenských kalů a cementového slínku<sup>12</sup>

podíl R<sub>2</sub>O<sub>3</sub> je v obou materiálech téměř stejný, obsah SiO<sub>2</sub> v popelu z kalu je asi 2,5× větší než ve slínku, a to na úkor CaO.

## 5. Hlavní polutanty a jejich vzájemné souvislosti při hoření kalů

Emise oxidu uhelnatého a organických látek ze spalovacího systému rezultují z neúplné oxidace paliva. Kvalita i kvantity uhlovodíků (C<sub>x</sub>H<sub>y</sub>) přítomných ve spalinách závisí na typu paliva a na pochodu řídící oxidace. Zvláštní pozornost vyžadují také polycyklické aromatické látky (např. početné skupiny toxicitých dibenzodioxinů a dibenzofuranů). Emise CO obecně korelují s přítomností organických nespálených zbytků a pozoruhodné je, že koncentrace CO ve spalinách narůstají dříve než koncentrace těchto organických reziduí<sup>10</sup>.

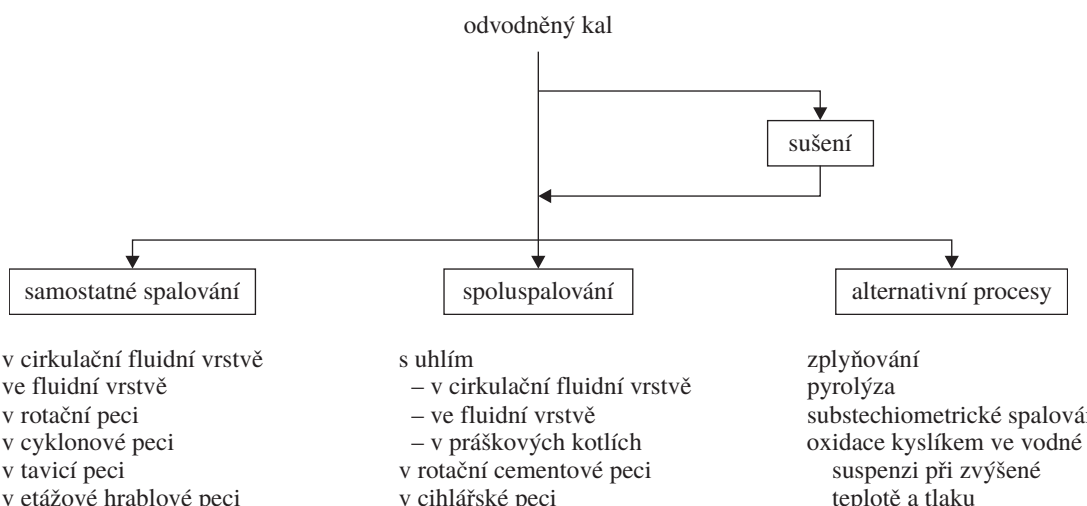
Při teplotách nižších než 950 °C prakticky nedochází k oxidaci atmosférického dusíku. Určitý podíl organického dusíku vázaného v palivu (kalu) je však konvertován na NO, N<sub>2</sub>O a v menší míře i na NO<sub>2</sub> (cit.<sup>11</sup>). Prakticky veškerá chemicky vázaná síra se oxiduje na oxid sířičitý a všechn chlor přechází na chlorovodík.

Jak již samotné fyzikálně-chemické principy naznačují a praktické zkušenosti potvrzuji<sup>10,11</sup>, emise CO, organických reziduí a NO<sub>x</sub> jsou ve vzájemném vztahu. Např. zvýšením poměru vzduch/palivo se zmenší emise CO a organických reziduí, avšak zároveň se zvýší koncentrace NO<sub>x</sub> ve spalinách. Tu lze snížit výcestupňovým přívodem vzduchu, což však vede na druhé straně ke zvýšení podílu CO ve spalných plynech.

Významné podily fosforu a těkavých kovů, jako jsou Pb, Cd, As a Hg, mohou během hoření přecházet do plynné fáze. Hlavní podíl těkavých kovů (vedle dříve uvedených též Zn, Cu, Cr, Ni aj.) však zůstává především v jemných frakčních popelech.

## 6. Způsoby tepelného zpracování kalů

Postupů k tepelnému zpracování kalů je celá řada. Liší se nejen svými fyzikálně-chemickými principy, ale i stupněm technologické zralosti. Považujeme za účelné je rozdělit do tří



Obr. 4. Různé způsoby tepelného zpracování čistírenských kalů

hlavních skupin: samostatné spalování (v samostatné jednotce obvykle s podpůrným palivem), spoluspalování (nejčastěji v uhelných kotlích, ve spalovnách tuhého městského odpadu aj.) a alternativní procesy, které se však většinou nacházejí teprve ve stadiu vývoje. Příklady různých tepelných procesů jsou uvedeny na obr. 4.

Při aplikaci kteréhokoliv postupu je nutno mít na zřeteli několik základních faktorů:

1. Mechanicky odvodněný kal se 70–80 hm.% vlhkosti nemá dostačující výhodnosti pro autarkní spalování.
2. Vysoký podíl těkavé hořlaviny v kalu klade zvýšené požadavky na spalování v plynné fázi.
3. Vysoký obsah popelu, do kterého přechází většina toxicitě těžkých kovů.
4. Spaliny vypouštěné do ovzduší musí být důkladně vyčištěny (např. cit.<sup>13</sup>), aby splňovaly přísné požadavky kladené na spalné plyny ze spalovny odpadů.

Nejjednodušší řešení se zdá být spoluspalování kalu v uhelných elektrárnách (teplárnách). Aby nedošlo k nežádoucímu ovlivnění spalovacího procesu v uhelných kotlích, musí objem spalovaného kalu představovat jen malou část paliva. Podobným omezením je vázáno i spoluspalování kalu v cementářské rotační peci.

#### 6.1. Spalování ve fluidní vrstvě

Fluidní technika nachází své uplatnění v průmyslových technologiích po řadu desetiletí. Např. již v roce 1922 patentoval Winkler své fluidní zplyňování uhlí a v roce 1942 byl vyvinut efektivní postup katalytického krakování ropných frakcí<sup>14</sup>. Fluidací rozumíme operaci, při které jsou tuhé částice udržovány ve vznosu (suspenzi) dynamickými účinky třecích sil vyvolaných vertikálně prouducím plynem (příp. kapalinou; např. cit.<sup>15</sup>). Fluidní technika zaujímá také silné postavení v oblasti spalování, neboť umožňuje spalovat i nekvalitní paliva, odpadní látky, a tedy také i čistírenský kal.

Úspěch fluidních technologií plyne ze základní charakteristiky chování fluidní vrstvy:

1. Intenzivní promíchávání, velmi účinný mezifázový kon-

takt a rychlé přestupy tepla a hmoty zajišťují účinné spalování.

2. Prakticky rovnoměrná teplotní pole ve vrstvě usnadňuje regulaci teploty a umožňuje efektivní spalování i při relativně nižších teplotách. Tako je možno např. omezit nebo potlačit vypařování těkavých kovů a spékání/tavení popela.
3. Prostor nad fluidní vrstvou funguje jako dopalovací komora, zajišťující úplnou destrukci/spálení těkavých hořavin.
4. Horlký/žhavý inertní materiál ve vrstvě působí jako tepelný setrvačník, tlumící krátkodobá kolísání teploty vyvolaná změnami v dávkování, nebo ve složení kalu.
5. Fluidní spalovací reaktor/kotel nevyžaduje žádné pohyblivé elementy v zóně vysokých teplot.

#### 7. Závěr

Podle všech indicií současná vysoká produkce čistírenských kalů poroste i nadále. Je tedy nutné hledat způsoby, jak s jejich enormními objemy vhodně nakládat. Možností skládkování jsou značně omezené a jejich recyklace do půdy není bez problémů. Slibný potenciál spalování a jiných tepelných procesů je demonstrován rostoucím zájmem o tyto způsoby likvidace kalů.

Čistírenský kal je možno spalovat samostatně, nebo spolu s uhlím či s tuhým městským odpadem ve fluidních kotlích, nebo v rotačních pecích. Na rozdíl od spalování, alternativní tepelné procesy, jako např. zplyňování, pyrolyza, nebo transformace kalu na kapalné uhlívodíky aj., dosud nedosáhly potřebné technologické zralosti.

Se současnými způsoby čištění spalných plynů splňuje spalování čistírenských kalů velmi přísné emisní limity. V případě nutnosti lze těžké kovy v popelu z čistírenského kalu bez potíží immobilizovat/stabilizovat.

S e z n a m s y m b o l ě

BSK<sub>5</sub>

pětidenní biochemická spotřeba kyslíku, mg.l<sup>-1</sup>

$C_{pH_2O}$ (298 K)	měrné teplo vodních par při teplotě 298 K a konstantním tlaku (= 1,9476), $\text{kJ} \cdot \text{kg}^{-1} \cdot \text{K}^{-1}$
$C_{pN_2}$ (298 K)	měrné teplo dusíku při teplotě 298 K a konstantním tlaku (= 1,0160), $\text{kJ} \cdot \text{kg}^{-1} \cdot \text{K}^{-1}$
$h$	výhřevnost vysušeného kalu (sušiny), $\text{MJ} \cdot \text{kg}^{-1}$
$h_{ef}$	efektivní výhřevnost vlhkého kalu podle vztahu ( $I$ ), $\text{MJ} \cdot \text{kg}^{-1}$
$r_{H_2O}$ (298 K)	výparné teplo vody při teplotě 298 K (2,4402 $\text{MJ} \cdot \text{kg}^{-1}$ resp. 43,960 $\text{kJ} \cdot \text{mol}^{-1}$ )
$w$	hmotnostní podíl vody v kalu ( $w = w_1 / (1 + w_1)$ ), kg $H_2O$ na 1 kg vlhkého kalu
$w_1$	hmotnostní poměr vody k sušině v kalu ( $w_1 = w / (1 - w)$ ), kg $H_2O$ na 1 kg sušiny

Tato práce byla podpořena Grantovou agenturou Akademie věd České republiky (grant č. A 4072201) a Grantovou agenturou České republiky (grant č. 203/02/0002). Děkujeme anonymnímu recenzentovi za připomínky k této práci.

## LITERATURA

1. Werther J., Ogada T.: *Prog. Energy Combust. Sci.* 25, 55 (1999).
2. Pitter P.: *Hydrochemie*. VŠCHT, Praha 1999.
3. Malý J., Hlavínek P.: *Čištění průmyslových odpadních vod*. Noel, Brno 1996.
4. Sýkora K.: *Sborník semináře Zpracování a využití kalů: Zásady konstrukce a provozu zařízení kalového hospodářství*, Praha 24.3.1999. SYS-ACE, Praha 1999.
5. McGhee T. J.: *Water Supply and Sewerage*. McGraw-Hill, New York 1991.
6. Ho T. C., Ku R., Hopper J. R.: *AIChE Symp. Ser.* 84 (262), 126 (1988).
7. Röper B., Thomas G., v knize: *Circulating Bed Techno-*
- logy VI (Werther J., ed.), str. 705. Dechema, Frankfurt 1999.
8. Vyhláška MŽP č. 382/2001 Sb. o podmínkách použití upravených kalů na zemědělské půdě.
9. Hyžík J.: *Odpady* 2002 (6), 21.
10. Veselý V., Hartman M., Trnka O.: *Fuel* 75, 1271 (1996).
11. Svoboda K., Hartman M.: *Fuel* 70, 865 (1991).
12. Sponar J., Havlica J.: *Chem. Listy* 95, 424 (2001).
13. Hyžík J.: *Chem. Listy* 95, 411 (2001).
14. Yates J. G.: *Fundamentals of Fluidized-Bed Chemical Processes*. Butterworths, London 1983.
15. Hartman M., Svoboda K., Trnka O., Beran Z.: *Chem. Listy* 93, 788 (1999).

**M. Hartman, K. Svoboda, V. Veselý, O. Trnka, and J. Chour** (Institute of Chemical Process Fundamentals, Academy of Sciences of the Czech Republic, Prague): **Sewage Sludge Thermal Processing**

Various points related to the sewage sludge and its disposal are discussed, such as its formation, characteristics, and processing. Four sludge disposal procedures that are currently employed are discussed: landfilling, recycling in agriculture, incineration, and dumping in the sea. The current trend indicates an increasing interest in sludge incineration. Various technologies for the thermal processing of sewage sludge are lumped in three groups: co-combustion, mono-combustion, and alternative processes. Promising potential for an efficient sludge incineration (e.g., mono-combustion or co-combustion with coal) is offered by fluidized-bed combustors. In contrast to coal, the sewage sludge contains high amounts of water and volatile matter, a high fraction of ash, and appreciable amounts of nitrogen and phosphorus. Of concern in the sludge incineration are also heavy metals, acid gases (including  $\text{NO}_x$ ), and dibenzo-dioxins and dibenzofurans.

# SPRÁVNÁ LABORATORNÍ PRAXE OD NEDÁVNÉ MINULOSTI PO SOUČASNOST

PETR FINGER a IVAN KORUNA

*ASLAB Národní inspekční orgán správné laboratorní praxe, Výzkumný ústav vodohospodářský T. G. Masaryka, Podbabská 30, 160 62 Praha 6  
e-mail: finger@vuv.cz*

Došlo 3.8.03, přepracováno 3.8.03, přijato 16.8.03.

---

Klíčová slova: chemické látky, nebezpečné vlastnosti, správná laboratorní praxe, uznávání výsledků, OECD, EU

---

## Obsah

1. Zavádění správné laboratorní praxe v České republice
2. Cesta k úspěchu
  - 2.1. Platná legislativa v oblasti chemických láték a chemických přípravků
  - 2.2. Národní program SLP
3. Období 1999–2003
4. Závěr

## 1. Zavádění správné laboratorní praxe v České republice

Vstup do OECD znamenal pro Českou republiku nutnost zavedení systému správné laboratorní praxe (dále jen SLP), která z členství vyplývá. V důsledku vstupu ČR do OECD došlo k legislativním změnám a ke vzniku řady nových legislativních předpisů. Proces tvorby zákonů je složitý a zdlouhavý, a tak nový zákon o chemických látkách nabyl účinnosti až 1.1.1999.

V návaznosti na zákon byla vydána i první vyhláška o zásadách SLP, která však neobsahovala základní požadavky zdrojových dokumentů. Její návrh byl během mezinárodního auditu (listopad 1998) podrobен tvrdé, leč oprávněné kritice. Výsledkem auditu bylo konstatování pracovní skupiny SLP OECD, že český systém SLP tak, jak byl představen, nebyl funkční a neodpovídá požadavkům OECD a směrnic č. 2 a 3. Samotný výsledek auditu je možno prezentovat jako důsledek překotné a neuvážené činnosti. Nejenže v době auditu neexistovala platná legislativa (zákon<sup>1</sup> i vyhláška<sup>2</sup> existovaly pouze v návrhu), ale nebyl ani oficiálně ustaven inspekční orgán a nebyly splněny další požadavky potřebné k vyslovení důvěry v zavedeném systém.

## 2. Cesta k úspěchu

Na jaře 1999 začala spolupráce mezi inspekční sekcí SÚKL a Národním inspekčním orgánem SLP. Oficiálně byl však

Národní inspekční orgán ustanoven Ministerstvem životního prostředí při ASLAB – Středisku pro posuzování způsobilosti laboratorií ve Výzkumném ústavu vodohospodářském T. G. Masaryka (VÚV T.G.M.) až v létě roku 2000.

Již před oficiálním ustanovením Národního inspekčního orgánu byla zahájena práce na tvorbě společného Národního programu SLP<sup>3</sup>, který je z hlediska OECD jedním z klíčových dokumentů. Dalším, neméně důležitým krokem, byla příprava nové vyhlášky<sup>4</sup> o SLP a překlad dalších základních dokumentů OECD, týkajících se SLP. Tyto dokumenty, z hlediska legislativy méně důležité, byly publikovány souběžně ve Věstníku Ministerstva životního prostředí a ve Věstníku SÚKL.

### 2.1. Platná legislativa v oblasti chemických látek a chemických přípravků

V některých členských státech OECD je inspekční (monitorovací) orgán jeden (např. Velká Británie, Rakousko), v jiných je inspekčních orgánů více. Jejich působnost může být omezena regionálně (např. Německo – podle spolkových zemí), podle oblastí, tj. pro léčiva, chemické látky a chemické přípravky, pesticidy atd. (např. Dánsko, Švédsko) nebo podle příslušnosti k odpovědnému ministerstvu (např. Japonsko – 7 monitorovacích orgánů a 7 programů!).

Česká republika se v tomto případě příliš neodlišuje. Existují zde dva zákony<sup>1,5</sup>, které stanovují povinnost zavedení zásad SLP, dvě sady prováděcích předpisů<sup>4,6</sup> a dva inspekční orgány. Sjednocujícím prvkem jsou totožná znění příloh vyhlášek o SLP, jeden Národní program SLP a společně překlady směrnic SLP OECD č. 2 a 3 (cit.<sup>7</sup>). Metodický pokyn k provádění zákona č. 157/1998 Sb. popisuje proces, podání žádosti, udělení osvědčení a práva a povinnosti jak testovacího zařízení, tak inspektoru Národního inspekčního orgánu správné laboratorní praxe<sup>8</sup>.

Pokud bylo testovací zařízení v době kontroly v souladu se zásadami SLP, vydává Ministerstvo životního prostředí v oblasti chemických látok a chemických přípravků osvědčení na základě doporučení Národního inspekčního orgánu, obsaženého ve zprávě o výsledku kontroly. Některé z výše uvedených dokumentů jsou přístupné na internetových stránkách ASLAB (cit.<sup>9</sup>).

Po řadě novel zákona č. 157/1998 Sb. je v současné době připravován nový zákon, jenž by měl nabýt účinnosti se vstupem České republiky do Evropské Unie. S tím souvisí i příprava nových prováděcích předpisů. Na těchto aktivitách Národní inspekční orgán participuje; ne vždy však jsou jeho připomínky akceptovány a ne vždy je o připravovaných změnách informován včas. Důsledkem je přetrvávání nedostatků v platné legislativě. To je i případ připravovaného znění zákona, který zatím obsahuje některé požadavky nad rámec předpisů OECD, jiným naopak nevyhovuje nebo komplikuje komunikaci mezi Národním inspekčním orgánem a testovacím zařízením.

Některé z těchto nedostatků by měl vyřešit chystaný prováděcí předpis k novému zákonu.

## 2.2. Národní program SLP

Podmínky pro vzájemné uznávání výsledků neklinických studií mezi členskými státy jsou zavedení systému správné laboratorní praxe, harmonizace postupů monitorování shody a tím porovnatelnost jakosti a důvěryhodnosti získaných údajů.

Na základě doporučených struktur, používaných mechanismů a postupů vypracovaly Kontrolní orgán SLP SÚKL a Národní inspekční orgán SLP Ministerstva životního prostředí Národní program monitorování shody se správnou laboratorní praxí.

Program vymezuje rámec a rozsah monitorování shody se zásadami SLP, popisuje organizaci národních monitorovacích orgánů a postupy udělení osvědčení a zařazení testovacího zařízení do Národního programu SLP. Program byl vypracován podle doporučení obsaženého ve Směrnici OECD SLP č. 2, vyhovuje požadavkům OECD a je mezinárodně přijatelný.

## 3. Období 1999–2003

V tomto čtyřletém období, jak již bylo v úvodu řečeno, došlo jednak k úpravě legislativy a tvorbě nové, jednak pokračovalo intenzivní školení inspektorů. Výcvik a školení inspektora je, kromě vlastní inspekční činnosti, z hlediska OECD jedna z nejdůležitějších aktivit.

Vzhledem k členství České republiky v OECD a očekávanému vstupu do EU vyvstala, již po neúspěšném auditu v roce 1998, nutnost rehabilitace systému SLP v ČR. Ve spolupráci s pracovní skupinou SLP OECD bylo dohodnuto, že monitorovací orgány České republiky společně se správními orgány, zejména v oblasti chemických látek a chemických přípravků, upraví legislativu vztahující se ke správné laboratorní praxi ve smyslu požadavků OECD, které se používají i v EU. Dále pak podle jednání vypracují oba monitorovací orgány Národní program SLP podle požadavků směrnice č. 2 OECD.

V létě roku 2000 byl dopisem ministra životního prostředí oficiálně ustanoven Inspekční orgán SLP a byly jmenováni ředitel Inspekčního orgánu a inspektor. To byl první krok ke zdárnému uznání systému SLP v rámci OECD.

V roce 2001 vyvrcholila činnost spojená s úpravami legislativy a tvorbou nové. Vyšla nová vyhláška o správné laboratorní praxi<sup>4</sup>, která již splňuje všechny důležité požadavky OECD a dále, jako metodické pokyny Ministerstva životního prostředí, byly publikovány překlady směrnic SLP OECD č. 2 – požadavky na monitorovací orgány a národní programy a směrnice č. 3 – pokyny pro provádění inspekcí a auditů studií<sup>7</sup>. Koncem roku byl publikován z hlediska OECD patrně nejdůležitější dokument, Národní program SLP, společný pro oblast chemických látek a chemických přípravků i pro oblast humánních a veterinárních léčiv.

Podle dohody s pracovní skupinou SLP OECD byla shrnuta veškerá dokumentace, tj. legislativa, metodické pokyny, Národní program a popis nápravných opatření uskutečněných od roku 1998. Tento soubor dokumentů a jeho anglické překlady byly předány k posouzení sekretariátu OECD a inspekční skupině, která vykonala audit v roce 1998. Úkolem inspekční skupiny bylo znova posoudit předloženou dokumentaci a uskutečněná nápravná opatření a rozhodnout, zda odpovídají požadavkům, a zda je možno český systém hodnotit jako vyhovující. Toto rozhodnutí mělo být vyřešeno na zasedání pracovní skupiny v březnu 2002 ve Washingtonu.

Jelikož vedoucí inspekční skupiny nedokončil zprávu včas, bylo jednání odloženo na následující zasedání téhož roku v září v Sydney. V dostatečném předstihu před zasedáním byl Národnímu inspekčnímu orgánu poskytnut návrh zprávy k vyjádření. Vzhledem k tomu, že zpráva popisovala reálnou situaci a tón zprávy byl optimistický, komentář se omezil pouze na konstatování souhlasu.

V průběhu zasedání bylo několik hodin věnováno právě diskusi o zprávě a vynesení rozhodnutí. Po bohaté diskusii, kdy zástupce České republiky musel vysvětlovat množství dotazů vnesených např. i z nepochopení a reagovat na četné připomínky, rozhodla pracovní skupina takto: Předložená dokumentace plně odpovídá požadavkům OECD i Evropské komise a systém zavedený v České republice lze považovat za kompatibilní se systémy zavedenými v ostatních členských státech OECD. Součástí auditu musí ovšem být i posouzení vlastní činnosti inspektorů při kontrole testovacího zařízení. Tato podmínka v roce 1998 bezezbytku splněna nebyla. Předložení dokumentace nemůže nahradit vlastní posouzení průběhu kontroly testovacího zařízení na místě. Z toho důvodu byl podán a po diskusi i odsouhlasen návrh na dodatečný audit pouze k posouzení činnosti inspektorů při kontrole testovacího zařízení.

Z řady důvodů byl pracovní skupinou přijat návrh zástupce Holandska, aby audit vykonal jeden inspektor. Pro audit byl jmenován inspektor z Holandska, který již byl členem komise v roce 1998 a byl nejlépe obeznámen se situací. Na přání všech zúčastněných, zejména pak zástupce Evropské komise bylo dohodnuto, aby se audit uskutečnil ještě do konce roku.

Audit se uskutečnil ve dnech 2.–5. prosince 2002. Oficiální zahájení se konalo na Ministerstvu životního prostředí úvodním zasedáním u ředitele odboru environmentálních rizik. Vlastní audit kontroly testovacího zařízení byl veden standardním postupem podle směrnice SLP OECD. Oficiální ukončení auditu proběhlo opět na Ministerstvu životního prostředí. Během závěrečného zasedání stručně zhodnotil delegovaný zástupce OECD průběh kontroly a konstatoval, že byl ohromen důkladným a efektivním způsobem, jakým inspekční skupina provedla kontrolu, stejně jako audit studie. Průběh kontroly, činnost inspektorů i jejich zjištění a závěry zcela odpovídaly standardu členských států OECD.

Bezprostředně po ukončení auditu byla vypracována závěrečná zpráva. Zpráva obsahovala vedle popisu průběhu kontroly a závěrů, odpovídajících prohlášení prezentovanému při závěrečném zasedání na MŽP, též vyjádření Národního inspekčního orgánu SLP k některým komentářům. Zpráva byla odeslána sekretariátu OECD a Evropské komisi ještě před koncem roku 2002.

Souhlas se zprávou v rámci OECD by měl být vysloven na nejbližším zasedání pracovní skupiny v září letošního roku a uznání systému SLP v České republice by, vzhledem k obsahu zprávy, mělo být pouze formální záležitostí. Přístup Evropské komise byl v tomto případě daleko rychlejší, neboť bylo konstatováno, že Evropská komise přijímá závěry zprávy bez výhrad a český systém považuje od data vydání zprávy za plně kompatibilní se systémy evropskými.

## 4. Závěr

Počátky zavádění systému SLP v České republice byly provázeny mnoha omyly, spěchem a také, bohužel, ne vždy

dokonalým pochopením problému. Po úvodních nezdarech, které mnohdy připomínaly spíše ostudu, došlo ve velmi krátké době k úpravě legislativy, vytvoření potřebné dokumentace a k oficiálnímu ustanovení inspekčního orgánu pro oblast chemických látek a chemických přípravků. Činnost Národního inspekčního orgánu je na vysoké úrovni a od jeho vzniku plně odpovídá jak požadavkům OECD, tak Evropské komise.

## LITERATURA

1. Zákon č. 157/1998 Sb., o chemických látkách a chemických přípravcích a o změně některých dalších zákonů, ve znění pozdějších předpisů.
2. Vyhláška č. 305/1998 Sb. Ministerstva životního prostředí, kterou se stanoví zásady správné laboratorní praxe, postup při ověřování jejich dodržování, postup při vydávání osvědčení a postup kontroly dodržování zásad správné laboratorní praxe (zásady správné laboratorní praxe).
3. Národní program SLP, Věstník Ministerstva životního prostředí, 12/01.
4. Vyhláška Ministerstva životního prostředí č. 283/2001 Sb., o zásadách správné laboratorní praxe, postupu při ověřování jejich dodržování, postupu při vydávání a odnímání osvědčení a postupu kontroly dodržování zásad správné laboratorní praxe při zkoušení vlastností chemických látek a chemických přípravků (zásady správné laboratorní praxe). Překlad dokumentu „Rozhodnutí rady OECD [C(97)186 (final)]“ (tj. „Zásady správné laboratorní praxe OECD“) tvoří přílohu č. 1 vyhlášky.
5. Zákon č. 79/1997 Sb. o léčivech a o změnách a doplnění některých souvisejících zákonů, ve znění pozdějších předpisů.
6. Vyhláška Ministerstva zdravotnictví a Ministerstva zemědělství č. 504/2000 Sb., kterou se stanoví správná laboratorní praxe v oblasti léčiv.
7. Prvky postupu monitorování Správné laboratorní praxe; Monitorování shody se správnou laboratorní praxí, provádění kontrol testovacích zařízení a auditů studií, Věstník Ministerstva životního prostředí, 12/01.
8. Metodický pokyn k provádění zákona č. 157/1998 Sb., ve znění zákona č. 352/1999 Sb. a vyhlášky č. 283/2001 Sb. k postupu získání osvědčení o dodržování zásad správné laboratorní praxe a zařazení testovacího zařízení do národního programu SLP, Věstník Ministerstva životního prostředí 03/02.
9. <http://aslab.vuv.cz>, 1. červenec 2003.

**P. Finger and I. Koruna (ASLAB, National Good Laboratory Practice Monitoring Body, T. G. Masaryk Water Research Institute, Prague): Good Laboratory Practice since the Recent Past until the Present Time**

A short history is presented of introducing good laboratory practice (GLP) in the Czech Republic since 1998. The results are described of intensive cooperation between the inspection section of the State Institute for Drug Control and the Czech GLP Monitoring Authority. Valid legislative documents related to GLP are Act No. 157/1998 Coll., Decree No. 238/2001 Coll., the National GLP Compliance Programme, and methodological guidelines published in parallel in Bulletin of the Ministry of Environment and in Bulletin of the State Institute for Drug Control. Preparation of a new act and decree, conclusions of the 16th meeting of the working group on GLP of OECD, and conclusions of the following visit of OECD inspectors to the Czech Republic leading to the full international recognition of the Czech GLP system are described in detail.

# MOŽNOSTI AEROBNÍHO MIKROBIÁLNÍHO ODBOURÁVÁNÍ TRICHLORETHENU

MAGDA SERGEJEVOVÁ<sup>a</sup> a JAN RŮŽIČKA<sup>b</sup>

<sup>a</sup>Ústav fyzikální biologie, Jihočeská univerzita v Českých Budějovicích, Zámek, 373 33 Nové Hrady, <sup>b</sup>Ústav technologie životního prostředí a chemie, Univerzita Tomáše Bati ve Zlíně, nám. TGM 275, 762 72 Zlín  
e-mail: sergejevova@alga.cz, ruzickaj@ft.utb.cz

Došlo 7.11.02, přepracováno 18.6.03, přijato 10.7.03.

**Klíčová slova:** trichlorethen, biotransformace, bakterie, methan, fenol, fenol-2-monoxygenasa, degradace, konečné produkty, podzemní vody

## Obsah

1. Úvod
2. Aerobní degradace trichlorethenu
3. Produkty biotransformace trichlorethenu
4. Aplikace bakteriálních kultur pro dekontaminaci podzemních vod

## 1. Úvod

Trichlorethen (TCE) patří spolu s tetrachlorethenem (PCE) k nejpoužívanějším chlorovaným uhlovodíkům. Používá se jako průmyslové rozpouštědlo, čistící a odmašťovací prostředek a chemická surovina. Je považován za látku jednoznačně cizorodou, i když v přírodě je v nepatrných koncentracích vytvářen některými mořskými řasami<sup>1,2</sup>. Primárním recipientem uvolňovaného TCE je atmosféra. Hlavními emisními zdroji jsou výpary z odmašťovacích operací, tvořící přibližně 90 % emisí. Ostatní zdroje zahrnují ztráty rozpouštědla z textilní výroby, dále přímo z jeho výroby, a úniky při nedbalém používání<sup>3</sup>. Poslední z nich se nejvíce podílí na znečištění řady lokalit půd, podzemních i některých pitných vod koncentracemi od několika desítek  $\mu\text{g.l}^{-1}$  až po stovky  $\text{mg.l}^{-1}$ .

TCE je značně inertní vůči chemickým a zvláště biologickým transformacím. Ve vyspělých státech celého světa i v ČR se kontaminace touto látkou vyskytuje především v průmyslových zónách a vojenských objektech. Význačná je situace v USA, kde bylo v minulých letech zaznamenáno v různých oblastech znečištění 9–34 % zdrojů pitné vody trichlorethenem<sup>3</sup>.

K expozici člověka dochází dýcháním kontaminovaného vzduchu nebo požíváním pitné vody s obsahem TCE. Ten v organismu postihuje zejména centrální nervovou soustavu, dráždí oční i nosní sliznice a v extrémních případech může způsobit i smrt<sup>3</sup>. Výzkumy na zvířatech prokázaly poškození ledvin, jater, krve a výskyt tumorů i leukémie. Vztah mezi přítomností TCE v pitné vodě a zvýšeným výskytom

malformací u narozených dětí byl nalezen v několika epidemiologických studiích. Výzkumné práce naznačují, že vlastním činitelem některých poškození mohou být metabolismy rozkladu TCE v organismu, zejména kyselina trichlorocetová<sup>4</sup>.

Snahy o dekontaminaci životního prostředí, zvláště půd a podzemních vod, však nejsou vyvolány jen vlastní toxicitou a persistencí TCE. Jak bylo zjištěno před několika lety, za anerobních podmínek, které se mohou vyskytovat v podzemních vodách a spodních půdních vrstvách, dochází k mikrobiální dehalogenaci TCE na nízechlorované alkeny a poté na karcinogenní vinylchlorid<sup>5</sup>. Předejdit těmto nežádoucím procesům je tedy významným úkolem remediačních technologií.

TCE a další zástupci chlorovaných ethenů jsou v současné době ze životního prostředí odstraňovány především fyzikálními postupy, kdy jsou z podzemních vod a z půdy vybublány nebo vypuzeny proudem vzduchu a zachyceny na sorbentu. Tím se daří kontaminanty ze životního prostředí odstranit, zůstává ale problém, jak zacházet se získaným odpadem dále. Biologický rozklad proto může být velmi zajímavou alternativou odstranění TCE, samozřejmě se však neobejde bez detailních znalostí celého procesu.

## 2. Aerobní degradace trichlorethenu

Mikrobiální aerobní rozklad TCE probíhá téměř výlučně kometabolickým způsobem, tedy po kontaktu vhodných mikrobních buněk s určitým specifickým substrátem, který v nich indukuje tvorbu příslušných katabolických enzymů. Ty potom – díky své širší substrátové specifitě – atakují více-méně náhodně i nepřirozený substrát a transformují jej. Například fenol-2-monoxygenasa má tak širokou substrátovou specifitu, že kromě fenolu atakuje i resorcinol, kresol, chlorfenoly a aminofenoly, orcinol (5-methylresorcinol), pyrogallol a některé další látky<sup>6</sup>.

V případě TCE byl proces aerobní mikrobiální biotransformace poprvé popsán v osmdesátých letech dvacátého století<sup>7,8</sup>, což odstartovalo intenzívní výzkum biologického i inženýrského charakteru. Bylo prokázáno, že schopnost degradace TCE má několik bakteriálních skupin – především methanotrofní bakterie vyžadující jako substrát methan<sup>9,10</sup>, dále řada bakterií rostoucích na aromatických uhlovodíkách (fenolu, toluenu, kresolu, *o*-xylenu, isopropylbenzenu)<sup>11–15</sup>, některé rody využívající propan, propen<sup>16,17</sup> či dokonce dimethylsulfid<sup>17,18</sup>, a také nitrifikační bakterie oxidující amoniak na dusitan<sup>19</sup>.

Společnou vlastností uvedených potřebných substrátů je skutečnost, že jejich bakteriální přeměna je v prvním stupni katalyzována oxygenasami. Tento typ enzymů vnáší jeden nebo dva atomy kyslíku do molekuly substrátu za účasti NADH nebo NADPH. Otázka, zda jsou to právě oxygenasy, které katalyzují i přeměnu TCE, byla zodpovězena poměrně záhy několika pracemi. Bylo prokázáno, že mutanti postrádající toluen-2-monoxygenasu, resp. toluen-dioxyge-

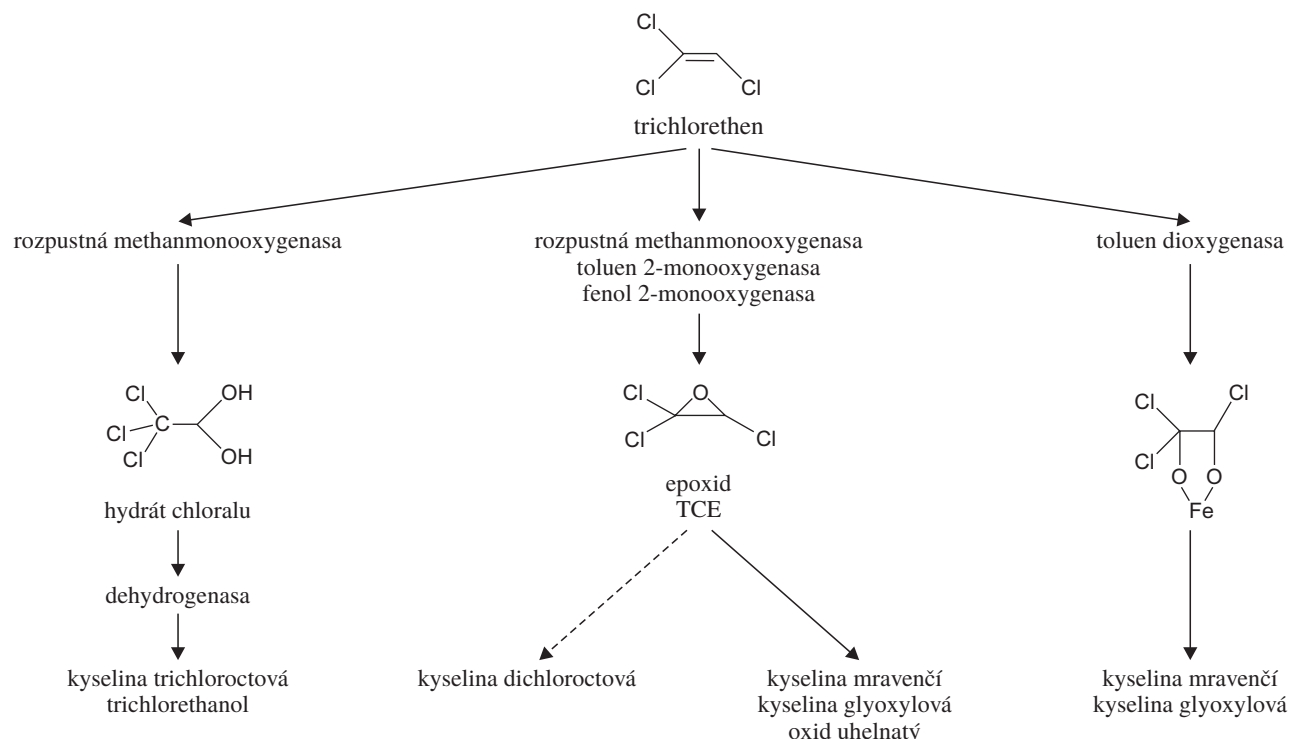
nasu či fenol-2-monoxygenas, ztrácí i schopnost transformovat TCE (cit.<sup>12,20,21</sup>). U směsných mikrobiálních kultur byly tyto závěry potvrzeny Shihem a spol., kteří zaznamenali ztrátu degradacní aktivity bakterií poté, co jim místo fenolu začal být jako jediný substrát poskytován neinduktivní pyrokatechol (první meziprodukt rozkladu fenolu)<sup>22</sup>. Podle dosavadních výsledků se zdá, že katalýzy transformace TCE jsou schopny jen některé bakteriální mono- a dioxygenasy. U kvasinek či vláknitých plísni, rostoucích např. na fenolu, zatím tato schopnost zjištěna nebyla; naopak – u směsných inkolů byl vždy při významnějším výskytu těchto organismů zaznamenán pokles degradacních vlastností daných suspenzí<sup>22–25</sup>.

Praktickou výhodou kometabolické transformace xenobiotik je možnost využití přirozených kultur bakterií. Poněkud nepříznivým aspektem je však možný vznik dead-end produktů a dále případná kompetitivní inhibice přeměny polutantu primárním substrátem. Enzymové systémy atakuje přednostně přirozené substráty, a proto, jsou-li tyto látky přítomny ve vyšších koncentracích, může dojít ke zpomalení nebo úplnému zastavení biodegradace cizorodých látek. V případě degradace TCE bakteriemi degradujícími fenol bylo několikrát experimentálně ověřeno, že transformace TCE je při současném přítomnosti fenolu možná jen při dodržení poměrně úzkého rozmezí 5–10 mg fenolu na 1 mg TCE (cit.<sup>26,27</sup>). Jiní autoři však zjistili, že v jejich pokusech za přítomnosti fenolu k odbourávání TCE nedocházelo vůbec<sup>28</sup> a že tedy kompetitivní inhibice požadovaný proces zcela zamezila. Zdánlivě by bylo tedy řešením úplné odstranění primárního substrátu z degradacní směsi po uskutečněné enzymové indukcii, avšak v takovém případě se vlivem regulačních mechanismů bakteriálních

buněk zastaví tvorba příslušných enzymů a po určité době se degradacní schopnost bakterií ztratí.

### 3. Produkty biotransformace trichlorethenu

Není divu, že se krátce po objevu možnosti bakteriální transformace TCE objevily i snahy o její praktické využití pro dekontaminaci znečištěných lokalit. Z pohledu bioremediačních technologií je dnes největší význam příkládán methanotrofním bakteriím a bakteriím využívajícím fenol nebo toluen. Při výběru kultury pro bioremediaci se přihlíží k řadě faktoriů, zejména k hodnotám její transformační kapacity, k charakteru primárního substrátu, afinitě příslušného enzymu k TCE a nejvíce ke vznikajícím produktům a jejich toxicitě. Výhody využití methanotrofných bakterií spočívají především v aplikaci netoxickeho methanu jako substrátu a ve vyšší počáteční rychlosti degradace<sup>29</sup>, zatímco ve prospěch druhů využívajících toluen nebo fenol hovoří rychlejší růst, vyšší transformační kapacity a o něco větší odolnost vůči toxicitám metabolitů i snadná vazba na případný nosič<sup>30</sup>. Nejvýznamnější faktor, ovlivňující výběr degradacního organiska, však spočívá ve vznikajících konečných produktech degradace (obr. 1). Ty jsou závislé především na typu oxygenasy, může je však ovlivnit i ostatní enzymová výbava bakterií. Velmi příznivá je situace při transformaci katalyzované toluendioxygenasou. Ta vnáší do molekuly substrátu dva atomy kyslíku a vzniklý labilní meziprodukt poskytuje jako konečné produkty kyselinu mravenčí a glyoxylovou, přičemž organicky vázaný chlor přechází na chloridy<sup>31</sup>. Základním krokem biotransformace



Obr. 1. Možné degradacní cesty TCE při působení různých typů oxygenas. Chlor vázany v molekule TCE je transformován na chloridy (<http://www.labmed.umn.edu/>, the University of Minnesota Biocatalysis/Biodegradation database)

TCE při katalýze monooxygenasami je přeměna na epoxid TCE (cit.<sup>32–34</sup>). Tento meziprodukt je značně nestabilní (počas rozpadu okolo 10 s) a podléhá spontánní vícestupňové hydrolyze na konečné produkty. Těmi jsou rovněž kyseliny mravenčí a glyoxylová, dále chloridy a určité množství oxidu uhelnatého, jak bylo popsáno u bakterie *Burkholderia cepacia* vybavené toluen-2-monooxygenasou<sup>33</sup>. U některých bakterií, zejména methanotrofních, je však TCE transformován nejen na epoxid TCE, ale i na chloral (2,2,2-trichloracetdehyd) a dále na konečné produkty: kyseliny dichloroctovou, trichloroctovou a trichlorethanol<sup>32,35</sup>, což jsou látky, jejichž toxicita je vyšší nebo srovnatelná s původním TCE. Teprve nedávno byla objasněna i dráha biotransformace TCE za účasti fenol-2-monooxygenasy. Bylo zjištěno, že daná degradační cesta je prakticky shodná s dráhou u toluen-2-monooxygenasy, tj. výhradně přes epoxid TCE, se vznikem kyseliny mravenčí, glyoxylové a oxidu uhelnatého<sup>34</sup>. Ishida a Nakamura<sup>34</sup> prokázali, že při aplikaci bakterií *Ralstonia* sp. KN1-10A s fenol-2-monooxygenasou aktivitou dochází ke kvantitativnímu uvolňování organický vázанého chloru ve formě chloridů a tím k eliminaci těch nejproblémovějších částí molekuly TCE.

Na základě těchto výsledků by se mohlo zdát, že favority pro bioremediační postupy jsou bakteriální druhy rostoucí na fenolu nebo tolenu, jiné výsledky však ukazují, že situace není tak jednoznačná – např. Sun a Wood zjistili<sup>29</sup>, že methanotrofní bakterie *Methylosinus trichosporium* OB3b dokáže převést organický vázany chlor z TCE kvantitativně na chloridy (změřená míra mineralizace 102 %), zatímco u druhů rostoucích na aromátech byla schopnost mineralizace o něco nižší – u *Pseudomonas mendocina* KR1 85 %, u *Burkholderia cepacia* GR 62 % a u *Pseudomonas putida* F1 jen 51 %. Je tedy zřejmé, že míra mineralizace chloru a spektrum konečných produktů jsou různé u různých kultur a výsledky získané u některé z nich nelze zobecňovat. Vysvětlením rozdílných výsledků by mohl být spontánní vznik kyseliny dichloroctové z epoxidu TCE (cit.<sup>36</sup>), která může být dále dechlorována a převáděna na kyselinu glyoxylovou. Reakce však není katalyzována oxygenasami, ale jinými mikrobiálními enzymy a průběh je tedy závislý na enzymové výbavě použitého mikroorganismu.

Poněkud jiná situace je však v případě aplikace směsných mikrobiálních kultur – Chang a Alvarez-Cohen dokázali, že při transformaci TCE je produkce konečných produktů u mikrobiální směsi rostoucí na methanu obdobná jako u směsných kultur kultivovaných na fenolu, propanu nebo tolenu<sup>37</sup>. Při studiích s TCE značeným <sup>14</sup>C zjistili, že TCE je všemi směsnými kulturami transformován z 65–70 % na CO<sub>2</sub>, z 25–30 % na netěkavé, ve vodě rozpustné sloučeniny a jen 1–5 % přechází na těkavé sloučeniny. I produkce chloridů byla ve všech případech srovnatelná a přesahovala 95 % teoretického množství.

Samostatnou kapitolou je otázka toxicity vznikajících metabolitů. Nebezpečím pro degradující bakterie může být několik metabolitů včetně epoxidu TCE, neboť bylo zjištěno, že např. toluen-2-monooxygenasa je v pokusech *in vitro* významně inaktivována kovalentní modifikací v průběhu přeměny TCE (cit.<sup>33</sup>). Další autoři prokázali, že poškození buněk *Burkholderia cepacia* má charakter oxidačního stresu<sup>38</sup>. Na druhé straně však existují práce popisující průběh biotransformace TCE bez zjevného poškození klíčového enzymu<sup>26,39</sup>, a tak

i zde tedy existuje značná závislost na použité degradační kultuře a podmírkách vlastního biologického procesu.

#### 4. Aplikace bakteriálních kultur pro dekontaminaci podzemních vod

Prakticky lze biologickou degradaci TCE provádět jak pomocí směsných, tak i čistých kultur bakterií, včetně využití geneticky upravených kmenů. Jednotlivé skupiny mají své výhody i záporu. Výhodou směsných kultur, např. adaptovaného aktivovaného kalu nebo sedimentu, je především zařazení velkého spektra bakteriálních druhů v získané směsi. Případný vznik nežádoucích metabolitů a jejich toxicke účinky jsou málo pravděpodobné vzhledem k bohatému enzymovému vybavení takové kultury. Nedochází zde však k selekcii kmenů s vysokou účinností biotransformace TCE a degradační schopnost takového konsorcia může při dlouhodobější kultivaci značně kolísat<sup>23–25</sup>. Případný pokles degradační aktivity směsné kultury bývá způsoben úbytkem degradačních bakterií, které mohou být ve srovnání s dalšími přítomnými druhy více citlivé k toxicitám účinků TCE a meziproduktů jeho rozkladu<sup>40</sup>. Tuto nevýhodu lze odstranit aplikací čistých nebo definovaných kultur se známými vlastnostmi. Dnes je již dostatek odborných prací dokládajících, že úspěšná biotransformace TCE může být uskutečněna jediným, dobře prostudovaným bakteriálním kmenem<sup>26,28,29,41</sup>. Tato cesta může být dnes ještě umožněna aplikací geneticky upravených organismů (GMO), např. se stálou (konstitutivní) produkcí oxygenas. To umožňuje při kultivaci degradační kultury vyloučení primárního substrátu, a tím i odstranění problému kompetitivní inhibice při vlastní degradaci polutanu. Zajímavým příkladem může být schopnost kmene *Ralstonia eutropha* AEK301/pYK3021 degradovat TCE i při jeho velmi vysokých vstupních koncentracích 100–200 mg.l<sup>-1</sup> (cit.<sup>42</sup>). Genetické úpravy však nabízí i další možnosti vylepšení vlastností degradačních kultur – je možné umístit geny, kodující potřebné oxygenasy, pod kontrolou regulačních jednotek spouštěných při nedostatku živin (tzv. starvation promotorů), což vede ke zvýšení degradační aktivity pomalu rostoucích buněk a k nízké produkci biomasy. Matin a spol. tak zkonztruovali *Escherichia coli* AMS187, která degradovala TCE při cca 100× nižší produkci biomasy ve srovnání s přirozenými bakteriemi, byť reakční rychlosť byla poměrně nízká<sup>43</sup>. Do budoucna lze uvažovat i o řízené konstrukci degradačních enzymů s vysokou afinitou k polutanu. K tomu by měly přispět i znalosti o amikokyselinových sekvenčích oxygenas bakteriálních kmenů s vysokou rychlosťí degradace TCE, jak je prezentovali např. Futamata a spol. při sledování vztahu mezi primární strukturou  $\alpha$ -podjednotek fenol-2-monooxygenas a degradační aktivitou různých bakteriálních kmenů<sup>28</sup>.

I přes řadu úspěšných pokusů o konstrukci GMO odstraňujících TCE (cit.<sup>34,42,44,45</sup>) je však zatím jejich praktická aplikace otevřená – je otázkou, zda náklady na jejich vývoj a také doba potřebná k legislativnímu schvalovacímu procesu budou adekvátní mře intenzifikace procesu, nehledě na postoj části veřejnosti k využívání GMO. Lze si ovšem představit stav, kdy by většina znečištěných lokalit (s nízkými až středními koncentracemi TCE) byla dekontaminována pomocí přirozených kultur a jen místa s velmi vysokým až extrémním zatížením byla prostorem pro aplikaci schválených GMO.

Závěrem lze uvést několik příkladů terénních pokusů o dekontaminaci prostředí za pomocí různých kultur mikroorganismů. Významná je série studií z testovacího místa Moffett Field v Kalifornii, kde byly prováděny pilotní experimenty degradace TCE a později i dalších chlorovaných uhlovodíků za využití přirozené mikroflóry. Ve zkouškách s TCE bylo prokázáno, že injekce fenolu do kontaminovaných podzemních vod spolu s kyslíkem je možné dosáhnout výrazného úbytku TCE. Při kontaminaci do  $500 \mu\text{g.l}^{-1}$  bylo po 30 hodinách od injekce fenolu ( $12,5 \text{ mg.l}^{-1}$ ) a kyslíku ( $35 \text{ mg.l}^{-1}$ ) dosaženo poklesu TCE o 87–89 %, při kontaminaci  $1000 \mu\text{g.l}^{-1}$  byl za stejných podmínek pokles TCE kolem 77 %, avšak po zvýšení dávky fenolu na  $25 \text{ mg.l}^{-1}$  bylo odstraněno 90 % TCE (cit.<sup>46</sup>). Později byla prokázána i úspěšná degradace TCE při aplikaci toluenu ( $9 \text{ mg.l}^{-1}$ ) a také úbytek 1,2-dichloroethenu (DCE), (Z) i (E) (cit.<sup>47</sup>). Obdobný proces, založený na injektáži methanu, kyslíku a minerálních živin, byl vyzkoušen v Japonsku, kde šlo o pokus dekontaminace podzemních vod v bezprostředním okolí domu. Při koncentraci TCE  $220 \mu\text{g.l}^{-1}$  bylo sice po týdenním procesu odstraněno jen 10–20 % polutantu, autoři však hodnotí postup jako bezpečný způsob dekontaminace prostředí v zástavbě<sup>48</sup>. Zcela jiného charakteru byla terénní zkouška bioremediace podzemních vod, kontaminovaných směsí chlorovaných uhlovodíků, a to za použití GMO *Burkholderia cepacia* ENV435 s konstitutivní produkcí toluen-2-monoxygenasy. Několik set litrů kultury tohoto mikroorganismu bylo injikováno spolu s kyslíkem do pod povrchové zvodnělé vrstvy. Vzhledem k rozdílnému transportu bakterií byly v několika měřených vrtech zaznamenány mírné rozdíly v úbytku chlorovaných ethenů, avšak v nejprůkaznějším případě došlo k poklesu těkavých organických látek z hodnoty cca  $2200 \mu\text{g.l}^{-1}$  na  $250 \mu\text{g.l}^{-1}$  a místně dokonce pod  $50 \mu\text{g.l}^{-1}$  (cit.<sup>49</sup>).

Z uvedených údajů je zřejmé, že bakteriální aerobní degradace trichlorethenu je reálnou alternativou fyzikálně-chemických postupů dekontaminace znečištěných lokalit od chlorovaných ethenů, s dobrými vyhlídkami na úplnou mineralizaci uvedeného polutantu, vyžadující však dokonalou znalost procesu a důkladné ověření použité mikrobiální kultury.

## LITERATURA

- Abrahamsson K., Ekdahl A., Collén J., Pedersén M.: Limnol. Oceanogr. 40, 1321 (1995).
- Dimmer C. H., McCulloch A., Simmonds P. G., Nickless G., Bassford M. R., Smythe-Wright S.: Atmos. Environ. 35, 1171 (2001).
- Agency for Toxic Substances and Disease Registry (ATSDR): *Public Health Statement, Trichloroethylene*, 1989. <http://www.atsdr.cdc.gov/ToxProfiles/phs8824.html>, staženo říjen 2000.
- Johnson P. D., Dawson B. V., Goldberg S. J.: Environ. Health Perspect. 106, 995 (1998).
- Vogel T. M., Criddle C. S., McCarty P. L.: Environ. Sci. Technol. 21, 722 (1987).
- Krug M., Straube G.: J. Basic Microbiol. 26, 271 (1986).
- Wilson J. T., Wilson B. H.: Appl. Environ. Microbiol. 49, 242 (1985).
- Haber C. L.: Science 221, 1147 (1983).
- Fogel M. M., Taddeo A. R., Fogel S.: Appl. Environ. Microbiol. 51, 720 (1986).
- Uchiyama H., Nakajima T., Yagi O., Tabuchi T.: Agric. Biol. Chem. 53, 1019 (1989).
- Nelson J. K., Montgomery S. O., Mahaffey W. R., Pritchard P. H.: Appl. Environ. Microbiol. 53, 949 (1987).
- Nelson J. K., Montgomery S. O., Pritchard P. H.: Appl. Environ. Microbiol. 54, 604 (1988).
- Chauhan S., Barbieri P., Wood T. K.: Appl. Environ. Microbiol. 64, 3023 (1998).
- Krumme M. L., Timmis K. N., Dwyer D. F.: Appl. Environ. Microbiol. 59, 2746 (1993).
- Dabrock B., Riedel J., Bertram J., Gottschalk G.: Arch. Microbiol. 158, 9 (1992).
- Malachowsky K. J., Phelps T. J., Teboli A. B., Minnikin D. E., White D. C.: Appl. Environ. Microbiol. 60, 542 (1994).
- Ensign S. A., Hyman M. R., Arp D. J.: Appl. Environ. Microbiol. 58, 3038 (1992).
- Takami W., Horinouchi M., Nojiri H., Yamane H., Omori T.: Biotechnol. Lett. 21, 259 (1999).
- Arciero D., Vannelli T., Logan M., Hooper A. B.: Biochem. Biophys. Res. Commun. 159, 640 (1989).
- Shields M. S., Montgomery S. O., Cuskey S. M., Chapman P. J., Pritchard P. H.: Appl. Environ. Microbiol. 57, 1935 (1991).
- Wackett L. P., Gibson D. T.: Appl. Environ. Microbiol. 54, 1703 (1988).
- Shih C., Davey M. E., Zhou J., Tiedje J. M., Criddle C. S.: Appl. Environ. Microbiol. 62, 2953 (1996).
- Skočovská P.: *Diplomová práce*. VUT, Brno 1998.
- Jasenská P.: *Diplomová práce*. VUT, Brno 1999.
- Sergejevová M.: *Doktorská disertační práce*. Univerzita T. Bati, Zlín 2003.
- Folsom B. R., Chapman P. J., Pritchard P. H.: Appl. Environ. Microbiol. 56, 1279 (1990).
- Shurtliff M. M., Parkin G. F., Weathers L. J., Gibson D. T.: J. Environ. Eng. 122, 581 (1996).
- Futamata H., Harayama S., Watanabe K.: Appl. Environ. Microbiol. 67, 4671 (2001).
- Sun A. K., Wood T. K.: Appl. Microbiol. Biotechnol. 45, 248 (1996).
- Speitel G. E., Segar Jr. R. L.: Water Sci. Technol. 31, 215 (1995).
- Li S., Wackett L. P.: Biochem. Biophys. Res. Commun. 29, 443 (1992).
- Nakajima T., Uchiyama H., Yagi O., Nakahara T.: Biosci., Biotechnol., Biochem. 56, 486 (1992).
- Newman L. M., Wackett L. P.: J. Bacteriol. 179, 90 (1997).
- Ishida H., Nakamura K.: J. Biosci. Bioeng. 89, 438 (2000).
- Saeki S., Mukai S., Iwasaki K., Yagi O.: Biocatal. Biotransform. 17, 347 (1999).
- Henschler D., Hoos W. R., Fetz H., Dallmeier E., Metzler M.: Biochem. Pharmacol. 28, 543 (1979).
- Chang H. L., Alvarez-Cohen L.: Biotechnol. Bioeng. 45, 440 (1995).
- Yeager C. M., Bottomley P. J., Arp D. J.: Appl. Environ. Microbiol. 67, 2107 (2001).
- Bielefeldt A. R., Stensel H. D., Strand S. E.: J. Environ. Eng. 121, 791 (1995).
- Mars A. E., Prins G. T., Wietyes P., Koning W., Janssen D. B.: Appl. Environ. Microbiol. 64, 208 (1998).

41. Oldenhuis R. L., Vink J. M., Janssen D. B., Witholt B.: Appl. Environ. Microbiol. 55, 2819 (1989).
42. Ayoubi P. J., Harker A. R.: Appl. Environ. Microbiol. 64, 4353 (1998).
43. Matin A., Little C. D., Fraley C. D., Keyhan M.: Appl. Environ. Microbiol. 61, 3323 (1995).
44. Sun A. K., Wood T. K.: Biotechnol. Bioeng. 55, 674 (1997).
45. Takami W., Nojiri H., Yamane H., Omori T.: Biotechnol. Lett. 22, 211 (2001).
46. Hopkins G. D., Munakata J., Semprini L., McCarty P. L.: Environ. Sci. Technol. 27, 2542 (1993).
47. Hopkins G. D., McCarty P. L.: Environ. Sci. Technol. 29, 1628 (1995).
48. Eguchi M., Kitagawa M., Suzuki Y., Nakamura M., Kawai T., Okamura K., Sasaki S., Miyake Y.: Water Res. 35, 2145 (2001).
49. Steffan R. J., Sperry K. L., Walsh M. T., Vainberg S., Condee C. W.: Environ. Sci. Technol. 33, 2771 (1999).

**M. Sergejevová<sup>a</sup> and J. Růžička<sup>b</sup>** (<sup>a</sup>*Department of Physical Biology, University of South Bohemia, České Budějovice, Nové Hrady, <sup>b</sup>Department of Environmental Technology and Chemistry, Tomáš Baťa University, Zlín): Potentials of Aerobic Microbial Degradation of Trichloroethene*

The article reviews contemporary basic knowledge of microbial degradation of trichloroethene. It gives a number of literature data on key enzymes, appropriate microorganisms, degradation products and also suggests unclarified problems of the process. Perspectives of microbiological decontamination of underground waters by possibly complete mineralization of the pollutant are discussed. The key role is attributed to the choice of an appropriate microorganism.

# BIODEGRADÁCIA A BIOREMEDIÁCIA PENTACHLÓRFENOLU (PCP)

KATARÍNA DERCOVÁ<sup>a,\*</sup>, ZUZANA KYSELOVÁ<sup>a</sup>,  
GABRIELA BARANÍKOVÁ<sup>b</sup>,  
ZUZANA SEJÁKOVÁ<sup>a</sup> a ANNA MAĽOVÁ<sup>a</sup>

<sup>a</sup>Katedra biochemickej technológie, Fakulta chemickej a potravinárskej technológie, Slovenská technická univerzita, Radlinského 9, 812 37 Bratislava, <sup>b</sup>Výskumný ústav pôdoznalectva a ochrany pôdy, Reimannova 1, 080 01 Prešov, Slovenská republika

e-mail: dercova@chtf.stuba.sk

Došlo 7.3.02, prepracované 17.10.02, prijaté 12.1.03.

---

Kľúčové slová: biostimulácia, bioaugmentácia, bioremediácia, degradácia, pentachlórfenol, PCP

---

## Obsah

1. Úvod
2. Fenol a jeho chlórderiváty – zdroje, výskyt
3. Chemická štruktúra a vlastnosti PCP
4. Mikrobiálna degradácia chlórfenolov
  - 4.1. Aeróbna degradácia chlórovanych fenolov
  - 4.2. Anaeróbna degradácia chlórovanych fenolov
5. Faktory ovplyvňujúce biodegradáciu PCP
6. Bioremediačné technológie používané pri dekontaminácii PCP
  - 6.1. Čistenie pôdy
  - 6.2. Kompostovanie
  - 6.3. Pôdne hromady
  - 6.4. Kalové hospodárstvo
  - 6.5. Biovzdušnenie a kropenie vzduchom
  - 6.6. Bioaugmentácia
7. Génové inžinierstvo
8. Limitácie a možnosti bioremediačných technológií
9. Záver

## 1. Úvod

Znečistenie životného prostredia v súčasnom období nadobúda čoraz väčšie rozmery. Každoročne sa na svetových trhoch objavuje viac než tisíc nových chemikálií, ktorých osud a správanie sa v prírode je možné iba ľahko predvídať. Neustále sa zvyšujúca priemyselná výroba a intenzívne poľnohospodárstvo sú príčinou vysokej koncentrácie látok, ktoré nemajú prírodný charakter a sú „cudzie“ životnému prostrediu. Veľké množstvo organických zlúčenín vyrábaných človekom je halogéновaných, čo je príčinou ich perzistencia v životnom prostredí. Chlóraromáty patria medzi vážne a nebezpečné

kontaminanty v dôsledku vysokej priemyselnej produkcie, značnej perzistence, bioakumulácie a toxicity. Naviac, tieto látky patria k nebezpečným škodlivinám, t.j. sú charakteristické takými vlastnosťami, ktoré môžu byť príčinou poškodenia zdravia ľudí a poškodenia životného prostredia.

Veľkú skupinu chlóraromáty predstavujú chlórfenoly, ktoré sa v dôsledku svojich vynikajúcich vlastností intenzívne využívajú v mnohých odvetviach priemyslu i poľnohospodárstva viac ako 50 rokov. Okrem toho, že sa využívajú ako antiseptické a selektívne rozpušťadlá, v životnom prostredí sa vyskytujú aj ako medziprodukty degradácie pesticídov. Z tohto dôvodu sa v značných koncentráciách nachádzajú v pôde, vode i sedimentoch.

Najväčšie využitie medzi chlórfenolmi má pentachlórfenol (PCP), ktorý sa ešte v nedávnej minulosti intenzívne používal ako všeestranný herbicíd, fungicíd a insekticíd, pri ochrane a konzervácii dreva a pri pestovaní ryže. PCP sa v pôde nachádza aj ako degradačný produkt bežne používaných pesticídov (lindánu, pentachlórbenzénu, fenoxyoctovej kyseliny a hexachlórbenzénu). V dôsledku toxicity a veľkého rozšírenia v životnom prostredí patrí medzi najviac študované fenoly.

Neustály tlak priemyselnej výroby, tlak rôznych ekologickej organizácií a v neposlednej rade požiadavka čo najmenšej ekonomickej náročnosti posunuli do popredia záujmu výskumu prírodné procesy, umožňujúce bez väčších finančných požiadaviek a ďalšej záťaže pre prírodu odstrániť kontamináciu. Remediačné technológie, využívajúce biologické postupy degradácie kontaminantov, predovšetkým metabolickú činnosť mikroorganizmov, sa nazývajú bioremediácie. Bioremediačné technológie sa javia ako perspektívna ekologická a ekonomická alternatíva fyzikálno-chemických postupov odstraňovania kontaminantov.

## 2. Fenol a jeho chlórderiváty

Fenol a jeho chlórderiváty patria medzi bežné polutanty vodných zdrojov a pôdy, pričom ich pôvod býva rozmanitý. Chlórovane fenoly a najmä pentachlórfenol patrili medzi široko používané biocídy v priemyselných odvetviach a v poľnohospodárstve už od roku 1920. Chlórfenoly boli všeestranne používané vďaka ich rozpustnosti v organických rozpúšťadlach, ako aj rozpustnosti v sodných soliach. Jedným z najdôležitejších použití bola ochrana čerstvo spíleného dreva proti hubám poškodzujúcim miazgu a tiež pre dlhodobú ochranu drevenej guľatiny, železničných podvalov a stavebného dreva. PCP sa tiež používali ako biocídne prísady do farieb a rôznych druhov olejov a ako herbicídy na ryžových poliach<sup>1,2</sup>.

Sú známe aj iné zdroje chlórfenolov okrem vyššie uvedených využití ako biocídov. Chlórovane fenoly sú intermediáti v syntézach iných biocídov, napríklad herbicídu kyseliny 2,4-dichlórenoxyoctovej (2,4-D) a kyseliny 2,4,5-

\* Autor pre korešpondenciu

-trichlórfenoxyoctovej (2,4,5-T) (cit.<sup>3</sup>). 2,4-Dichlófenol a 2,4,5-trichlófenol sú produkty mikrobiálneho rozkladu týchto herbicídov. 2,4-D je jeden z najpoužívanejších herbicídov na svete.

Veľké množstvo chlórovaných organických zlúčenín, vrátane chlórovaných fenolov, je produkované počas chemického bielenia chlórom. Nové spôsoby bielenia výrazne znížujú hladinu chlórovaných fenolov<sup>4</sup>. Chlórfenoly sú analogicky tvorené počas chlorácie pitnej vody obsahujúcej humínové látky<sup>5</sup>. Vznikajú tiež počas horenia organického materiálu v prítomnosti chlóru, napríklad spaľovaním mestských tuhých odpadov alebo počas horenia čerstvého dreva, pričom unikajú do ovzdušia<sup>6,7</sup>. Chlórfenoly sú teda globálne polutanty, ktoré boli nájdené aj v sedimentoch jazier odľahlých od priemyselných centier<sup>8</sup>. Boli nájdené v usadeninách slojov starších ako 50 rokov pred započatím priemyselnej výroby, z čoho vyplýva, že vznikli pravdepodobne pri lesných požiaroch. Okrem toho je zaujímavé, že niektoré chlórfenoly sú biologickej pôvodu, napríklad 2,6-dichlófenol je feromónom kliešťov<sup>9,10</sup>. Chlórfenoly nie sú teda výhradne antropogénneho pôvodu.

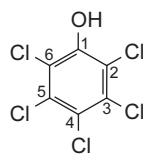
Chlórované aromáty predstavujú nebezpečné kontaminanty pre celý ekosystém. Ich koncentrácia v pôde, morských a sladkých vodách sa monitoruje nielen na území štátov Európskej únie<sup>11</sup>, ale aj v ázijských krajinách, napr. v Číne<sup>12</sup>. O ich závažnom vplyve na zdravie ľudského organizmu, akútnej aj chronických účinkoch, mutagénnych, karcinogénnych a teratogénnych účinkoch<sup>13</sup> svedčia mnohé práce a štúdie pojednávajúce o prítomnosti týchto polutantov v potravinách<sup>14</sup>.

### 3. Chemická štruktúra a vlastnosti PCP

Pentachlórfenol (PCP) je organická zlúčenina ( $C_6Cl_5OH$ ) vyrábaná katalytickou chloráciou fenolu, ale aj prírodné produkovaná aromatická zlúčenina (obr. 1). Je stabilný, rozpustný vo väčšine organických rozpúšťadiel, mierne rozpustný vo vode a čiastočne prchavý. Stabilita PCP súvisí s jeho štruktúrou – na aromatické jadro je naviazaných päť atómov chlóru. Jediná hydroxylová skupina sa nachádza v polohe 1 a zodpovedá za účasť pentachlórfenolu v nukleofilných reakciach.

Technická zmes PCP, ako bežná komerčne dostupná forma, je svetlohnedá alebo sivá kryštaličká látka. Pozostáva z 85 % z PCP, 4–8 % tvorí tetrachlórfenol, 2–6 % nižšie chlórované fenoly a v stopových množstvach sa vyskytujú chlórované dibenzo-*p*-dioxíny a chlórované dibenzofurány<sup>15</sup>, ktoré obsahujú 6–8 atómov chlóru. Komerčne dostupná je aj sodná soľ PCP – pentachlórfenolát sodný (NaPCP), ktorý je vo vode rozpustný. Základné fyzikálne a chemické vlastnosti PCP sú uvedené v tabuľke I.

Pre živočíchy je PCP akútne toxickej. Zasahuje do oxidačnej fosforylace, ktorej mechanizmom dochádza k prenosu



Obr. 1. Štruktúra pentachlórfenolu (PCP)

Tabuľka I

Základné fyzikálne a chemické vlastnosti pentachlórfenolu (PCP)<sup>16</sup>

Parametr	Hodnota <sup>16</sup>
Molekulová hmotnosť, g.mol <sup>-1</sup>	266,35
Bod topenia, °C	190,2
Bod varu, °C	300,6
Hustota, g.cm <sup>-3</sup>	1,85
Rozpustnosť vo vode, g.l <sup>-1</sup>	
0 °C	0,005
20 °C	0,014
30 °C	0,020
50 °C	0,035
70 °C	0,085
Rozpustnosť v org. rozpúšťadlách, g.l <sup>-1</sup> , pri 25 °C	
metanol	180
acetón	50
benzén	15
pK <sub>a</sub> , pri 25 °C	4,70
log K <sub>ow</sub> , pri 25 °C	5,01

elektrónu cez dýchací reťazec až na kyslík a zabraňuje tak syntéze ATP. Prístup PCP do tela jedinca nastáva vdýchnutím, požitím alebo absorpciou cez pokožku. Medzi symptómy prejavujúce sa v styku s PCP patria dermatitidy, podráždenie očí, nosnej dutiny, hltana, dýchacie problémy, hyperglykémia, zvýšený krvný tlak a iné kardiovaskulárne ťažkosti<sup>16</sup>. Dávka PCP nespôsobujúca ťažkosti (udávaná ako NOEL tzn. no-observable-effects level) je množstvo PCP, ktoré je schopné organizmus priať bez následných symptomatických prejavov. Fetotoxicický limit NOEL predstavuje 5,8 mg PCP na 1 kg telesnej hmotnosti za deň. Limit NOEL pre chronickú toxicitu je 3 mg na 1 kg a deň. Hodnota NOEL pre 2,4,5-trichlórfenol je 500 mg na 1 kg a deň<sup>17</sup>. Pre porovnanie fetotoxicický limit NOEL pre chlórované dioxíny je 1 µg na 1 kg a deň. Mutagenicitá PCP zatiaľ nebola preukázaná, ale je známy jej embryo-toxicity a embryoletálny účinok na potkany<sup>16</sup>. U väčšiny živočíšnych druhov je PCP metabolizovaný a eliminovaný z tela von.

Pre rôzne rastlinné druhy má PCP fytotoxicický účinok. Prítomnosť PCP bola dokázaná v listoch stromov, vyššie koncentrácie PCP boli nájdené v ihliči borovíc<sup>18</sup>. Tento spôsob zachytávania PCP zo znečisteného ovzdušia by bol zvlášť výhodný pre monitorovanie vzdušnej kontaminácie.

Legislatívna úprava MP SR z roku 1994, určujúca najvyššie prípustné hodnoty škodlivých látok v pôde, stanovuje tri stupne závažnosti znečistenia – A, B, a C (cit.<sup>19</sup>). Referenčná hodnota A znamená, že pôda nie je kontaminovaná, ak je koncentrácia látky pod touto hodnotou. Indikačná hodnota B znamená, že kontaminácia bola analyticky preukázaná a je nevyhnutné ďalšie monitorovanie znečisteného miesta. Indikačná hodnota C pre sanáciu znamená, že je nutné okamžite vykonať analytické zmapovanie rozsahu poškodenia príslušného miesta a rozhodnúť o spôsobe nápravného opatrenia. Limitné hodnoty pre PCP sú nasledovné: A = 0,1 mg.kg<sup>-1</sup> suchej pôdy; B = 1 mg.kg<sup>-1</sup> suchej pôdy; C = 10 mg.kg<sup>-1</sup> suchej pôdy.

#### 4. Mikrobiálna degradácia chlórfenolov

Biodegradácia je vo všeobecnosti biologický rozklad organického polutantu účinkom enzymovej aktivity. Jej koncovými produktami sú oxid uhličitý, voda, prípadne ďalšie anorganické zlúčeniny, napr. amoniak, sírany. Takúto biodegradáciu možno označiť ako úplnú, nazývanú aj mineralizácia. Biodegradácia je súhrnom viacerých reakcií nadvážujúcich na seba alebo vzájomne sa podmieňujúcich. Jednotlivé kroky, spôsobujúce čiastkové zmeny v štruktúre xenobiotika, sa označujú ako biotransformácia.

K odstráneniu PCP môže dôjsť abiotickými procesmi, ako sú prchavosť, fotorozklad a adsorpcia. Biotickú degradáciu môžu uskutočniť rastliny, živočíchy a mikroorganizmy<sup>20</sup>. Bolo izolovaných niekoľko druhov aeróbnych baktérií a hub schopných využívať chlórfenoly ako zdroje uhlíka a energie. Možnosťou biodegradácie PCP kmeňmi *Flavobacterium gleum*, *Agrobacterium radiobacteria* a *Pseudomonas* sp. sa zaoberali Yu a Ward<sup>21</sup>.

Aeróbne chlórfenoldegradujúce baktérie možno rozdeliť na základe ich substrátovej špecifity a mechanizmu degradácie do dvoch skupín:

1. kmene degradujúce mono- a dichlórfenoly
2. kmene degradujúce tri-, tetra-, a pentachlórfenoly

Polychlórovane fenoly sú vo všeobecnosti degradované v prvom štádiu dechloráciou cestou hydroxylácie (ide o nahradenie substituenta chlóru hydroxyskupinou) a redukčnej dechlorácie. Po odstránení všetkých alebo väčšiny substituentov chlóru dochádza k štiepeniu aromatickej kruhu. Centrálnym intermediátom v degradácii tri-, tetra- a pentachlórfenolov sú chlórovane hydrochinóny. Na druhej strane mono- a dichlórfenoly sú vo všeobecnosti degradované cez intermediát chlórovane pyrokatecholov s dechloráciou až po rozštiepení aromatickej jadra. Anaeróbne baktérie dechlórujú chlórfenoly redukčne, ale neatakujú aromatický kruh. V hubách je na degradáciu polychlórovanej fenolov potrebná prítomnosť lignín- a mangán-peroxidázového komplexu, kym monochlórfenoly sú degradované cez chlórpyrokatecholy<sup>22</sup>.

##### 4.1. Aeróbna degradácia chlórovaných fenolov

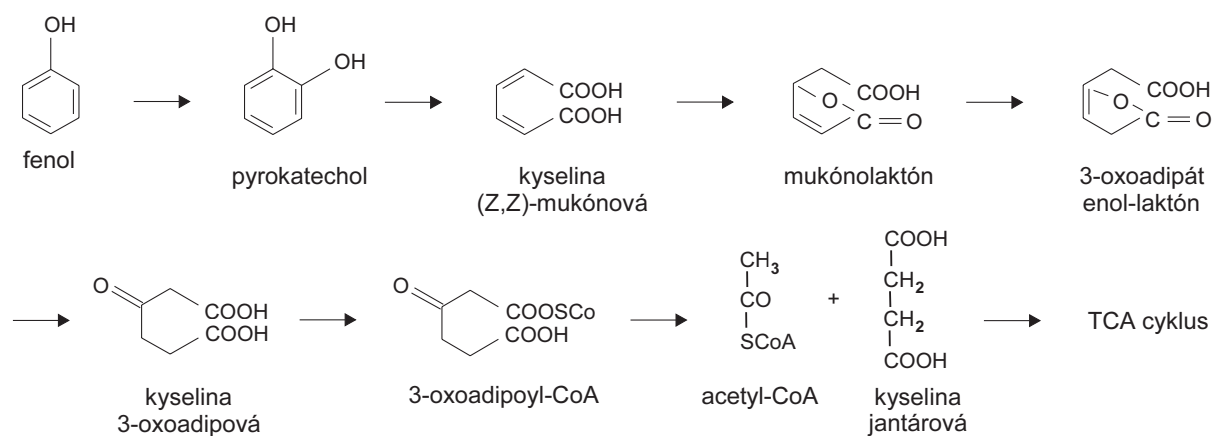
Mnohé štúdie biodegradácie chlórfenolov sa sústredovali na objasnenie tejto metabolickej dráhy a poukázali na spolo-

ný metabolický krok aeróbnych organizmov. V tomto kroku sa za spotreby kyslíka aduje hydroxyskupina na štruktúru fenolu a dochádza k oxygenácii fenolu fenolhydroxylázovými enzymami za tvorby pyrokatecholu. Zlúčeniny pyrokatecholového typu sú všeobecnými intermediátmi biodegradácie fenolických zlúčenín a boli dokázané aj pri biodegradácii benzenových jadier a bifenylov. Substitúcia dvoch hydroxyskupín vo vzájomnom *ortho*-postavení umožňuje enzymatické rozštiepenie kruhu za vzniku organických kyselín, ktoré podliehajú ďalším reakciám za vzniku metabolítov, ktoré sa môžu zapojiť do cyklu trikarboxylových kyselín<sup>13,23</sup> (obr. 2). Dehalogenácia fenolov s nízkym počtom atómov chlóru (mono- a disubstituovaných) nastáva po narušení jadra oxygenázu s následným odstránením chlóru. V prípade fenolov s vyšším stupňom chlorácie, je chlór substituovaný hydroxylom ešte pred rozštiepením kruhu.

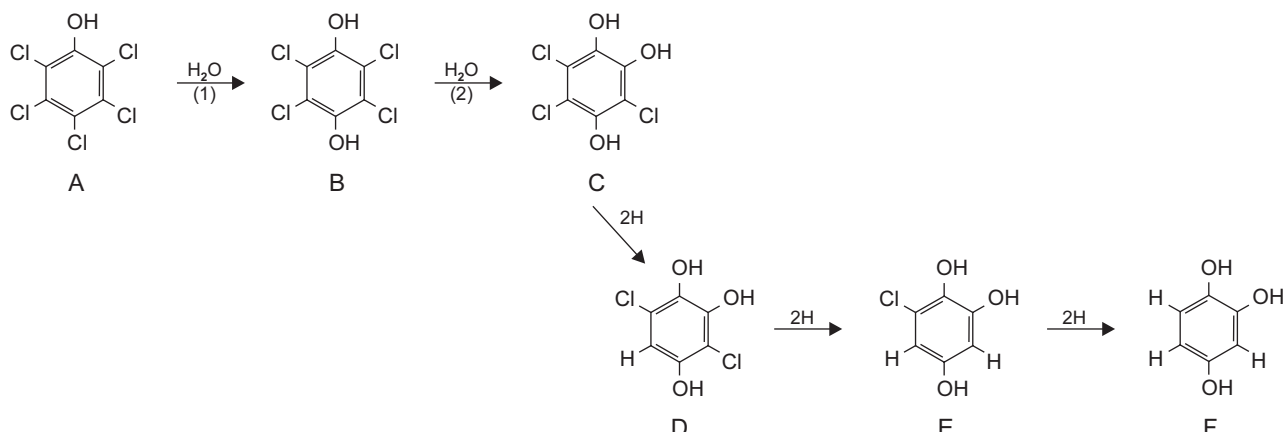
Chlórovane pyrokatecholy, ako kľúčové metabolity degradácie chlórovanej fenolov, nemusia vznikať len hydroxyláciou. Ďalšou možnou reakciou je dioxygenácia, hoci rozlisenie medzi hydroxyláciou a dioxygenáciou nemusí byť absolútne<sup>24</sup>. Rovnako môžu existovať drobné rozdiely v metabolickej dráhe – štiepenie jadra môže nastáť nielen medzi dvoma kyslíkovými atómami, ale aj medzi C2-hydroxylom a vedľajším atómom uhlíka (tzv. *meta*-štiepenie) (cit.<sup>25</sup>). Spôsob štiepenia pyrokatecholového jadra môže byť pre mikroorganizmus rozdohujúci, pretože metabolity *meta*-štiepenia môžu byť toxicke a môžu inhibovať ďalšiu degradáciu<sup>24</sup>.

Spektrum mikroorganizmov schopných využívať fenol a jeho chlórideriváty je pomerne široké a zahrňa baktérie, kvasinky aj huby. Medzi baktérie利用ujúce fenol a jeho deriváty patria: *Alcaligenes* sp.<sup>26</sup>, *Pseudomonas putida*<sup>27</sup>, *Arthrobacter* sp., *Flavobacterium* sp.<sup>28</sup>, *Desulfovibrio* sp., *Rhodopseudomonas palustris*, *Methanospirillum hungatei*<sup>29</sup>, *Desulfomonile tiedjei*<sup>30,31</sup>, *Sphingomonas chlorophenolica*, *Mycobacterium chlorophenolicum*<sup>32</sup> (obr. 3) a *Sphingomonas* sp.<sup>33</sup> Medzi kvasinky degradujúce fenol a jeho chlórideriváty patria: *Rhodotorula rubra*<sup>25,34,35</sup>, *Fusarium flocciferum*<sup>36</sup>, *Rhizobium* sp.<sup>37</sup>, *Cryptococcus elinovii*<sup>27</sup> a *Candida maltosa*<sup>38</sup>. Ako drevokazné huby degradujúce pentachlórfenol sú uvádzané *Phanerochaete chrysosporium*<sup>39</sup> a *Trametes versicolor*<sup>40</sup>.

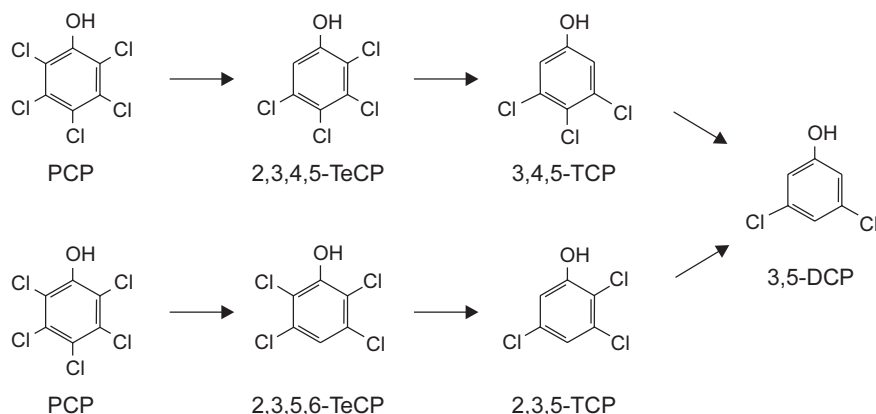
*Sphingomonas chlorophenolica*, baktéria mineralizujúce PCP, degradujú PCP cestou 2,6-dichlóhydrochinónu (2,6-DCHQ). Spôsob premeny PCP na 2,6-DCHQ je známy, kym



Obr. 2. Dráha *ortho*-štiepenia fenolu aeróbnymi baktériami<sup>13</sup>



Obr. 3. Degradáčná dráha PCP kmeňom *Mycobacterium chlorophenolicum*<sup>22</sup>. Zlúčeniny: A – PCP; B – 2,3,5,6-tetrachlórhydrochinón, C – 3,5,6-trichlórbenzén-1,2,4-triol, D – 3,6-dichlórbenzén-1,2,4-triol, E – 6-chlórbenzén-1,2,4-triol, F – benzén-1,2,4-triol



Obr. 4. Degradácia PCP anaeróbnymi mikroorganizmami; TeCP – tetrachlórfenol, TCP – trichlórfenol, DCP – dichlórfenol

spôsob premeny 2,6-DCHQ je nejasný. Pravdepodobne dôležitú úlohu zohráva gén pcpA. Predstavuje sekvenciu pre tvorbu kruhovo štiepnnej dioxygenázy v spojení s hydrochinónovými derivátmi a premieňa 2,6-DCHQ na 2-chloromaleylacetát<sup>41,42</sup>. Xu a spol.<sup>43</sup> sa zaoberali štúdiom génu, ktorý kóduje 2,6-DCHQ dioxygenázu. Tento enzym katalyzuje aeróbnu Fe<sup>2+</sup>-dependentnú reakciu 2,6-DCHQ. Jeho prítomnosť sa deteguje kompetitívou polymerázovou reťazovou reakciou pomocou 16 S rRNA génu<sup>44</sup>. *Orto*-chlórfenoldehalogenáza, purifikovaná z Gram-pozitívnych baktérií *Desulfitobacterium dehalogenans*, katalyzuje redukčné odstraňovanie halogénových atómov z *ortho*-pozície 2-chlórfenolu, 2,4-dichlórfenolu, 2,6-dichlórfenolu, pentachlórfenolu a 2-bróm-4-chlórfenolu. Z genómu mikroorganizmu *Desulfitobacterium dehalogenans* boli izolované gény, klonované a sekvenované. Týmto postupom sa zistila prítomnosť dvoch uzavretých spojených génov cprA a cprB, ktoré umožňujú membránové ukotvenie dehalogenázy<sup>45</sup>.

Na degradáciu PCP v odpadových vodách v laboratórnych diskontinuálnych a kontinuálnych reaktoroch boli použité voľné a imobilizované bunky *Flavobacterium* sp. Voľné bunky *Flavobacterium* sp. v diskontinuálnych reaktoroch kompletnie degradovali PCP pri koncentrácií 30 a 50 mg.l<sup>-1</sup>, ale iba čiastočne pri koncentrácií 65 mg.l<sup>-1</sup>. *Flavobacterium* sp. imo-

bilizovaný v algináte bol schopný v kontinuálnom reaktore degradovať 60 mg PCP.l<sup>-1</sup>. Z uvedeného vyplýva, že imobilizované bunky *Flavobacterium* sp. tolerujú vyššie koncentrácie PCP než voľné bunky<sup>46</sup>.

Inou možnosťou rozkladu chlórovanych fenolov ako aj iných chlórovanych aromátov v priemyselných odpadových vodách je použitie Fentonovej reakcie, prípadne ozonizácie<sup>47,48</sup>. Biodegradáciu nízkych koncentrácií PCP v podzemných vodách autochtónou mikroflórou sa zaoberá Schmidt a spol.<sup>49</sup>

#### 4.2. A n a e r ó b n a d e g r a d á c i a c h l ó r o v a n ý c h f e n o l o v

Hoci aeróbna degradácia chlórovanych fenolov je dostačne opísaná, omnoho menej vieme o ich anaeróbnej degradácii. Aj v tomto prípade je redukčná dechlorácia kľúčovou reakciou. Ide a spol.<sup>50</sup> boli prví, ktorí navrhli redukčnú dechloráciu chlórfenolov v anaeróbnych pôdach. Kuwatsuka a Igarashi<sup>51</sup> a Murthy a spol.<sup>52</sup> referovali o podobnej dechlorácii PCP, navrhujúc prednostné odstránenie atómov chlóru v *ortho*- a *para*-polohách. Anaeróbne dechlorácie chlórfenolov boli najčastejšie študované na metanogénnych kultúrach, využívajúcich odpadové kaly, sedimenty a pôdy ako inokulum. Metanogénné degradácie chlórfenolov začínajú redukčnou

dechloráciou a vo väčšine prípadov uprednostňujú odstráanie *ortho*-chlórov<sup>53–58</sup>, ale dechloráčne dráhy u rôznych mikrobiálnych konzorcí sa môžu lísiť. Po počiatočnej *ortho*-dechlorácií zvyčajne vzniká 3,4,5-trichlórfenol. Nasleduje *para*-dechlorácia na 3,5-dichlórfenol<sup>59,60–62</sup>. Dechlorácia často nie je kompletná a hromadia sa di-, tri- a tetrachlórfenoly<sup>30,31,63–65</sup> (obr. 4).

## 5. Faktory ovplyvňujúce biodegradáciu PCP

Aby bolo možné úspešne predikovať a čiastočne aj ovplyvňovať potenciál odbúravania chlóraromátov v pôde, je potrebné dôkladne poznať ich chemické a fyzikálno-chemické vlastnosti, ako aj faktory pôdneho prostredia, ktoré môžu osud týchto xenobiotík účinne ovplyvňovať.

Snáď najdôležitejšia vlastnosť chemikálií z hľadiska ich osudu v životnom prostredí je ich rozpustnosť vo vode, pretože na základe tejto hodnoty sa posudzuje ich pohyblivosť, stabilita, rozklad, bioakumulácia a sorpcia. Na rozdiel od polychlórovaných bifenyl (PCB), ktorých rozpustnosť vo vode je veľmi nízka, majú chlórfenoly vyššiu rozpustnosť, ktorá sa znižuje so zvyšovaním počtu atómov chlóru. Hodnota rozpustnosti PCP pri teplote 20 °C a pH 7 predstavuje 14 mg.l<sup>-1</sup> (cit.<sup>66</sup>).

Ďalšia dôležitá vlastnosť je rozdeľovací koeficient oktanol–voda  $K_{ow}$ , ktorý indikuje bioakumuláciu a biokoncentráciu chemikálií. Hodnota log  $K_{ow}$  pre PCP 5,05 je podobná nižšie substituovaným PCB a charakterizuje pomerne značnú hydrofobnosť<sup>67,68</sup>.

Veľmi dôležitou vlastnosťou organických zlúčenín z hľadiska ich osudu v pôde je hodnota adsorpčného koeficienta  $K_{oc}$ , ktorá vyjadruje tendenciu zlúčeniny nachádzat sa v pôdnom prostredí vo vodnej alebo pevnnej fáze. Hodnota log  $K_{oc}$  pre PCP 5,7 znamená značnú sorpciu PCP na pôde častice. Aj táto hodnota je ovplyvnená hodnotou pH a so zvyšovaním pH sa hodnota  $K_{oc}$  zvyšuje<sup>66</sup>.

Nemenej dôležitá vlastnosť chemických látok z hľadiska ich osudu v životnom prostredí je polčas rozpadu. V prípade PCP sa udávajú hodnoty od 10 do 120 dní, napokoľko polčas rozpadu závisí od podmienok, za akých sa látka v pôde nachádza. Augustijn-Beckers<sup>66</sup> udáva polčas rozpadu PCP 48 dní.

Biodegradáciu chlóraromátov v pôde môže limitovať aj množstvo environmentálnych faktorov, medzi ktoré patrí nevhodná teplota (obvykle príliš nízka, optimálna teplota pre ich biodegradáciu je 25–35 °C), neprítomnosť kyslíka, príliš vysoké alebo príliš nízke pH, nedostatok základných živín, väzba na flórové minerály a pôdný humus<sup>22</sup>. Pohyblivosť a biologická prístupnosť chlórfenolov v pôde je v priamom vzťahu k stupňu väzby alebo sorpcie na organické i anorganické pôdne komponenty, pričom mechanizmus sorpcie je značne rozdielny v závislosti od pH pôdy. Choi a Aomine<sup>69</sup> uvádzajú, že pri pH pôdy menšom ako  $pK_a$  hodnota ( $pK_a$  pre PCP je 4,75) sa anióny PCP zmenia priprutáním protónu na molekuly. Ak sú tieto molekuly produkované nad hranicu rozpustnosti, v systéme pôda – PCP dôjde k ich vyzrážaniu. Pri pH < 7 sa sorpcia uskutočňuje vo forme neutrálnych čästíc, avšak pri pH > 7 je mechanizmus sorpcie PCP úplne odlišný. V alkalickom prostredí je takmer všetok PCP prítomný vo forme pentachlórového aniónu. Z tohto dôvodu pri pôdnej reakcii pH > 7 by mala byť uvažovaná tvorba metal-fenolátového páru, ktorý je ná-

sledne sorbovaný. Lagas<sup>67</sup> uvádza, že sorpcia fenolátu je pre PCP a TeCP dôležitá už v pôdach s pH > 6 a adsorpcia týchto iónov je slabšia v porovnaní s nedisociovanými fenolmi. Vplyv pH na sorpciu PCP uvádzajú aj Jacobsen a spol.<sup>70</sup> Autori zistili, že lineárne sorpcné koeficienty pri sorpcii PCP na pôdu sú primárne ovplyvňované pôdnym pH.

Ďalší výrazný faktor, ktorý ovplyvňuje mobilitu PCP v pôdnom systéme, je množstvo a kvalita pôdnej organickej hmoty (POH). Choi a Aomine<sup>71</sup> uvádzajú, že pôdy bohaté na humus disponujú vyššou sorpciou PCP aj bez vplyvu pH. Aj ďalší autori uvádzajú podstatne vyššiu sorpciu chlóraromátov v pôdach s vysokým obsahom POH<sup>72,73</sup>. Interakcia chlóraromátov s POH môže byť charakterizovaná aj ako alternatívna metóda odstránenia organických kontaminantov zo životného prostredia. Podrieda fenolových oxidáz, známych ako katalázy, je schopná viazať xenobiotiká do humínových zlúčenín, prítomných v pôde. Inkorporácia chlórfenolov do polymérov je spôsob analogický procesu syntézy humusových látok z prirodzene sa vyskytujúcich fenolových zlúčenín a teda je možné, že xenobiotické fenoly môžu vytvárať kovalentné väzby s pôdnym humusom. Počas oxidačnej väzby dochádza aj k uvoľneniu chlóru z chlórofenolov<sup>74</sup> a dehalogenizácia je priamy dôkaz pre tvorbu kovalentných väzieb medzi chlórfenolmi a humínovými kyselinami počas enzymatickej kovalentnej reakcie<sup>75</sup>. Ako kovalentne viazané reziduá sú chlórfenoly silne imobilizované a stabilizované. Túto väzbu uvádzajú Dec a Bollag<sup>76</sup> pri účinnej detoxifikácii xenobiotík. Zistili, že až 78 % PCP viazaného v humínových kyselinách v ňom ostáva aj po mikrobiálnom ataku. V ďalšej štúdii títo autori uvádzajú, že mikrobiálne uvoľnenie PCP zo štruktúry humínových kyselin je minimálne.

Sorpcia chlóraromátov na flórové minerály je v porovnaní s organickou hmotou minimálna. Galil a Novak<sup>72</sup> zistili iba 2,6 až 19 %nú sorpciu PCP na flóvú frakciu v závislosti od pôdneho typu.

## 6. Bioremediačné technológie používané pri dekontaminácii PCP

Degradácia alebo deštrukcia PCP môže nastať spaľovaním, chemickou oxidáciou, fotooxidáciou alebo biologickou oxidáciou. Biologický rozklad PCP spôsobený enzýmovou aktivitou mikroorganizmov nazývame biodegradácia. Bioremediácia, ktorá využíva v remediaciích postupoch pri odstraňovaní kontaminantov z pôd, vôd a sedimentov mikroorganizmy a mikrobiálne procesy na rozklad kontaminantov, sa javí ako sľubná technológia, ktorá je ekonomickej a ekologickej alternatívou fyzikálno-chemickým procesom.

Biologické čistenie zložiek životného prostredia využíva genetickú diverzitu a metabolickú mnohostrannosť mikroorganizmov na transformáciu kontaminantov na menej škodlivé alebo neškodné produkty, ktoré sú potom integrované do prirodzených biogeochemických cyklov. Pochopenie ekológie, fiziologie a evolúcie degradujúcich mikroorganizmov je základnou podmienkou pre využívanie biologických postupov pri remediacii vôd, pôd a sedimentov.

V súčasnej dobe sú známe tri základné možnosti zvyšovania intenzity degradácie kontaminantov mikroorganizmami. Prvou z nich je biostimulácia prirodzenej pôdnej mikroflóry optimalizáciou podmienok prostredia prídavkom živín nevy-

hnutných pre prežitie (najčastejšie sa jedná o príavok dusíka a fosforu), vývoj a expresiu degradačnej schopnosti mikroorganizmov. Druhou možnosťou je bioaugmentácia, ktorej cieľom je posilnenie rozkladného potenciálu prostredia inokuláciou vhodnej kultúry degradujúcich mikroorganizmov. Treťou možnosťou je úprava molekuly kontaminantu tak, aby sa zvýšila jeho bioprístupnosť a znížila jeho odolnosť voči mikrobiálnemu ataku, čo je možné dosiahnuť fyzikálno-chemickými postupmi (napr. chemickou oxidáciou). Biologické technológie pre dekontamináciu zložiek životného prostredia sú založené na využívaní schopností mikroorganizmov spotrebovať kontaminujúce látky ako zdroje uhlíka a energie pre životné funkcie alebo ich transformáciu na iné zlúčeniny v prítomnosti kosubstrátu.

Mikroorganizmy atakujú kontaminanty jedným z troch spôsobov: 1. mineralizujú zlúčeninu priamo, čo značí konverziu zlúčeniny na neškodné anorganické zlúčeniny, napr. oxid uhličity a soli; 2. mineralizujú zlúčeninu len ako kometabolit, čo znamená, že mikroorganizmy vyžadujú ďalšie organické zlúčeniny pre rast alebo indukovanú tvorbu enzymov potrebných pre degradáciu cielenej zlúčeniny; a 3. konverziu zlúčeniny na inú zlúčeninu, ktorá však môže byť tiež toxicá a reakalitrantrá pre ďalšiu degradáciu.

Bioremediáciu možno definovať ako kontrolované použitie biodegradácie na odstránenie toxických chemikalií z pôdy a spodnej vody. Cieľom vedeckých tímov je nájsť mikroorganizmy, ktoré sú schopné metabolizovať (alebo prinajmenšom oxidovať) cielený kontaminant priamo na znečistenom mieste alebo v nadzemnom reaktore.

Faktory, ktoré ovplyvňujú úspešnosť bioremediácie možno sumarizovať nasledovne<sup>77–80</sup>: a) pôdna permeabilita, b) prísun kyslíka, c) koncentrácia a toxicita kontaminantov, d) koncentrácia a typy živín, e) pH, f) ďalšie organické zlúčeniny, g) mikroorganizmy, h) rezistencia k fažkým kovom, i) teplota.

Pravdepodobné príčiny neúspešnosti bioremediácie možno definovať nasledovne: a) koncentrácia polutantov v prírode môže byť natoľko nízka, že nestací na rast inokulovaného kmeňa, b) prirodzené prostredie môže obsahovať substancie, ktoré inhibujú rast alebo aktivitu pridávaného mikroorganizmu, c) rastová rýchlosť mikroorganizmu pri nízkych koncentráciách skúmanej látky môže byť nižšia ako rastová rýchlosť jeho prirodzených konkurentov, ktorí môžu znižovať počet buniek inokula, d) pridávané mikroorganizmy môžu využívať prednostne organické substráty nachádzajúce sa v pôde na úkor deštrukcie polutantu, e) mikroorganizmy môžu mať problémy s pohybom cez pôdne pôry do miest obsahujúcich polutant.

Výberu bioremediačnej metódy musí predchádzať dôkladné skúmanie distribúcie kontaminantu a jeho koncentrácie v pôde, stanovenie pôdných fyzikálnych, biologických a geologických parametrov danej lokality. Klúčovou úlohou je identifikácia prítomných kontaminantov, pretože pôdy kontaminované PCP často obsahujú aj ropné látky a/alebo komponenty kreozotózy. Mnohé z ropných látok sú prístupnejšie remediacii ako PCP, ale niektoré z vysokomolekulových polycyklických aromatických uhľovodíkov z kreozotózy sú značne odolné. Negatívny vplyv na rast a aktivitu bakteriálnych kmeňov a húb majú aj niektoré fažké kovy. Vysoká koncentrácia kontaminantov (u PCP > 1000 mg·kg<sup>-1</sup>) je zvyčajne toxicá pre väčšinu mikroorganizmov a bioremediácia nie je možná.

Pred začiatkom bioremediácie je potrebné poznať pôdne parametre (obsah ílovitej frakcie, obsah organickej zložky, porozitú, množstvo prítomných živín, kapacitu iónomeničov a pH) a biologické parametre (množstvo a typ prítomných mikroorganizmov, ich metabolickú aktivitu, akceptory vodíka, toxicitu a obsah kyslíka<sup>81,82</sup>). Ílovité pôdy sú fažšie prístupné remediacii vzhľadom na sorpciu PCP, znížený prístup vzduchu, vody a vytváranie zhľukov. Pre zlepšenie týchto charakteristík sa do ílovitých pôd pridáva organická hmota v podobe pilín alebo slamy. Odporúčané hodnoty najvýznamnejších enviromentálnych parametrov ovplyvňujúcich aeróbny mikrobiálny metabolismus sú uvedené v tabuľke II.

Charakteristika lokality pre bioremediáciu zahŕňa topografiu, hydrogeológiu (sklon svahu, záplavový potenciál, hĺbka spodnej vody a jej prietok, infiltráčny rozsah) a popis trojrozmernej distribúcie kontaminantu na danom mieste<sup>82</sup>. Laboratórne alebo pôdne predprípravné experimenty môžu dať odpoveď na otázku, či pôvodná mikroflóra je schopná degradovať PCP s príavkom alebo bez príavku živín, určiť polčas degradácie a potrebu bioaugmentácie. Problematike bioremediácie pentachlórfenolu, jeho transformáciu v pôde, v podzemných vodách, bioaugmentáciu a toxikologickým dopadom sa venujú detailne viaceré práce<sup>83–85</sup>. V rámci projektu „Potenciál degradácie organických polutantov“ Barančíkova<sup>86</sup> poukázala na rozdielny osud PCP vo vybraných najdôležitejších polnohospodársky obrábaných pôdach Slovenska, pričom sa zamerala na sledovanie rýchlosť rozkladu PCP v závislosti od rôznych pôdných typov a počiatočnej koncentrácie PCP, schopnosti sorpcie PCP na pôdne častice a huminnové kyseliny v závislosti od pH, obsahu a kvality humusu a príavku živín. Účinkom bioaugmentácie mikrobiálnym

#### Tabuľka II

Odporúčané hodnoty enviromentálnych parametrov ovplyvňujúcich aeróbny mikrobiálny metabolismus

Environmentálny parameter	Odporúčané hodnoty pre aeróbnu mikrobiálnu biodegradáciu <sup>82,88–90</sup>
Teplota	biodegradácia detegovaná už pri 0–10 °C najčastejšie v mezofilnom rozsahu 15–35 °C v termofilnom rozsahu 40–60 °C
Pôdna vlhkosť	40–70 % MKK <sup>a</sup>
Množstvo rozpusteného kyslíka	>0,2 mg·l <sup>-1</sup> , minimálne 10 % v pôdných pôroch
Živiny (C:N:P)	100–120:10:1
pH	6–8
Množstvo mikroorganizmov	1·10 <sup>3</sup> –1·10 <sup>7</sup> kolónií na 1 g pôdy 400 až 800 mV veľmi prevzdušné pôdy
Redox potenciál	–100 až 100 mV stredne prevzdušnené pôdy –300 až –100 mV redukované anaeróbne pôdy

<sup>a</sup> MKK – maximálna kapilárna kapacita – maximálne množstvo vody, ktoré je schopné pôda zadržať na jednotku objemu (%)

konzorciom adaptovaným na PCP a biostimuláciou anaeróbnej degradácie PCP v kontaminovaných pôdach sa zaoberá práca autorov Zou a spol.<sup>87</sup>

Všetky vyššie uvedené fyzikálne, chemické a biologické faktory určujú výber správnej bioremediačnej metódy, ktorý je vo veľkej miere ovplyvnený aj cenou a dosiahnutým stupňom vyčistenia. Odhadované náklady na vyčistenie 1 m<sup>3</sup> kontaminovanej pôdy rôznymi bioremediačnými metódami sú uvedené v tabuľke III.

**Tabuľka III**  
Odhadované náklady na vyčistenie 1 m<sup>3</sup> kontaminovanej pôdy rôznymi bioremediačnými metódami

Bioremediačná technológia <sup>82,91</sup>	Náklady na 1 m <sup>3</sup> pôdy [\\$]
Spaľovanie a transport	350–1600
Uskladnenie a transport	100–600
<i>In situ</i> landfarming	10–80
<i>Ex situ</i> landfarming	45–130
Kompostovanie	65–90
Pôdna hromada	65–130
Kalové hospodárstvo	104–195
Biovzdušnenie bez odstraňovania emisií	10–20
Biovzdušnenie s odstraňovaním emisií	52–78
Kropenie vzduchom	25–150

### 6.1. Čistenie pôdy

Jedná sa o modifikáciu fyzikálnych, chemických a biologických pôdných parametrov v záujme rozkladu nebezpečných odpadov na menej toxickej alebo netoxickej formu kontaminantu. Obrábanie pôdy (angl. landfarming) ako najpoužívanejší spôsob čistenia pôdy, predstavuje manipuláciu s pôdou pomocou klasických poľnohospodárskych operácií ako napr. preorávanie pôdy, zavlažovanie a príďavok živín.

Predprípravné fázy pre „landfarming“ zahŕňajú odstránenie vegetácie a kameňov, konštrukciu nepriepustnej bariéry okolo lokality (slúži na kontrolu vtoku a výtoku vody) a úpravu sklonu svahu na 1–2 % (stupeň klesania nesmie presiahnuť 5 %). Zachytávaný vodný výluh je zavlažovacím systémom privádzaný späť do kontaminovanej pôdy.

„Landfarming“ sa uskutočňuje *in situ* alebo *ex situ*. Pri *in situ* (priamo na mieste), „landfarming“ je potrebné zabrániť prieniku kontaminovanej pôdy a vody zo znečistenej lokality do prilahlých lokalít a vodných zdrojov. Táto metodika sa využíva v prípade nepriepustného ilovitého podložia kontaminovanej pôdy a nízkeho množstva zrážok. *Ex situ* (mimo kontaminovaného miesta – vyťaženie kontaminovanej zeminy a jej dekontaminácia v uzavretých priestoroch, odizolovaných od podložia) „landfarming“ je preferovanejší, pretože environmentálne parametre ako je vlhkosť a teplota sú ľahšie regulovateľné pre dosiahnutie optimálnej mikrobiálnej aktivity vďaka zastrešeniu čistenej lokality. Vo všeobecnosti je potrebné zdôrazniť, že „landfarming“ vyžaduje v porovnaní s ostatnými bioremediačnými metódami nižšie kapitálové náklady, náklady na prevádzku, údržbu a pracovnú silu. Technológia

,„landfarming“ bola úspešne odskúšaná na pôdy kontaminované PCP nielen v laboratórnych podmienkach, ale aj v praxi, napr. na vyčistenie územia v okolí Libby v štáte Montana. Hunling a spol.<sup>92</sup> monitorovali a dekontaminovali dané územie 60 dní. Pôdnu vlhkosť bola udržiavaná na 40–70 % MKK, živiny boli pridávané podľa potreby a vzhladom na poveternostné podmienky boli pokusné polička aspoň raz do týždňa preorávané. Koncentrácia PCP klesla za 60 dní zo 115 mg·kg<sup>-1</sup> na 45,9 mg·kg<sup>-1</sup>, čo predstavuje 60 % redukciu. Polčas rozkladu PCP bol 36 dní.

### 6.2. Kompstovanie

Kompostovanie je termofilný, diskontinuálny proces prebiehajúci *ex situ* za účelom zneškodňovania odpadov s vysokou koncentráciou biodegradovateľného organického uhlíka. Optimálne kompostovacie technológie maximalizujú termofilnú mikrobiálnu aktivitu za súčasného minimalizovania pachov. Pre dekontamináciu pôdy je dôležitý obsah organickej hmoty, dostupný ľahkovoľziteľný zdroj uhlíka a aerácia<sup>22,80</sup>. Prídavok ľahkovoľziteľného zdroja uhlíka (melasa, živočíšne hnojivo, odpad z rastlinnej a potravinárskej výroby) zvyšuje mikrobiálnu aktivitu, teplotu a kometabolickú degradáciu. Prídavok organickej hmoty, napr. drevných odrezkov, slamy, pilín alebo kôry zase pozitívne ovplyvňuje pôdnú porozitu, prevzdušnenie a znížuje pôdnú vlhkosť. Množstvo pridávanej organickej hmoty závisí od koncentrácie a zloženia prítomných kontaminantov. Degradácia kontaminantov technológiou kompostovania je funkciou vysokej teploty (40–60 °C), ktorá sa dosahuje vysokou mikrobiálnou aktivitou. Kompostovanie nad 60 °C vyúsťi v nadmerný zápac, redukciu mikrobiálnej diverzity a zníženie biologickej degradácie. Dôležitým parametrom je aj pôdná vlhkosť, ktorá by sa mala pohybovať medzi 50–60 % MKK, nad touto hodnotou sa už znížuje množstvo rozpusteného kyslíka<sup>90</sup>.

Kompostovanie môže prebiehať v rôznych systémoch. Kompostovanie v hromadách (angl. windrow composting) predstavuje otvorený systém, v ktorom je kompost rozložený v podlhovastých hromadách a mechanicky preorávaný kvôli prevzdušňaniu. Statické alebo vzdušnené hromady sú otvoreným systémom, v ktorom je aerácia dosahovaná umelým vzdušniacim distribučným systémom. V prípade potreby sú nebezpečné emisie zachytávané a prečistované. Kompostovanie v reaktoroch je prepracovaná inžinierska metóda, ktorá predstavuje uzavorený reaktorový systém. Vzdušnenie je dosahované sofistikovaným zmiešavacím príslušenstvom alebo kompresorovým ventilátorom. Pri použití technológie kompostovania v reaktoroch na zneškodenie zvlášť nebezpečných odpadov je reaktor vzduchotesne uzavretý a obsahuje kontrolný monitorovací systém emisií.

Všetky tri uvedené druhy kompostovania („windrow composting“, statické alebo vzdušnené hromady a kompostovanie v nádobách) sú v porovnaní s „landfarmingom“ menej náročné na priestor, avšak prevádzkové náklady sú vyššie v dôsledku nutnosti výkopových prác, prevozu a manipulácie s pôdou pri premiešavaní.

Dobrým príkladom použitia technológie kompostovania v hromadách je remediacia pôdy znečistenej chlórovanými fenolmi vo Fínsku<sup>93</sup>. Technická zmes pozostávajúca z PCP, 2,4,6-TCP a 2,3,4,6-TeCP obsahovala v stopových množstvach aj izoméry chlórfenolov a polychlórované polyoxyfe-

noly. Z kontaminovanej zeminy boli vytvorené na podloží z plastickej hmoty a vrstve štrku kompostovacie hromady objemu  $50 \text{ m}^3$  (6 m široké, 3 m vysoké a 50 m dlhé). Pomer pôdy ku pridávanej organickej hmote (drevná kôra a jaseňové piliny) bol 1,8:1 a zemina bola obohatená aj o živiny (16 % dusíka, 7 % fosforu a 3 % draslíka). Kompost bol raz do týždňa zavlažovaný a raz alebo dvakrát do roka preoraný. Počiatočná koncentrácia zmesi chlórfenolov sa pohybovala v rozpäti 200–300 mg.kg<sup>-1</sup>. Teplota vo vnútri hromady bola 5–15 °C nad teplotou okolia (priemerná teplota okolia v letných mesiacoch bola 32 °C a na jeseň 15 °C) Počas štyroch letných mesiacov prvého roku remediacie koncentrácia chlórovanyh fenolov poklesla z 212 mg.kg<sup>-1</sup> na 30 mg.kg<sup>-1</sup> a počas druhého obdobia sa znížila až na 15 mg.kg<sup>-1</sup>. Z uvedeného vyplýva 80% odstránenie znečistenia v priebehu štyroch mesiacov, pričom najrýchlejšie prebiehala degradácia počas prvých dvoch mesiacov.

### 6.3. Pôdne hromady

Technológia pôdnich hromád je diskontinuálny proces, prebiehajúci *ex situ*, čo značí, že pôda je vyťažená zo znečistenej lokality, premiešaná zo živinami a následne vzdušnená umelým aeračným systémom v záujme dosiahnutia biologickej degradácie prítomných kontaminantov<sup>82</sup>. Pôdne hromady sú veľmi podobné technológií vzdušneného kompostovania. Rozdiel spočíva vo vyšom obsahu organickej hmoty a termofilných teplotách využívaných pri metóde vzdušneného kompostovania. Použitie pôdnich hromád je rozšírené pre zneškodňovanie zvlášť prchavých kontaminantov, nakoľko umelý vzdušniaci systém umožňuje zachytávanie a prečisťovanie plynných emisií. Kyslík je dodávaný do pôdnich hromád dvomi spôsobmi: 1. vodou ako nosičom kyslíka, 2. rúrkovým vzdušniacim systémom.

V prvom prípade konštantný tok vody obsahuje živiny alebo inokulum. Výtok vody z ošetrovanej oblasti je cyklicky prečerpávaný vodným systémom späť do pôdnej hromady. Uvedená technológia, ktorá využíva vzdušniaci systém vody ako nosiča kyslíka, je rozmerovo limitovaná vzhľadom na rozpustnosť kyslíka vo vode a transport vody v systéme.

Pri druhom spôsobe vzdušnenia je pôda najskôr zmiešavaná so živinami a inokulom a následne vzdušnená rúrkovým systémom. Rúrky, zabudované v rôznych hľbkach, v závislosti od permeability pôdy a výšky pôdnej hromady, sú napojené na vakuovú pumpu alebo kompresor, ktoré do nich vháňajú vzduch. Odpadové plynné emisie sú v prípade potreby zachytávané a prečisťované. Rúrkový vzdušniaci systém je univerzálnejší, možno ho aplikovať na rozsiahlejšie územie a používa sa pri vyšších koncentráciách kontaminantov.

Bioremediačná technológia pôdnich hromád bola realizovaná pri čistení pôdy kontaminovanej KY-5 (surový produkt PCP) vo Fínsku. Pôda bola inokulovaná kmeňom *Phanerochete chrysosporium*, ktorý rástol niekoľko týždňov na zmesi slamy, pilín, drevných odrezkov a stromovej kôry pri 30 °C. Proces prebiehal bez premiešania zeminy, vzdušnenie bolo zabezpečené maximálne 5 h počas 24 h a to pri prietoku  $43 \text{ m}^3 \cdot \text{h}^{-1}$ . Koncentrácia znečistenia poklesla v štyroch pokusných políčkach nasledovne: za 18 mesiacov z 203 mg.kg<sup>-1</sup> na 28 mg.kg<sup>-1</sup>; za 18 mesiacov z 173 mg.kg<sup>-1</sup> na 12 mg.kg<sup>-1</sup>; za 9 mesiacov z 84 mg.kg<sup>-1</sup> na 10 mg.kg<sup>-1</sup>; za 9 mesiacov z 38 mg.kg<sup>-1</sup> na 9 mg.kg<sup>-1</sup> (cit.<sup>94</sup>).

### 6.4. Kalové hospodárstvo

Technológia kalového hospodárstva (angl. slurry treatment) je diskontinuálny proces prebiehajúci *ex situ*, ktorý zabezpečuje premiešanie vyťaženej pôdy s vodou v nádobe reaktora alebo v murovanom kalojeme za účelom biologickej degradácie kontaminantov. Cieľom kalového hospodárstva je remediacia pôdy a zníženie objemu tuhého odpadu. Daná technológia zahŕňa vyťaženie pôdy zo znečistenej oblasti, odstránenie väčších mechanických nečistôt, tvorbu kalu premiešaním ošetrovanej pôdy s vodou, aplikáciu biologických postupov a odvodnenie kalu.

Pri kalovom hospodárstve často dochádza k rýchlejšej degradácii v porovnaní s bezvodnými remediacnými technológiami. Nevýhodou sú zvýšené prevádzkové náklady spôsobené prídavnými technologickými krokmi, zvýšené náklady na energiu a tvorba sekundárneho odpadu, ktorý vyžaduje ďalšie spracovanie. Vyžaduje sa aj monitorovanie plynných emisií.

V prípade aplikácie danej technológie v podmienkach *in situ* sa častejšie využíva murovaný kalojem, ktorý však nezabezpečuje rovnomenné premiešavanie a vzdušnenie. Tieto nevýhody sa minimalizujú pri použití kontajnerového reaktora v *ex situ* podmienkach. Komponenty kontajnerového reaktora (zmiešavací tank, fluidizovaná vrstva a vzdúvadlo) umožňujú ľahšiu kontrolu dôležitých biologických parametrov<sup>95,96</sup>.

Viaceré vedecké pracoviská venujú pozornosť bioremediačnej technológií kalového hospodárstva. Mueller a spol.<sup>97</sup> zrealizovali 30-dňový experiment s pôdou kontaminovanou PCP v 1,5 l bioreaktore. Teplota sa udržiava na 28,5 °C, množstvo rozpusteného kyslíka na 90 % a pH na hodnote 7. Autori zaznamenali len mierny pokles koncentrácie PCP z 821 mg.kg<sup>-1</sup> na 734 mg.kg<sup>-1</sup>. Kvôli akcelerácii biologického rozkladu bola následne študovaná inokulácia mikroorganizmov *Flavobacterium* ATCC 53874 a *Rhodococcus chlorophenolicus* DSM 43826 do kalu<sup>98</sup>.

### 6.5. Biovzdušnenie a kropenie vzduchom

Bioremediačné technológie biovzdušnenia a kropenia vzduchom využívajú umelé vzdušnenie na zvýšenie koncentrácie kyslíka v pôde pre stimuláciu mikrobiálnej degradácie kontaminantov pôvodnou pôdnou mikroflórou. Keďže vo vzduchu je vyšší obsah kyslíka v porovnaní s množstvom kyslíka rozpusteným vo vode, aj mierne vstrekanie vzduchu je efektívnejšie než vháňanie vody ako nosiča kyslíka.

Cieľom biovzdušnenia je zvýšiť biodegradáciu s využitím nižšieho prietoku vzduchu v nesaturovanej pôde, aby nedochádzalo k úniku prchavých zložiek kontaminantu. Kropenie vzduchom sa používa na presun prchavých kontaminantov zo saturovanej zóny do nesaturovanej a na zvýšenie biodegradácie zvýšenou hladinou rozpusteného kyslíka. V porovnaní s metódou biovzdušnenia si kropenie vzduchom vyžaduje zvýšený prietok vzduchu<sup>82</sup>.

### 6.6. Bioaugmentácia

Bioaugmentácia je pridávanie, teda inokulácia allochtoných mikroorganizmov (laboratórne selektovaných), alebo autochtonných mikroorganizmov (pôvodné mikrobiálne kon-

zorcium) pomnožených v laboratórnom reaktore, do znečistenej pôdy v snahe zrýchliť a zvýšiť efektivitu bioremediačného procesu.

Vo väčšine prípadov je koncentrácia autochtónnej mikroflóry na mieste znečistenia dostatočná pre kompletnú biodegradáciu. V prípadoch, kedy bola pôda dlhodobo znečistená, ako je to u väčších pôd kontaminovaných PCP, sa pôvodná mikroflóra dokáže adaptovať na prítomnosť daného kontaminantu a možno predpokladať výskyt mikrobiálnych druhov s degradačnou schopnosťou. Mnohé zo znečistených lokalít vyžadujú len optimalizáciu fyzikálnych a chemických parametrov (napr. prídavok živín, organickej hmoty, kyslíka, úpravu pH) na stimuláciu a zvýšenie intenzity degradácie pôvodnej mikrobiálnej populáciu<sup>99</sup>. V prípade piesčitých pôd s nízkou koncentráciou prirodzených pôdných mikroorganizmov je pravdepodobné, že degradačná schopnosť bude nedostatočná. Efektívnu bioaugmentáciu je možné očakávať a odporúča sa predovšetkým v týchto prípadoch: 1. ak koncentrácia pôvodnej mikrobiálnej populácie je extrémne nízka, 2. ak čas aklimatizácie pôvodnej mikroflóry po prídavku živín je extrémne dlhý, 3. v prítomnosti extrémne odolného – ťažkorozložiteľného polutantu, 4. ak pôdný systém neobsahuje dostatočnú koncentráciu pôvodnej mikroflóry, 5. pri kontrolovaných *ex situ* bioremediačných metódach<sup>100</sup>.

Najväčším problémom bioaugmentácie je prežívanie inkulovanej mikroflóry, nakoľko pridané mikroorganizmy musia súťažiť s prirodzenou populáciou o živiny, priestor a kyslík v neznámom prostredí, čo je pre vnesené mikroorganizmy často stresujúce. Nevyhnutnými podmienkami úspešnej bioaugmentácie je transport inkulovaných mikroorganizmov na kontaminované miesto, ich prežitie, kolonizácia v danom prostredí, prípadne ich pomnoženie, expresia génov kódujúcich degradačné enzýmy a udržanie si degradačnej aktivity. Schopnosť mikroorganizmov metabolizovať danú látku je sice nevyhnutná, nie však postačujúca podmienka pre jej účinné odstránenie z nesterilného prostredia. Selekcia mikroorganizmov by mala byť zameraná v prvom rade na schopnosť prežiť v danom prostredí, a až sekundárne na jeho degradačné schopnosti. Mikroorganizmus by sa mal izolovať pri nízkej koncentráции substrátu a anorganických živín. Taktôž získaný kmeň by mohol mať väčšiu šancu na úspech ako mikroorganizmus so sice veľkou degradačnou schopnosťou, no neschopný prispôsobiť sa náročným podmienkam v pôde<sup>101</sup>.

Prvýkrát použili technológiu bioaugmentácie na dekontamináciu PCP Edgehill a Finn<sup>102,103</sup>. Pomocou bakteriálneho kmeňa *Arthrobacter* sp. ( $1.10^6$  kolónií na 1 g pôdy) znížili polčas rozkladu PCP z dvoch týždňov na menej ako 1 deň. Neskoršie štúdie ukázali, že *Arthrobacter* sp. degraduje PCP v kvapalných médiách až do koncentrácie  $350 \text{ mg.l}^{-1}$ , ale pri vyšších koncentráciách dochádza už len k parciálnej degradácii. Inkulácia buniek *Arthrobacter* sp. ( $4.10^7$  na 1 g pôdy) vyústila za jeden mesiac do kompletnej mineralizácie PCP.

## 7. Génové inžinierstvo

Génové inžinierstvo, modifikácia genetických vlastností organizmov pomocou rekombinantnej DNA technológie, sa javí ako určitá možnosť pre vývoj výnímočných mikroorganizmov so zvýšenými biodegraďacými schopnosťami. Klúčové enzýmy zodpovedné za počiatočnú degradáciu PCP (ako

sú LiP, MnP a PCP-4-monoxygenáza) sú intenzívne študované na molekulárnej úrovni. Genetické zmeny týchto enzýmov umožňujú produkovať mikroorganizmy s vyššou hladinou enzýmových aktivít, so širšou substrátovou špecifitou, vyššou toleranciou na environmentálny stres a prítomnosť ťažkých kovov. Monoxygenázový gén, *pcpB* z *Flavobacterium* sp. ATCC 39723, bol klonovaný a exprimovaný do *Escherichia coli*<sup>104</sup>. Tento gén kóduje PCP-4-monoxygenázu, ktorá katalyzuje konverziu PCP na 2,3,5,6-TeCHQ (tetrachlórhydrochinón). V dôsledku širokej substrátovej špecifity môže byť tento gén dobrým kandidátom pre geneticky zvýšenú biodegradáciu v kontaminovanom prostredí.

Génové modifikácie sa používajú aj na tvorbu biolumincentných reportérnych génov. Inkorporácia bakteriálneho luciferázového génu (*lux*) spôsobuje svietkovanie baktérií v prítomnosti biopristupných kontaminantov<sup>105</sup>. Tieto reportérne gény sa používajú na dôkaz indukcie a potenciálu biodegradácie kontaminantov a na určenie prítomnosti a počtu degradujúcich mikroorganizmov v danom systéme.

Vývoj tzv. „super“ mikroorganizmov je sice možný, ale aplikovateľnosť týchto organizmov je ešte stále otázna. Jednak z hľadiska legislatívy, jednak ohľadne verejnej mienky na účinok týchto mikroorganizmov na prirodzenú mikrobiálnu ekológiu. Je známe, že po ich pridaní do pôdy môže dôjsť k potlačeniu pôvodnej pôdnej mikroflóry a to má ďalší dopad na prirodzenú rovnováhu daného pôdneho ekosystému. Je preto potrebné posúdiť úžitok, ktorý tieto vnesené organizmy prinesú. Na druhej strane, odstraňovanie kontaminantov má tiež pozitívny efekt pre daný ekosystém. V súčasnosti je použitie geneticky modifikovaných mikroorganizmov limitované do laboratórií a uzavorených systémov. Pri pôdnich aplikáciach týchto mikroorganizmov bude potrebné v budúcnosti zvažovať riziko ich uvoľnenia do prostredia oproti účelnosti a potrebnosti odstránenia kontaminantov<sup>105,106</sup>.

## 8. Limitácie a možnosti bioremediačných technológií

Aj keď bioremediačné technológie predstavujú sľubnú variantu znižovania koncentrácie resp. odstraňovania kontaminantov, predovšetkým v kombinácii s inými technológiami, je potrebné spomenúť aj faktory, ktoré ich efektívnosť a úspešnosť znižujú. Faktory limitujúce remediačné technológie možno stručne zosumarizovať nasledovne: mikrobiálne (rast, mutácia a horizontálny génový transfer, enzýmová indukcia, vnesenie vhodnej mikrobiálnej populácie), environmentálne (vyčerpanie preferenčných substrátov, nedostatok živín, inhibičné environmentálne podmienky), substrát (príliš nízka koncentrácia, chemická štruktúra, toxicita kontaminantov a rozpustnosť kontaminantov), biologické aeróbne vs. anaeróbne procesy (oxidačný/redukčný potenciál, dostupnosť elektrónových akceptorov, prítomnosť mikrobiálnej populácie), rastový substrát vs. kometabolizmus (typ kontaminantu, koncentrácia, prítomnosť alternatívneho zdroja uhlíka mikrobiálne interakcie), fyzikálno-chemická biopristupnosť polutantov (sorpčná rovnováha, irreverzibilná sorpcia, inkorporácia do humílovej hmoty) a limitácie transferu hmoty (difúzia a rozpustnosť kyslíka, difúzia živín, rozpustnosť/miešateľnosť vo vode/s vodou). Detailnejšie sa limitáciemi bioremediácií zaoberať viaceré práce<sup>107,108</sup>.

## 9. Záver

Pri remediacii hydrofóbnych kontaminantov z pôd, spodných vôd a bioodpadov je možné uvažovať aj s niektorými ďalšími novelizovanými prístupmi v environmentálnom remediačnom výskume, a to s využitím i iných organizmov ako baktérií. Jedná sa o fytoremediáciu (použitie rastlín), rhizoremediáciu (využitie koreňových systémov rastlín s bakteriálou mikroflórou) a použitie vyšších húb (mycélií). Tieto systémy umožňujú akumuláciu kontaminantov v tele rastliny alebo ich zabudovanie do rastlinných štruktúr vo forme nefytotoxicických metabolítov (čo však nemusí vždy znamenáť netoxicke pre človeka), prípadne do mycélia húb, ale aj transformáciu organických zlúčenín pomocou koreňového systému (angl. hairy roots) alebo lignín- a mangánperoxydázového enýmového systému mycélia vyšších húb<sup>109–111</sup>. Fytoremediácia sa najlepšie uplatňuje v miestach s povrchovým znečistením a bolo zistené, že je účinná predovšetkým pre hydrofóbne polutanty ako sú benzén, toluén, etylbenzén, xylén, chlórované xenobiotiká typu chlórovany bifenylov i fenolov, nitrozlúčeniny alebo nitrotoluénové škodliviny. Pri fytodekontaminácii, keď rastliny akumulujú kontaminanty v tkanicích, sú tieto po zbere uložené na skládkach, spracované chemicky a termálne. Fytostabilizácia je postup, ktorý je možné využiť pri zaistení a príprave kontaminovanej oblasti pred dekontamináciou alebo pri regulácii prietoku kontaminovanej podzemnej vody pôdnym sedimentom a pri jej zadržovaní v problémovej oblasti. Pozornosť sa teda obracia pri dekontaminačných technológiách (predovšetkým pri *in situ* postupoch) viac na prirodzené procesy, ktoré rešpektujú prírodnú rovnováhu a najmenej ju nerušajú.

## LITERATÚRA

- Cirelli D. P., v knihe: *Pentachlorophenol: Chemistry, Pharmacology and Environmental Toxicology* (Rao K. R., ed.), str. 13. Plenum Press, New York 1978.
- Kobayashi K., v knihe: *Pentachlorophenol: Chemistry, Pharmacology and Environmental Toxicology* (Rao K. R., ed.), str. 89. Plenum Press, New York 1978.
- Nilsson C. A., Norstrom A., Andersson K., Rappe C., v knihe: *Pentachlorophenol: Chemistry, Pharmacology and Environmental Toxicology* (Rao K. R., ed.), str. 313. Plenum Press, New York 1978.
- Jokela J. K., Laine M., Salkinoja-Salonen M.: Environ. Sci. Technol. 27, 5478 (1993).
- Detrick R. S.: For. Prod. J. 27, 13 (1977).
- Ahling B., Lindskog A., v knihe: *Chlorinated Dioxins and Related Compounds* (Hutzinger O., Frei R. W., Meirian E., Pocchiari F., ed.), str. 215. Pergamon Press, Oxford 1982.
- Paasivirta J., Heinola K., Humppi T., Karjalainen K., Knuutinen J., Mäntykoski K., Paukku R., Piilola T., Surma-Aho K., Tarhanen J., Welling L., Vihonen H., Särkkä J.: Chemosphere 14, 469 (1985).
- Salkinija-Salonen M. S., Valo R., Apajalahti J., Hakulinen R., Silakoski L., Jaakkola T.: *3rd International Symposium on Microbial Ecology: Current Perspectives in Microbial Ecology, American Society for Microbiology, Washington D.C. 1983*. Proceedings (Klug M. J., Reddy C. A., ed.), str. 668.
- Berger R. S.: Science 177, 704 (1972).
- McDowell P. G., Waladde S. M.: J. Chem. Ecol. 12, 69 (1986).
- Muir J., Eduljee G.: Sci. Total Environ. 236, 41 (1999).
- Zheng M., Zheng B., Bao Z., Yang H., Xu X.: Bull. Environ. Contam. Toxicol. 64, 16 (2000).
- Autenrieth R. L., Bonner J. S.: J. Hazard. Mater. 28, 29 (1991).
- Goldman L. R., Harnly M., Flattery J., Patterson D. G. Jr., Needham L. L.: Environ. Health Perspect. 108, 13 (2000).
- U.S. EPA, *Report of the Ad Hoc Study Group on Pentachlorophenol Contaminants*, Environmental Health Advisory Committee, Science Advisory Board, Washington D.C. 1978.
- Crosby D. G.: Pure Appl. Chem. 53, 1051 (1981).
- Verschueren K., v knihe: *Handbook of Environmental Data on Organic Chemicals*. Van Nostrand Reinhold, New York 1983.
- Simonich S. L., Hites R. A.: Environ. Sci. Technol. 29, 2905 (1995).
- Vestník Ministerstva Pôdohospodárstva Slovenskej republiky, *Rozhodnutie o najvyšších prípustných hodnotách škodlivých látok v pôde a o určení organizácií oprávnených zisťovať skutočné hodnoty týchto látok*, 531/1994-540, str. 3, 1994.
- McAllister K. A., Lee Hung, Trevors J. T.: Biodegradation 7, 1 (1996).
- Yu J., Ward O. P.: Int. Biodeterior. Biodegrad. 1996, 181.
- Häggblom M., Valo R. J., v knihe: *Microbial Transformation and Degradation of Toxic Organic Chemicals* (Young L., Cerniglia C., ed.), str. 389. Wiley-Liss. Inc., New York 1995.
- van Schie P. M., Young L. Y.: Bioremed. J. 4, 1 (2000).
- Neilson A. H.: J. Appl. Bacteriol. 69, 445 (1990).
- Katayama-Hirama K., Tobita S., Hirayama K.: J. Gen. Appl. Microbiol. 38, 497 (1992).
- London K. L., Fedorak P. M.: Can. J. Microbiol. 38, 1 (1992).
- Ambujon S., Manillan V. B.: Biotechnol. Lett. 17, 443 (1995).
- Kramer C. M., Kory M. M.: Can. J. Microbiol. 38, 34 (1992).
- Knoll G., Winter J.: Appl. Microbiol. Biotechnol. 30, 318 (1989).
- Mohn W. W., Kennedy K. J.: Appl. Environ. Microbiol. 58, 2131 (1992).
- Mohn W. W., Kennedy K. J.: Appl. Environ. Microbiol. 58, 1367 (1992).
- Wittmann C., Zeng A. P., Deckwer W. D.: J. Ind. Microbiol. Technol. 21, 315 (1998).
- Männistö M. K., Tiirola M. S., Puukka J. A.: *4th International Symposium on Environmental Biotechnology, Noordwijkerhout 2000*. Proceedings (Hartmans S., Lens P., ed.), str. 174.
- Katayama-Hirama K., Tobita S., Hirayama K.: J. Gen. Appl. Microbiol. 37, 147 (1991).
- Katayama-Hirama K., Tobita S., Hirayama K.: J. Gen. Appl. Microbiol. 37, 379 (1991).
- Anselmo A. M., Cabral J. M. S., Novais J. M.: Appl. Microbiol. Biotechnol. 31, 200 (1989).

37. Gajendiran N., Mahadevan M.: Indian J. Exp. Biol. 28, 1136 (1990).
38. Čejková A., Masák J., Jirků V., Strnad R., Siglová M., Fialová A.: *4<sup>th</sup> International Symposium on Environmental Biotechnology, Noordwijkerhout 2000*. Proceedings (Hartmans S., Lens P., ed.), str. 504.
39. Aiken B. S., Logan B. E.: Biodegradation 7, 175 (1996).
40. Tuomela M., Lyytikäinen M., Oivanen P., Hataka A.: Soil Biol. Biochem. 31, 65 (1999).
41. Ohtsubo Y., Miyauchi K., Kanda K., Hatta T., Kiyohara H., Senda T., Nagata Y., Mitsui Y., Takagi M.: FEBS Lett. 459, 395 (1999).
42. Xun L., Bohuslavek J., Cai M.: Biochem. Biophys. Res. Commun. 266, 322 (1999).
43. Xu L., Resing K., Lawson S. L., Babbitt P. C., Copley S. D.: Biochemistry 38, 7659 (1999).
44. Saboo V. M., Gealt M. A.: Can. J. Microbiol. 44, 667 (1998).
45. van de Pas B. A., Smidt H., Hagen W. R., van der Ost J., Schraa G., Stams A. J., de Vos W. M.: J. Biol. Chem. 274, 20287 (1999).
46. Lo K. V., Zhu C. M., Cheuk W.: Environ. Technol. 19, 91 (1998).
47. Lücking F., Köser H., Jank M., Ritter A.: Water Res. 32, 2607 (1998).
48. Dercó J., Gulyásová A., Horňák M.: Chem. Pap. 56, 41 (2002).
49. Schmidt L., Delfino J. J., Preston J. F., St. Lauren J. III.: Chemosphere 38, 2897 (1999).
50. Ide A., Niki Y., Sakamoto F., Watanabe I., Watanabe H.: Agric. Biol. Chem. 36, 1937 (1972).
51. Kuwatsuka S., Igarashi M.: Soil Sci. Plant Nutr. 21, 405 (1975).
52. Murthy N. B. K., Kaufmann D. D., Fries G. F.: J. Environ. Sci. Health 14, 1 (1979).
53. Boyd S. A., Shelton D. R.: Appl. Environ. Microbiol. 47, 272 (1984).
54. Hale D. D., Rogers J. E., Wiegel J.: Environ. Toxicol. Chem. 10, 1255 (1991).
55. Hruday S. E., Knottig E., Fedorak P. M., Daignault S. A.: Water Pollut. Res. J. Can. 22, 427 (1987).
56. Kohring G. W., Zhang X., Wiegel J.: Appl. Environ. Microbiol. 55, 2735 (1989).
57. Suflita J. M., Miller G. D.: Environ. Toxicol. Chem. 4, 751 (1985).
58. Zhang X., Wiegel J.: Appl. Environ. Microbiol. 56, 1119 (1990).
59. Abrahamsson K., Klick S.: Mar. Pollut. Bull. 22, 227 (1991).
60. Mikesell M. D., Boyd S.: J. Environ. Q. 14, 337 (1985).
61. Mikesell M. D., Boyd S.: Environ. Sci. Technol. 22, 1411 (1988).
62. Nicholson D. K., Woods S. L., Istok J. D., Peek D. C.: Appl. Environ. Microbiol. 58, 2280 (1992).
63. Armenante P. M., Kafkewitz D., Lewandowski G., Kung C. M.: Environ. Prog. 11, 113 (1992).
64. Larsen S., Hendriksen H. V., Ahring B. K.: Appl. Environ. Microbiol. 57, 2085 (1991).
65. Madsen T., Aamand J.: Appl. Environ. Microbiol. 57, 2453 (1991).
66. Augustijn-Beckers P. E. M., Hornsky A. G., Wau-Choje R. D., v knihe: *Review of Environmental Contamination and Toxicology* (Ware G. W., ed.), str. 144. Springer-Verlag, New York 1994.
67. Lagas P.: Chemosphere 17, 205 (1988).
68. Rapaport R. A., Eisenreich S. J.: Environ. Sci. Technol. 18, 163 (1984).
69. Choi J., Aomine S.: Soil Sci. Plant Nutr. 20, 135 (1974).
70. Jacobsen B. N., Arain E., Reiders M.: Water Res. 39, 13 (1996).
71. Choi J., Aomine S.: Soil Sci. Plant Nutr. 18, 255 (1972).
72. Gestel van C. A. M., Adema D. M. M., Dirven-van Breemen E. M.: Water, Air, Soil Pollut. 88, 119 (1997).
73. Galil M. I., Novak J. T.: Water Res. 29, 1553 (1995).
74. Dec J., Bollag J. M., v knihe: *Bioremediation through Rhizosphere Technology* (Anderson T. A., Coats J. R., ed.), ACS Symposium Series 563, str. 102. American Chemical Society, Washington 1994.
75. Dec J., Bolag J. M.: Environ. Sci. Technol. 28, 484 (1994).
76. Dec J., Bollag J. M.: Soil Sci. Soc. Am. J. 52, 1366 (1988).
77. Bennet G. F., Olmstead K. P.: Chem. Br. 2, 133 (1992).
78. Mueller J., Pritchard H., Tischuk M., Bourman M., Swallow P., Tabe M., Smith J., v knihe: *Novel Approaches for Bioremediation of Organic Pollution*, str. 1. Eilat 1998.
79. Laine M. M., Jorgensen, K. S.: Appl. Environ. Microbiol. 62, 1507 (1996).
80. Laine M. M., Jorgensen, K. S.: Environ. Sci. Technol. 31, 371 (1997).
81. Sims J. L., Sims R. C., Matthews J. E.: *Bioremediation of Contaminated Surface Soils*, EPA /600/9-89/073. Ada 1989.
82. Anderson W. C.: *Innovative Site Remediation Technology, Vol. 1, Bioremediation*. American Academy of Environmental Engineers, Annapolis 1995.
83. Otte M. P., Gagnon J., Comeau Y., Matte N., Greer Ch. W., Samson R.: Appl. Microbiol. Biotechnol. 40, 926 (1994).
84. Barbeau C., Deschenes L., Karamanev D., Comeau Y., Samson R.: Appl. Microbiol. Biotechnol. 48, 745 (1997).
85. McGrath R., Singleton I.: Soil Biol. Biochem. 32, 1311 (2000).
86. Barančíková G.: *Novel Aproaches for Bioremediation of Organic Pollution*, Izrael 1998. Zborník abstraktov, str. 4P.
87. Zou S., Anders K. M., Ferguson J. F.: Bioremed. J. 4, 19 (2000).
88. Jahan K., Maier W. J.: *47<sup>th</sup> Purdue Industrial Waste Conference Proceeding, Chelsea, Mass 1992*. Zborník abstraktov, str. 177.
89. Pope D. F., Matthews J. E., v správe: *Bioremediation Using the Land Treatment Concept*, EPA/600/R-93/164, str. 1. Ada 1993.
90. Cookson Jr., J. T., v knihe: *Bioremediation Engineering Design and Application*, str. 18. McGraw-Hill, New York 1995.
91. Leahy M., Brown R.: Chem. Eng. 101, 108 (1994).
92. Hunling S. G., Pope D. F., Matthews J. E., Sims J. L., Sims R. C., Sorenson D. L., v knihe: *Wood Bioremediation of Recalcitrant Organics* (Hinchee R. E., Anderson D. B., Hoeppl R. E., ed.), str. 101. Battelle Press, Columbus 1995.

93. Valo R., Salkinoja-Salonen M.: *Appl. Microbiol. Biotechnol.* 25, 68 (1986).
94. Holroyd M. L., Caunt P., v knihe: *Bioaugmentation for Site Remediation* (Hinchee R. E., Fredrickson J., Alleman B. C., ed.), str. 181. Battelle Press, Columbus 1995.
95. Glaser J. A., Tzeng J. J.-W., McCauley P. T., v knihe: *Biological Processes for Hazardous Waste Treatment* (Hinchee R. E., Skeen R. S., Sayles G. D., ed.), str. 145. Battelle Press, Columbus 1995.
96. U.S. EPA, *Slurry Biodegradation, EPA/540/2-90/016*, str. 1. Cincinnati 1990.
97. Mueller J. G., Lantz S. E., Blattmann B. O., Chapman P. J.: *Environ. Sci. Technol.* 25, 1055 (1991).
98. McBain A., Cui F., Herbert L., Ruddick J. N. R.: *Biodegradation* 6, 46 (1995).
99. Baker K. H., Herson D. S.: *Bioremediation*. McGraw-Hill, New York (1994).
100. Alexander M., v knihe: *Biodegradation and Bioremediation*, str. 226. Academic Press, San Diego 1994.
101. Pritchard P.H.: *Curr. Opin. Biotechnol.* 3, 232 (1992).
102. Edgehill R. U., Finn R. K.: *Appl. Environ. Microbiol.* 45, 1122 (1983).
103. Edgehill R. U., v knihe: *Bioaugmentation for Site Remediation* (Hinchee R. E., Fredrickson J., Alleman B. C., ed.), str. 85. Battelle Press, Columbus 1995.
104. Orser C. S., Lange C. C., Xun L., Zahrt T. C., Schneider B. J.: *J. Bacteriol.* 175, 5487 (1993).
105. Ensley B. D., DeFlaun M. F., v knihe: *The Microbial Ecology and Physiology of Aryl Dehalogenation Reactions and Implications for Bioremediation* (Young L. Y., Cerniglia C. E., ed.), str. 603. Wiley-Liss, New York 1995.
106. Menn F. M., Easter J. P., Sayler G. S., v knihe: *Biotechnology, Vol. 11b Environmental Processes* (Klein J., ed.), str. 441. Wiley-Verlag, Weinheim 2000.
107. Boopathy R.: *Bioresour. Technol.* 74, 63 (2000).
108. Klein J., v knihe: *Biotechnology, Vol. 11b Environmental Processes* (Klein J., ed.), str. 465. Wiley-Verlag, Weinheim 2000.
109. Pletsch M., de Araujo S., Charlwood B. V.: *Biotechnol. Adv.* 17, 679 (1999).
110. Schnoor J. L., v knihe: *Biotechnology, Vol. 11b Environmental Processes* (Klein J., ed.), str. 371. Wiley-Verlag, Weinheim 2000.
111. Wenzel W. W., Adriano D. C., Salt D., Smith R., v knihe: *Bioremediation of Contaminated Soil* (Kral D. M., ed.), str. 457. American Society of Agronomy, Wisconsin 1999.

**K. Dercová<sup>a</sup>, Z. Kyselová<sup>a</sup>, G. Barančíková<sup>b</sup>, Z. Sejáková<sup>a</sup>, and A. Maľová<sup>a</sup>** (<sup>a</sup>Department of Biochemical Technology, Slovak University od Technology, Bratislava, <sup>b</sup>Research Institute for Soil Science and Conservation, Prešov, Slovak Republic): **Biodegradation and Bioremediation of Pentachlorophenol**

Pentachlorophenol (PCP) has been widely used in a number of industrial applications. As a consequence and due to its stability, it has become a widespread contaminant in soil, sediments and landfills. Because classic remediation technologies (such as incineration) are generally non-ecological and uneconomical, alternative methods involving biodegradation by microbial populations have been developed. The two known pathways of biodegradation (oxidative and reductive) as well as factors affecting PCP degradation by microbial strains are reviewed here. The proposed bioremediation strategies and those recently developed are outlined.

# ELEKTROCHEMICKÉ BIOSENZORY V ANALÝZE ZEMĚDĚLSKÝCH PRODUKTŮ A VZORKŮ ŽIVOTNÍHO PROSTŘEDÍ

**RENÉ KIZEK<sup>a</sup>, JAN VACEK<sup>a,b</sup>,  
LIBUŠE TRNKOVÁ<sup>c</sup>, BOŘIVOJ KLEJDUS<sup>a</sup>  
a VLASTIMIL KUBÁŇ<sup>a</sup>**

<sup>a</sup>Ústav chemie a biochemie a <sup>b</sup>Ústav botaniky a fyziologie rostlin, Agronomická fakulta, Mendelova zemědělská a lesnická univerzita, Zemědělská 1, 613 00 Brno, <sup>c</sup>Katedra teoretické a fyzikální chemie, Přírodovědecká fakulta, Masarykova univerzita, Kotlářská 2, 611 37 Brno  
e-mail: kuban@mendelu.cz

Došlo 20.3.03, přepracováno 29.5.03, přijato 18.6.03.

**Klíčová slova:** elektrochemické biosenzory, DNA-biosenzory, enzymové a uhlíkové elektrody, avidin-biotinová technologie, pesticidy, polutanty, zemědělská kontrola, životní prostředí

## Obsah

1. Úvod
2. Biosenzory
  - 2.1. Dělení a principy
  - 2.2. Elektrochemické biosenzory
  - 2.3. Biosenzory na bázi imobilizovaných činidel
3. Závěr

## 1. Úvod

Analytická elektrochemie je obsáhlou a rychle se vyvíjící vědní disciplínou, která nachází své uplatnění v oblasti sledování znečištění životního prostředí. Zemědělství je prostředek k získávání potravy a analýzy škodlivých látek na vstupu a následně v jeho produktech jsou prvořadým úkolem pro udržení kvality lidského zdraví<sup>1</sup>. Naproti tomu je právě zemědělská činnost příčinou kontaminace biosféry a metody analýzy znečištění jednotlivých složek životního prostředí jsou prostředkem, jak sledovat a následně regulovat koncentrace škodlivin. Jednou z možných alternativ kvalitativní i kvantitativní chemické analýzy v zemědělské praxi a v oblasti kontroly kvality životního prostředí je použití biosenzorů.

## 2. Biosenzory

Technologie biosenzorů dnes nachází uplatnění v klinické diagnostice, genomice a proteomice, ochraně životního prostředí, průmyslové výrobě a obecném studiu biologických procesů v případech, kdy klasická laboratorní analytická technika selhává z důvodů malé citlivosti, vysokých provozních nákladů,

dů, vysoké spotřeby vzorků, nepřípustných zásahů do dynamické rovnováhy studovaných systémů či jiných důvodů. V tomto krátkém přehledu je pojednáno o využití potenciometrických a amperometrických biosenzorů pro chemické analýzy v zemědělské praxi a při kontrole kvality životního prostředí. Cílem textu není podat vyčerpávající přehled, ale naopak seznámit čtenáře s nejnovějšími trendy a přístupy, které byly nedávno publikovány.

Diskutovány jsou možnosti využití elektrochemických biosenzorů pro stanovení toxicických látek jako jsou těžké kovy, pesticidní přípravky a některé organické polutanty, např. polychlorované bifenyly, akradinové deriváty a látky fenolické povahy. S ohledem na využití moderních technologií pro stanovení specifických sekvencí RNA nebo DNA je část textu věnována nejnovějšímu elektrochemickému trendům DNA-hybridizace a enzymatické modifikace (avidin-biotinová technologie) pevných uhlíkových elektrod. Takovéto možnosti stanovení specifické nukleové kyseliny zemědělských škůdců nebo patogenních organismů, popřípadě stanovení jednotlivých proteinů v proteomové výbavě organismů, představují jednu z hlavních předností pevných elektrod modifikovaných nukleovými kyselinami nebo proteiny. V souvislosti s DNA imobilizovanou na povrchu indikační elektrody je také uvedena možnost využití elektrochemických biosenzorů pro stanovení poškozené DNA, což by mohlo mít značný význam pro studium genotoxicických vlivů škodlivin na organismy za použití kompaktních a přenosných diagnostických zařízení. Všechny tyto poznatky jsou důležité pro konstrukci selektivních a citlivých elektrochemických zařízení a jejich aplikaci v zemědělské chemii nebo ochraně životního prostředí a lidského zdraví.

### 2.1. Dělení a principy

Biosenzory jsou podskupinou chemických senzorů, ve kterých je analytické zařízení složeno z biologického prvku (enzym, protilátka, oligonukleotid, biomembrána, buněčná organela, tkáň, mikroorganismus) spojeného s fyzikálně-chemickým převodníkem. Tento převodník může být optický, hmotnostní, teplotní nebo elektrochemický<sup>1,2</sup>. Výsledkem této kombinace biologicky aktivní látky a převodníku, funkčně založeného na měření fyzikálně-chemických veličin, je velmi citlivý analytický nástroj, který může být aplikován v zemědělské a obecně chemické analýze složek životního prostředí pro svou finanční nenáročnost, rychlosť a jednoduchost samotného měření. Elektrochemické biosenzory lze rozdělit na konduktometrické, impedimetrické, potenciometrické a amperometrické<sup>1</sup>. O obecných principech a využití biosenzorů pojednává např. přehled<sup>3</sup>.

### 2.2. Elektrochemické biosenzory

Konduktometrické převodníky vycházejí z měření změny konduktivity  $G$  analytu, ve kterém mikroorganismy metabolizují elektricky inaktivní substráty, jejichž koncentraci zjišťujeme nepřímo měřením elektricky aktivních metabolitů. Kon-

centrace těchto elektroaktivních metabolitů je ekvivalentní koncentraci stanovených elektroinaktivních substrátů a odpovídá změně konduktivity<sup>1</sup>.

Další skupinou jsou impedimetrické biosenzory, které jsou založeny na sledování vektorové veličiny tzv. impedance  $Z$  po vložení střídavého napětí na elektrody<sup>4,5</sup>. Tyto změny jsou opět nejčastěji způsobeny nepřímo metabolizací mikroorganismů vedoucí k nárůstu konduktance/kapacitance a naopak poklesu převodníkem registrované impedance<sup>1</sup>.

V případě konduktometrie a impedimetrie se neuplatňují faradaické procesy a koncentrační polarizace, jako je tomu v případě potenciometrických a amperometrických převodníků. Ty fungují na základě měření potenciálu  $U$  nebo proudu  $I$  na elektrodové membráně či samotném povrchu pracovní (indikační) elektrody zapojené proti srovnávací (referenční) elektrode.

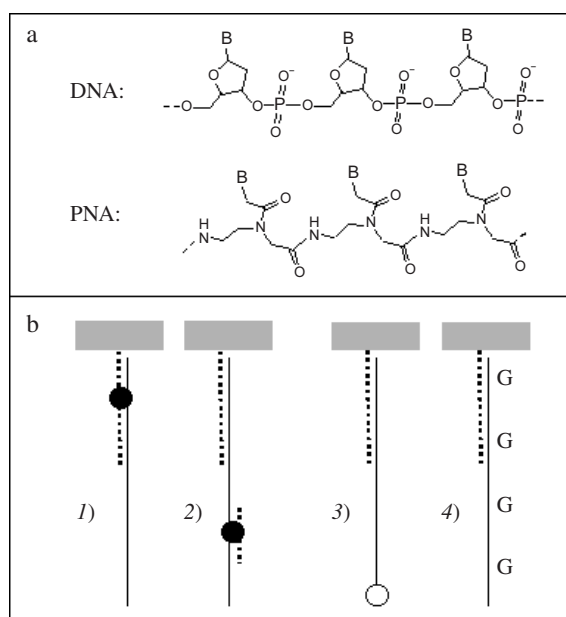
Pro analýzy znečištění životního prostředí těžkými kovy je elektrochemická analýza jednou z nejčastěji používaných metod<sup>6,7</sup>. Nedávno vyvinutý biosenzor založený na chelataci iontů kovů ethylendiaminetetraoctovou kyselinou (EDTA) a diethylentriaminpentaoctovou kyselinou (DTPA) a následnou vazbou komplexů monoklonálními protilátkami umožňuje stanovovat nanomolární koncentrace iontů kovů. Takto navržený biosenzor byl autory použit pro analýzu kadmu v přírodní vodě<sup>7</sup>.

Své uplatnění nalezly elektrochemické biosenzory také v zemědělské chemii jako analyzátoři pesticidních přípravků<sup>8,9</sup>. Pro stanovení organofosfátového pesticidu (2,2-dichlorvinyl)-dimethylfosfátu (DDVP) byl použit průtokový amperometrický detektor využívající inhibice acetylcholinesterasy (AChE), která je imobilizována na membránové elektrodě umístěné v průtokové cele<sup>10</sup>. Princip stanovení spočívá v degradaci acetylthiocholin-chloridu (ATCh), jakožto substrátu enzymu AChE, účinkem toxického organofosfátu, přičemž produktem degradace je thiocholin a octová kyselina. Takto vzniklý thiocholin reaguje s hexakyanoželezitými ionty v analyzovaném roztoku a redukce  $[Fe(CN)_6]^{3-}$  na  $[Fe(CN)_6]^{4-}$  je elektrochemicky sledována<sup>10</sup>.

Kromě inhibice systému AChE se dá pro stanovení herbicidních přípravků a polulantů použít i inhibice laktátdehydrogenasy<sup>11</sup>. V poslední době nachází uplatnění v mikroelektrodové systémy. V roce 2001 tým španělských elektrochemiků použil pro stanovení linuronu (3-(3,4-dichlorfenyl)-1-methoxy-1-methylmočovina) v půdě mikroelektrodu vyrobennou ze skelných vláken s mezí detekce 80 ng.ml<sup>-1</sup> (cit.<sup>12</sup>). Zajímavou technologií je také použití multielektrodových biosenzorů pro simultánní stanovení insekticidních preparátů, jako např. uvádí Bachmann<sup>13</sup>.

### 2.3. Biosenzory na bázi immobilizovaných činidel

V posledních letech je často používána technologie, která je založena na imobilizaci nukleových kyselin (obr. 1a) nebo proteinů na povrchu pracovní elektrody<sup>14,15</sup>. Takto imobilizovaná vrstva vysoce citlivého biopolymeru je schopná kovalentní či nekovalentní interakce se studovanou látkou (např. pesticidy, organické mutageny atd.). Tyto senzory byly navrženy řadou autorů a vychází z různých principů samotného stanovení<sup>14,16–18</sup>. V případě DNA-hybridizačních biosenzorů je na povrchu pracovní elektrody vytvořena vrstva jednořetěz-



Obr. 1. a) Chemická struktura negativně nabité molekuly DNA a neutrálne nabité peptidové nukleové kyseliny (PNA); B: purinová nebo pyrimidinová báze. b) Schéma různých postupů DNA-hybridizace na povrchu pracovní elektrody; k ukotvené DNA-sondě (oligonukleotid) na elektrodovém povrchu je na základě komplementarity bazí (A-T, C-G) hybridizována další molekula nukleové kyseliny za vzniku duplexu. Takto vzniklý duplex může být elektrochemicky detegován různými způsoby: V případě 1) je vytvořený duplexu registrováno sledováním rozdílu mezi elektrochemickou odevzou samotné sondy (ssDNA) před hybridizací a duplexu po hybridizaci. V tomto případě je možné využít skutečnosti, že ssDNA poskytuje výrazně vyšší katodickou odevzdu adeninu a cytosinu než duplexní řetězec. Nebo může být pro hybridizační proceduru použita redoxní značka vážící se pouze na vytvořený duplex. 2) Dále může být použita značená sonda nesoucí elektroaktivní značku (angl. reporter probe), která se váže na molekulu hybridizující se k DNA-sondě ukotvené na povrchu elektrody. 3) Hybridizaci lze stanovit pomocí elektroaktivní značky (např. enzymu), která je navázána na konec molekuly tvořící hybridizační duplex s DNA-hybridizační sondou a nebo 4) stanovením guaninových zbytků v její molekule (více v cit.<sup>14,26</sup>); ■ elektroda, ○ DNA-sonda, ● enzym, G redoxní značka, — komplementární DNA, G guanin

cových molekul DNA (ssDNA) se známou sekvencí. Většinou jde o syntetický oligonukleotid (obvykle se stupněm polymerace 15–40), který nazýváme sonda (angl.: probe), a který má komplementární sekvenci ke stanoveným molekulám DNA nebo RNA. Takto modifikovaný povrch převodníku poskytuje jinou proudovou či potenciálovou odevzdu než v případě, že je k ssDNA molekulám podle Watson-Crickova schématu navázán (hybridizován) komplementární řetězec stanovené molekuly ssDNA (angl.: target DNA) za vzniku duplexu<sup>14</sup>.

Základem samotného analytického postupu je izolace DNA nebo RNA z biologického vzorku. Po purifikaci jsou izolované molekuly naneseny na povrch pracovní elektrody, který je modifikovaný DNA-sondou. Důkaz hybridizace může být proveden způsoby, ve kterých se často využívá různých elektroaktivních značek, specificky se vážajících na dvouřetězcovou DNA (dsDNA) nebo ssDNA (viz obr. 1b). Možné je např.

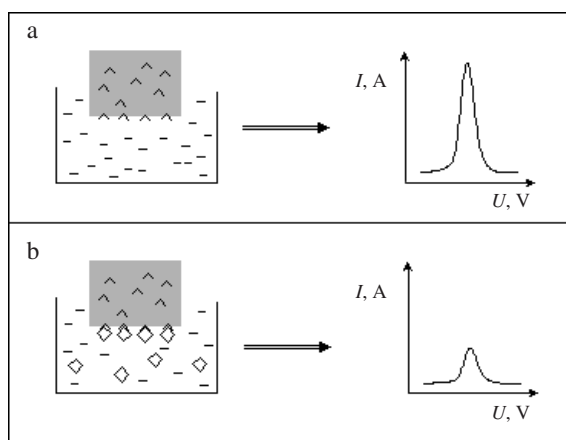
řešení pomocí kovalentně se vázající osmiové značky na molekulu thyminu<sup>19</sup>.

Wang a spol. vyvinuli chronopotenciometrický DNA-hybridizační biosenzor pro stanovení DNA izolované z oocyst patogenní bakterie *Cryptosporidium parvum* v pitné vodě za použití uhlíkové pastové elektrody (CPE) (cit.<sup>14</sup>). Voltametrické biosenzory lze také použít pro stanovení populace mikroorganismů v potravinářských a environmentálních vzorcích<sup>20</sup>. Jako sonda může být použit nejen syntetický nukleotid, který má negativně nabité cukr-fosfátovou kostru, ale i molekula, jejíž kostra nesoucí purinové a pyrimidinové báze je nahrazena neutrálním peptidovým řetězcem tvořeným jednotkami *N*-(2-aminoethyl)glycinu<sup>21</sup> (peptidová nukleová kyselina (PNA), viz obr. 1a). Molekuly PNA imobilizované na elektrodu převodníku mohou tvorit PNA-DNA duplex, podobně jako je tomu v případě DNA-DNA hybridizace, se stanovovanou nukleovou kyselinou izolovanou z mikrobiálního nebo jiného škůdce<sup>22</sup>.

Analýzy toxicických látek v životním prostředí mohou být také prováděny pomocí elektrody modifikované vrstvou dsDNA<sup>14</sup>. Pokud je takto modifikovaná vrstva vystavena vlivu toxickej látky, dojde k její vazbě na imobilizovanou vrstvu dsDNA, což se projeví změnou oxidačního proudu guaninu. V této souvislosti byl vyvinut potenciometrický DNA-biosenzor pro stanovení aromatické sloučeniny antracen-2-aminu (2-anthraminu) v podzemních vodách. Stanovení vychází z toho, že se zvyšující se koncentrací 2-anthraminu se snižuje anodický pík guaninu, což je způsobeno vazbou 2-anthraminu na molekuly dsDNA, čímž jsou zablokována oxidační místa v molekule guaninu<sup>14</sup>. Podobné experimenty byly provedeny s dimethylhydrazinem v růční vodě<sup>23</sup> a s deriváty 1,3,5-triazenu<sup>24</sup>. DNA-biosenzory nacházejí své uplatnění i při stanovení různých teratogenů a mutagenů, např. při studiu benzo[*a*]pyren-DNA adaktu<sup>25</sup>.

Jednou z dalších možností je využití biosenzorů pro studium poškození DNA, přičemž DNA je opět prekoncentrována na povrchu indikační elektrody pomocí ultrafialového a  $\gamma$ -záření<sup>16,26</sup>. Signálem umožňujícím sledovat poškození molekul dsDNA je opět guaninový oxidační pík<sup>14</sup>. Takto navržené biosenzory pro studium poškození DNA pracují na principu fotokonverze guaninových zbytků na 2,6-diamino-4-hydroxy-5-formamidopyrimidin.

Jak se v poslední době ukazuje, je použití CPE vhodným nástrojem nejen pro DNA-hybridizační sondy a biosenzory indikující poškození DNA, ale i pro modifikaci uhlíkové pasty enzymem, který může specificky vázat protein přítomný ve vzorku. Avidin je toxicický protein, který produkuje půdní bakterie *Streptomyces avidinii*. Toxicita avidinu spočívá ve vazbě biotinu. Tohoto principu lze využít při navrhování technologie biologické ochrany rostlin, které jsou geneticky manipulovány k produkci avidinu<sup>27</sup>. Avidin-biotinové technologie bylo využito pro konstrukci amperometrického biosenzoru vyrobeného z uhlíkové pasty, do které byl imobilizován biotin. Z transgenických rostlin kukuřice (*Zea mays*) produkcujících avidin jako ochranu proti škůdcům, byl získán buněčný obsah ze semen. Díky navrženému biosenzoru bylo možné rozpoznávat avidin-transgenní rostlinu od rostliny geneticky nemodifikované (avidin-biotinová technologie viz obr. 2) (cit.<sup>28</sup>). Podobné technologie představují možnost jednoduchého stanovení daného proteinu či jiné látky v geneticky modifikovaných zemědělských plodinách. Naopak, DNA-hy-



Obr. 2. Schéma ilustrující využití avidin-biotinové vazby v technologií elektrochemických biosenzorů. a) Biotinem modifikovaná uhlíková pastová elektroda poskytuje anodický pík aminokyselin tyrosinu a tryptofanu, které jsou součástí molekuly biotinu. b) Pokud je v analyzovaném vzorku přítomný avidin, vytvoří se na povrchu elektrody komplex s biotinem a zmenší se oxidační pík v důsledku vazby biotinu s avidinem. Pokles píku je způsoben zablokováním oxidovatelných skupin v molekule biotinu molekulou avidinu. V případě biotin-avidinové technologie může být použit i biotinem značený oligonukleotid jako indikátor DNA-hybridizace. Biotin-avidinová technologie má široké spektrum použití u biosenzorů používaných pro stanovení proteinů a nukleových kyselin (viz cit.<sup>28</sup>); ■ elektroda, - - - elektrolyt, ◇ komplex avidinu a biotinu, ▲ avidin, ^ biotin

bridizační biosenzory jsou efektivním nástrojem pro určení transgenní sekvence nebo jiné aminokyselinové sekvence, např. hygienicky nezádoucích organismů či zemědělských škůdců.

### 3. Závěr

Výše uvedené příklady prezentují biosenzory jako efektivní analytický nástroj v zemědělské a environmentální chemii. Tyto biosenzory představují budoucnost v rozvoji terénních analýz a plně automatizovaných zařízení pro monitorování nejrůznějších polutantů. Nejfektivnější a ekonomicky nejvhodnější technologií se jeví použití převodníku složeného z galvanostatu či potenciostatu zapojeného s pevnou elektrodou, jako jsou CPE a nebo elektrody vyrobené z uhlíkového vlákna či pyrolytického grafitu<sup>29</sup>.

Na druhou stranu jako biologický prvek biosenzoru je výhodné používat enzymy a některé další proteiny se schopností specifické vazby, nebo v DNA-hybridizační technologii používané syntetické oligonukleotidy a PNA. Především elektrochemické biosenzory pro poškození DNA se mohou stát vhodným nástrojem pro studium genotoxických látok zemědělských preparátů nebo jiných průmyslově využívaných látek<sup>30</sup>.

Využití biosenzorů je možné i v on-line zapojení s elektroforetickými nebo chromatografickými separačními technikami<sup>2</sup>. Všechny tyto možnosti jsou dnes intenzivně studovány, nicméně použití velmi nadějně technologie DNA-hybridizace pro stanovení chromosomalové DNA se prozatím bez složité přípravy vzorku příliš nedáří. V budoucnu by mohl být prob-

lém vyřešen použitím automatických mikro-PCR systémů (PCR: polymerasová řetězová reakce)<sup>15</sup>. Jednou z nejnovějších technik je např. provedení DNA-hybridizace na velkém pracovním povrchu (povrch H) komerčně vyráběných paramagnetických kuliček a stanovení redoxní a nebo enzymatické značky indikující hybridizaci na malém povrchu indikační elektrody. Princip a využití této techniky je detailně popsán v cit.<sup>31,32</sup>

Jak z výše uvedeného textu vyplývá, jsou elektrochemické biosenzory nástrojem s perspektivou k budoucím nanotechnologiím nejen v zemědělské a environmentální kontrole, ale i v celé škále vědních disciplín, jako je medicína, farmacie, molekulární biologie a další.

*Práce na tomto článku byla finančně podporována grantem FRVŠ č. 1203/2003 a MŠM 432100001 Ministerstva školství a tělovýchovy České republiky a projektem č. A 1163201 Grantové agentury Akademie věd České republiky.*

## LITERATURA

- Mello L. D., Kubota L. T.: Food Chem. 77, 237 (2001).
- Bossi A., Piletsky S. A., Righetti P. G., Turner A. P. F.: J. Chromatogr., A 892, 143 (2000).
- Skládal P.: *Biosensory*, str. 149. Přírodovědecká fakulta Masarykovy univerzity, Brno 1999.
- Hasoň S., Dvořák J., Jelen F., Vetterl V.: Crit. Rev. Anal. Chem. 32, 167 (2002).
- Hasoň S., Vetterl V.: Bioelectrochemistry 56, 43 (2002).
- Fennouh S., Casimiri V., Geloso-Meyer A., Burstein C.: Biosens. Bioelectron. 13, 903 (1998).
- Blake D. A., Jones R. M., Blake R. C., Pavlov A. R., Darwish I. A., Yu H.: Biosens. Bioelectron. 16, 799 (2001).
- Trojanowicz M., Hitchman M. L.: Trends Anal. Chem. 15, 38 (1996).
- Skládal P., Fiala M., Krejčí J.: Int. J. Environ. Anal. Chem. 65, 139 (1996).
- Neufeld T., Eshkenazi I., Cohen E., Rishpon J.: Biosens. Bioelectron. 15, 323 (2000).
- Young S. J., Hart J. P., Dowman A. A., Cowell D. C.: Biosens. Bioelectron. 16, 887 (2001).
- Huebra G. M. J., Hernández P., Ballesteros Y., Hernández L.: Talanta 54, 1077 (2001).
- Bachmann T. T., Schmid R. D.: Anal. Chim. Acta 401, 95 (1999).
- Wang J., Rivas G., Cai X., Paleček E., Nielsen P., Shiraishi H., Dontha N., Luo D., Parrado C., Chicharro M., Farias P. A. M., Valera F. S., Grant D. H., Ozsoz M., Flair M. N.: Anal. Chim. Acta 347, 1 (1997).
- Lowe C. R.: Curr. Opin. Chem. Biol. 3, 106 (1999).
- Fojta M.: Electroanalysis 14, 1449 (2002).
- Chiti G., Marrazza G., Mascini M.: Anal. Chim. Acta 427, 155 (2001).
- Marrazza G., Chianella I., Mascini M.: Anal. Chim. Acta 387, 297 (1999).
- Kizek R., Havran L., Fojta M., Paleček E.: Bioelectrochemistry 55, 119 (2002).
- Han S., Li X., Guo G., Sun Y., Yuan Z.: Anal. Chim. Acta 405, 115 (2000).
- Tomschik M., Jelen F., Havran L., Trnková L., Nielsen P. E., Paleček E.: J. Electroanal. Chem. 476, 71 (1999).
- Nielsen P. E.: Acc. Chem. Res. 32, 624 (1999).
- Wang J., Chicharro M., Rivas G., Cai X. H., Dontha N., Farias P. A. M., Shiraishi H.: Anal. Chem. 68, 2251 (1996).
- Oliveira-Brett A. M., Silva L. A.: Anal. Bioanal. Chem. 373, 717 (2002).
- Kerman K., Meric B., Ozkan D., Kara P., Erdem A., Ozsoz M.: Anal. Chim. Acta 450, 45 (2001).
- Paleček E., Fojta M., Tomschik M., Wang J.: Biosens. Bioelectron. 13, 621 (1998).
- Kramer K. J., Morgan T. D., Throne J. E., Dowell F. E., Bailey M., Howard J. A.: Nature Biotechnol. 18, 670 (2000).
- Masařík M., Kizek R., Kramer K. J., Billová S., Brázdová M., Vacek J., Bailey M., Jelen F., Howard J. A.: Anal. Chem. 75, 2663 (2003).
- Gilmartin M. A. T., Hart J. P.: Analyst 120, 1029 (1995).
- Bentley A., Atkinson A., Jezek J., Rawson D. M.: Toxicol. in Vitro 15, 469 (2001).
- Paleček E., Kizek R., Havran L., Billová S., Fojta M.: Anal. Chim. Acta 469, 73 (2002).
- Paleček E., Billová S., Havran L., Kizek R., Mičulková A., Jelen F.: Talanta 56, 919 (2002).

**R. Kizek<sup>a</sup>, J. Vacek<sup>a,b</sup>, L. Trnková<sup>c</sup>, B. Klejdus<sup>a</sup>, and V. Kubáň<sup>a</sup>** (<sup>a</sup>Department of Chemistry and Biochemistry, Mendel University of Agriculture and Forestry, <sup>b</sup>Department of Botany and Plant Physiology, Mendel University of Agriculture and Forestry, <sup>c</sup>Department of Theoretical and Physical Chemistry, Masaryk University): **Electrochemical Biosensors in Agricultural and Environmental Analysis**

The technology of biosensors has found extensive applications in clinical diagnostics, genomics and proteomics, environmental protection, and industry, as well as in studies of biological processes in cases where classical analytical techniques are not applicable. In this communication, the use of potentiometric and amperometric biosensors for chemical analysis in agriculture and environmental science are briefly reviewed with emphasis on the determination of toxic substances, such as heavy metals, pesticides, and selected organic pollutants. Also covered are some modern electrochemical trends, particularly the use of solid carbon electrodes in DNA-hybridization and enzymatic modification (avidin-biotin technology), related to the determination of specific sequences in mRNA or DNA. An important application of solid electrodes, modified with nucleic acids or proteins, is in the field of genome investigation of agricultural pests or pathogenic organisms in the environment, or in the determination of specific proteins in organisms. The modified electrodes, in conjunction with compact, portable diagnostic instrumentation, also seem to be promising for the investigation of DNA damage, which could be important for the identification of genotoxic effects of harmful substances on organisms.

# SELEKTIVNÍ KATALYTICKÁ REDUKCE NO<sub>x</sub> UHLOVODÍKY V OXIDAČNÍ ATMOSFÉŘE NA ZEOLITOVÝCH KATALYZÁTORECH

LIBOR ČAPEK a BLANKA WICHTERLOVÁ

*Ústav fyzikální chemie Jaroslava Heyrovského, Akademie věd České republiky, Dolejškova 3, 182 23 Praha 8  
e-mail: wichterl@jh-inst.cas.cz*

Došlo 10.1.03, přepracováno 26.3.03, přijato 4.4.03.

Klíčová slova: oxidy dusíku, selektivní katalytická redukce uhlovodíky, zeolity

## Obsah

1. Úvod
  - 1.1. NO<sub>x</sub>, zdroje a dopad na životní prostředí
  - 1.2. Odstranění NO<sub>x</sub> z exhalátu
2. Selektivní katalytická redukce NO<sub>x</sub> uhlovodíky
  - 2.1. Katalyzátory
  - 2.2. Selektivní katalytická redukce NO<sub>x</sub> uhlovodíky na zeolitových katalyzátorech
    - 2.2.1. Základní představa
    - 2.2.2. Mechanismus
    - 2.2.3. Vliv uhlovodíku a typu kationtu iontově vyměněného do matrice zeolitu
3. Vliv vodní páry na selektivní katalytickou redukci NO<sub>x</sub> uhlovodíky
  - 3.1. Co-zeolity
  - 3.2. Fe-zeolity
  - 3.3. Pt-zeolity
  - 3.4. Pd-zeolity
  - 3.5. Ga- a In-MFI
  - 3.6. Cu-zeolity
4. Závěr

## 1. Úvod

### 1.1. NO<sub>x</sub>, zdroje a dopad na životní prostředí

V atmosféře se vyskytuje sedm oxidů dusíku o složení NO, NO<sub>2</sub>, NO<sub>3</sub>, N<sub>2</sub>O, N<sub>2</sub>O<sub>3</sub>, N<sub>2</sub>O<sub>4</sub> a N<sub>2</sub>O<sub>5</sub>, mezi nimiž probíhají chemické reakce<sup>1</sup>. Nejvýznamnějšími složkami emisí oxidů dusíku, pocházejících ze spalovacích a průmyslových zdrojů jsou NO, NO<sub>2</sub> a N<sub>2</sub>O. Asi 70 % celkového množství všech emisí oxidů dusíku představuje NO (cit.<sup>2,3</sup>), který se v atmosféře rychle oxiduje na NO<sub>2</sub> (cit.<sup>4,5</sup>). Emise NO a NO<sub>2</sub> jsou běžně definovány jako emise NO<sub>x</sub>.

Všechny oxidy dusíku výrazně ovlivňují rovnováhu ekosystému a mají negativní vliv na zdraví živých organismů. Jsou schopny zasáhnout všechny části dýchacího ústrojí a jsou hlavní příčinou fotochemického smogu a kyselých deštů<sup>6</sup>.

Doba života oxidů dusíku v atmosféře je přibližně 120 roků (cit.<sup>7</sup>).

N<sub>2</sub>O se výrazně podílí na klimatických změnách a do atmosféry uniká hlavně při denitrifikačních procesech a výrobě kyseliny adipové. Přestože jde o skleníkový plyn, který v atmosféře přetrvává nejdéle ze všech oxidů dusíku, v současné době neexistují limity emisí této složky v exhalátech. Avšak současné emise N<sub>2</sub>O v Evropě, které činí 1200–1300 kt N<sub>2</sub>O-N (vztaženo na atom N) za rok, bude nutné v nejbližší době snížit na 200–250 kt N<sub>2</sub>O-N (vztaženo na atom N) za rok<sup>8</sup>.

Elektrárny spalující fosilní paliva nebo zemní plyn, chemický průmysl (např. výroba kyseliny dusičné) a spalovací turbíny představují stacionární zdroje NO<sub>x</sub>. Naopak mobilními zdroji NO<sub>x</sub> jsou dopravní prostředky<sup>9</sup> spalující benzín, zemní plyn nebo dieselová paliva<sup>3</sup>. Hlavní podíl NO<sub>x</sub> je emitován do atmosféry při spalovacích procesech<sup>10</sup>. Přírodní zdroje NO<sub>x</sub>, jako atmosférické výboje<sup>11</sup> a produkce půdními mikroby, tvoří v současné době méně významnou část<sup>10</sup>.

Motory spalující benzínová paliva zpravidla pracují se stechiometrickou směsí, kde množství přidávaného vzduchu přesně odpovídá konverzi paliva na CO<sub>2</sub> a vodu. Poměr vzduch/palivo je pro stechiometrickou směs 14,7 (cit.<sup>12</sup>). V polovině 80. let byl pro likvidaci NO<sub>x</sub> ze stechiometrických směsí vyvinut tzv. třícestný katalyzátor, který je široce aplikován jako součást všech benzínových motorů.

Motory spalující dieselová paliva<sup>13</sup> stejně tak jako většina stacionárních zařízení naproti tomu pracují v přebytku vzduchu. Poměr vzduch/palivo je pro tyto směsi v rozsahu 21–23 (cit.<sup>12</sup>). K odstranění NO<sub>x</sub> ze stacionárních zdrojů se v oxidační atmosféře využívá selektivní katalytická redukce NO<sub>x</sub> (SCR-NO<sub>x</sub>) amoniakem, avšak dosud nebyla vyvinuta žádná technologie pro odstranění NO<sub>x</sub> z mobilních zdrojů oxidací.

Další nároky na snížení obsahu škodlivých látek (oxidů dusíku, síry a uhlíku, organických sloučenin apod.) v exhalátech, dle norem 98/69/EC (tab. I), podstatně zvýší výdaje na kontrolu emisí v zemích EU, a to odhadem ze současných 58,5 na 66 miliard EUR/rok. Z navýšených výdajů připadá 60 %, tj. 4,5 miliard EUR/rok, na zvýšení účinnosti odstranění NO<sub>x</sub>.

Tabulka I  
Emisní limity pro osobní automobily v g.km<sup>-1</sup>

Směrnice	Platnost od	Osobní automobily s motory spalujícími					
		benzín			diesel		
		CO	C <sub>x</sub> H <sub>y</sub>	NO <sub>x</sub>	CO	C <sub>x</sub> H <sub>y</sub>	NO <sub>x</sub>
EURO I	1.7.1992	4,05	0,66	0,49	2,88	0,20	0,78
EURO II	1.1.1996	3,28	0,34	0,25	1,06	0,19	0,73
EURO III <sup>a</sup>	1.1.2000	2,30	0,20	0,15	0,64	0,06	0,50
EURO IV <sup>a</sup>	1.1.2005	1,00	0,10	0,08	0,50	0,05	0,25

<sup>a</sup> Směrnice 98/69/EC

(cit.<sup>14</sup>). Zlepšení současných technologií odstranění  $\text{NO}_x$  z exhalátů a nalezení nového technického způsobu odstranění  $\text{NO}_x$  z exhalátů dieselových motorů tak může přinést nejen výrazné snížení množství  $\text{NO}_x$  emitovaného do atmosféry, což je první cíl, ale i výrazné snížení finančních nákladů.

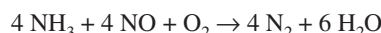
### 1.2. Odstranění $\text{NO}_x$ z exhalátů

Způsob odstranění  $\text{NO}_x$  z exhalátů záleží především na zdroji emisí (mobilní nebo stacionární), použitém palivu, složení exhalátů (oxidační nebo redukční atmosféra a koncentrace  $\text{NO}_x$ ) a procesu při kterém k emisi  $\text{NO}_x$  dochází. Existují dva hlavní technologické přístupy omezení obsahu  $\text{NO}_x$  v emisích, primární a sekundární<sup>1</sup>. Primárním opatřením je kontrola obsahu dusíku v palivu a užití hořáků s nižší teplotou. Sekundární způsoby odstranění  $\text{NO}_x$  z exhalátů se dělí na absorpcní a katalytické, přičemž široké aplikace doznalo použití třícestného katalyzátoru a technologie SCR- $\text{NO}_x$  amoniakem s použitím  $\text{V}_2\text{O}_5\text{-WO}_3\text{/TiO}_2$  jako katalyzátoru.

Absorpcní procesy jsou vhodné pro malotonážní zdroje  $\text{NO}_x$  a pro zdroje s proměnlivou koncentrací  $\text{NO}_x$ . Hlavní výhodou je současné odstranění oxidu dusíku a síry. Naproti tomu nevýhodou je tvorba odpadních vod s vysokým obsahem dusičnanů a dusitanů a nízká rozpustnost  $\text{NO}_x$ . Z tohoto důvodu je nutné převedení  $\text{NO}_x$  na  $\text{NO}_2$ , což je finančně náročné.

Třícestný katalyzátor současně eliminuje  $\text{CO}$ ,  $\text{NO}_x$  a uhlovodíky ( $\text{C}_x\text{H}_y$ ) na základě katalytické redukce  $\text{NO}_x$  na  $\text{N}_2$  a oxidace  $\text{CO}$  a  $\text{C}_x\text{H}_y$  na  $\text{CO}_2$  a  $\text{H}_2\text{O}$  (cit.<sup>15,16</sup>). Katalyzátorem je ušlechtilý kov (Pt, Rh nebo Pd) nanesený na aluminé a na keramickém nosiči. Hodnoty konverze všech tří složek výrazně závisí na poměru vzduch/palivo<sup>17</sup>, přičemž třícestný katalyzátor efektivně oxiduje  $\text{C}_x\text{H}_y$  a  $\text{CO}$  a stejně tak redukuje  $\text{NO}_x$  pouze v úzkém rozmezí poměru vzduch/palivo<sup>18</sup>. Efektivní využití třícestného katalyzátoru je dosaženo pro stechiometrický poměr vzduchu a paliva. S rostoucí koncentrací vzduchu významně klesá konverze  $\text{NO}_x$ .

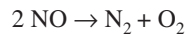
SCR- $\text{NO}_x$  amoniakem v oxidační atmosféře<sup>1</sup> je technologie používaná výhradně u stacionárních zdrojů (např. elektrány<sup>19</sup>) a popisuje ji chemická reakce



Převážně je využíván  $\text{V}_2\text{O}_5\text{-WO}_3\text{/TiO}_2$  katalyzátor<sup>20</sup>, efektivní v teplotním rozsahu 250–400 °C. Avšak v poslední době byly navrženy jako katalyzátory také Cu-zeolity<sup>21–24</sup>, které redukují  $\text{NO}_x$  na  $\text{N}_2$  amoniakem za teplot 180–250 °C. Jejich využití spadá do oblasti odstranění  $\text{NO}_x$  z chemických výrob, kde je za současné technologie nutné ohřívání odpadních plynů.

Zásadním problémem SCR- $\text{NO}_x$  amoniakem je skladování, doprava a nástřik silně korozivního amoniaku do systému a únik případně nezreagovaného amoniaku<sup>1</sup>. V současné době je únik amoniaku limitován hodnotou 2 ppm, což vyžaduje vysoký stupeň kontroly procesu. S rostoucími požadavky na bezpečnost práce s amoniakem bude nezbytné nahrazení dosavadní technologie jiným způsobem odstranění  $\text{NO}_x$  z exhalátů. Nejpravděpodobnější je využití jiného, nezávadného redukční činidla, přičemž pro praktické využití v širokém měřítku je nadějně především použití parafinů.

Z technologického hlediska by byl velice atraktivní přímý rozklad  $\text{NO}$  na molekulární dusík a kyslík<sup>25–27</sup> bez použití redukčního činidla podle chemické reakce,



která je z termodynamického hlediska možná ( $\Delta G_{298}^0 = -87,0 \text{ kJ}\cdot\text{mol}^{-1}$ ), ale její rychlosť je negativně ovlivněna vysokou hodnotou aktivační energie. Jako katalyzátory přímého rozkladu<sup>21</sup> byly testovány ušlechtilé kovy a oxidy s nižší valencí<sup>28</sup>. Ty katalyzují rozklad  $\text{NO}$ , avšak vznikající kyslík ihned oxiduje kovové a oxidové katalyzátory, které se ireverzibilně deaktivují. Jedinými katalyzátory vykazujícími relativně vysokou a stabilní aktivitu v přímém rozkladu  $\text{NO}$  jsou vysokosilikátové zeolity s iontově vyměněnými Cu ionty, jako např. Cu-MFI (cit.<sup>29,30</sup>), Cu-BEA (cit.<sup>30,31</sup>). V důsledku nízkého negativního náboje ve skeletu Cu-MFI zeolitu je výrazně snížen pozitivní náboj na Cu iontech. Tím se stabilizuje monovalentní stav Cu iontů, jež jsou aktivními centry pro přímý rozklad  $\text{NO}$ . Avšak přebytek vodní páry v exhalátech významně snižuje aktivitu tohoto katalyzátoru. Zejména tato skutečnost má za následek, že i přes intenzivní výzkum nemá v blízké budoucnosti technologie přímého rozkladu  $\text{NO}_x$  reálnou naději na realizaci.

### 2. Selektivní katalytická redukce $\text{NO}_x$ uhlovodíky

O SCR- $\text{NO}_x$  uhlovodíky byla publikována celá řada přehledných prací<sup>12,32–35</sup>. Tento postup odstranění  $\text{NO}_x$  v oxidační atmosféře má potenciální uplatnění pro odstranění  $\text{NO}_x$  jak ze stacionárních, tak i z mobilních zdrojů, kde doposud nebyla vyvinuta potřebná technologie. Problémem je stále nízká aktivita katalyzátoru za reálných podmínek a zejména malá odolnost katalyzátoru k vodní páře (~10 obj.%) a  $\text{SO}_2$  (~150 ppm). Deaktivace katalyzátoru v důsledku přítomnosti  $\text{SO}_2$  je způsobena oxidací  $\text{SO}_2$  na  $\text{SO}_3$  a následnou tvorbou sulfátů příslušných kovů. Vzhledem k tomu, že se předpokládá významné snížení obsahu síry v palivech, nejsou studie vlivu  $\text{SO}_2$  na SCR- $\text{NO}_x$  uhlovodíky středem hlavní pozornosti. Ta se obrací zejména ke studiu vlivu vodní páry.

Dostatečně účinný katalyzátor by měl vykazovat vysokou aktivitu, selektivitu a odolnost za vysokých prostorových rychlosťí (30 000–60 000  $\text{h}^{-1}$ ) a v širokém rozmezí teplot (250–550 °C).

### 2.1. Katalyzátor

V 90. letech Iwamoto a spol.<sup>36</sup> a Held a spol.<sup>37</sup> nezávisle objevili a patentovali<sup>38,39</sup> redukci NO uhlovodíky na Cu-MFI katalyzátoru v přebytku kyslíku. Tato oblast výzkumu doznaла pro svou vysokou aktuálnost velké pozornosti. Vedle katalyzátorů na bázi zeolitů, o kterých je pojednáno níže, bylo publikováно<sup>40–45</sup> využití oxidů kovů (Cu, Co, Ni, Mn, Fe, Ag, V, Cr, Pt, Rh, Pd) nanesených na anorganických nosičích, přičemž obecně bylo dosaženo vyšší aktivity pro oxidy kovů nanesené na aluminé jako nosiči, než na silice.  $\text{Ag-Al}_2\text{O}_3$  patří mezi nejaktivnější katalyzátory na bázi oxidů kovů. Tento katalyzátor vykazoval vysokou aktivitu v přítomnosti vodní páry za použití methanu<sup>42,43</sup>, ale i oktanu<sup>46</sup> jako redukčního činidla.

Zeolity jsou trojrozměrné, mikroporézní, krystalické aluminosilikáty s definovanou vnitřní strukturou a vysokým vnitřním povrchem (cca 400–800  $\text{m}^2\cdot\text{g}^{-1}$ ). Krystalická struktura

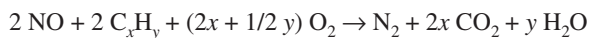
poskytuje přesně uspořádaný systém vnitřních kanálů a vysokou kapacitu iontové výměny. Chemické složení zeolitů ve formě oxidů je dánó vzorcem  $M_{2/n}O \cdot Al_2O_3 \cdot sSiO_2 \cdot tH_2O$ , kde  $n$  je valence kationtu a  $s$  a  $t$  je obsah  $SiO_2$  a  $H_2O$  v zeolitu. Složení jednotkové cely vyjadřuje strukturní vzorec  $M_{x/n}[(AlO_2)_x(SiO_2)_y] \cdot w H_2O$ , kde  $w$  je obsah  $H_2O$  a  $y/x$  znamená molární pomér Si/Al v krystalické mřížce.

Minimální molární pomér Si/Al ve skeletu je 1, protože podle Loewensteinova pravidla jsou zakázány vazby Al-O-Al. Mezi zeolity s vysokým obsahem Al patří např. zeolity<sup>47</sup> typu A s Si/Al = 1 a faujasy (X, Y) (Si/Al = 1,2–3,0). Zeolity s vysokým obsahem Si (vysokosilikátové) zahrnují např. morodenit (MOR), ferrierit (FER), ZSM-5 (MFI) a beta (BEA) zeolit. Pro tyto zeolity je pomér Si/Al ≥ 8 (cit.<sup>47</sup>).

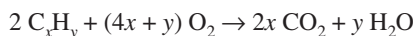
## 2.2. Selektivní katalytická redukce $NO_x$ uhlovodíky na zeolitových katalyzátorech

### 2.2.1. Základní představa

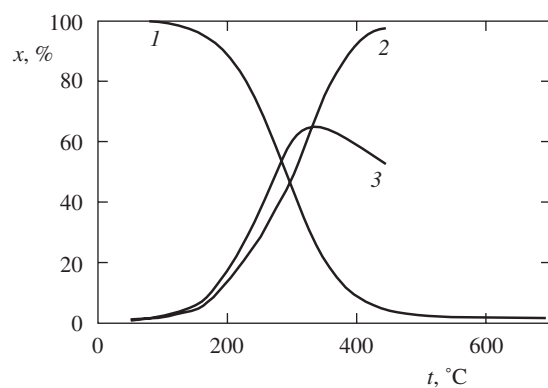
SCR- $NO_x$  uhlovodíky v oxidační atmosféře probíhá podle chemické reakce



Zpravidla je nutná vyšší koncentrace uhlovodíku (molární poměr C/N > 1), než jaká odpovídá stechiometrii reakce, protože současně s redukcí NO může docházet i k oxidaci uhlovodíku



Konverze NO na  $N_2$  v závislosti na teplotě vykazuje maximum, zatímco konverze uhlovodíku monotónně roste do hodnoty 100 % (obr. 1). Průběh konverze NO na  $N_2$  je ovlivněn dvěma faktory, jednak termodynamickou rovnováhou  $NO_x - NO_2$ , jednak spalováním uhlovodíku kyslíkem za vyšší teploty. S rostoucí teplotou se posouvá termodynamická rovnováha  $NO - NO_2$  ve prospěch NO, což působí proti směru jednoho ze stupňů redukce  $NO_x$ , kterým je oxidace NO na  $NO_2$ . S rostoucí teplotou se rovněž zvyšuje nežádoucí spalování



Obr. 1. Závislost konverze NO na  $N_2$  (1) a celkové konverze uhlovodíku (2) na teplotě pro SCR- $NO_x$  uhlovodíky; termodynamická rovnováha  $NO - NO_2$  vyjádřena jako výtěžek  $NO_2$  (3)

uhlovodíku kyslíkem snižující množství uhlovodíku podlejícího se na redukci  $NO_x$ .

Aktivita katalyzátoru pro SCR- $NO_x$  uhlovodíky je dána výšežkem  $N_2$  a selektivním využitím uhlovodíku, definovaným jako podíl uhlovodíku účastnícího se redukce  $NO_x$  a celkově zreagovaného uhlovodíku. Dále je sledována selektivita redukce  $NO_x$  vzhledem k  $N_2$  (nežádoucí produkty jsou  $NO_2$ ,  $N_2O$  a organické dusíkaté sloučeniny) a selektivita oxidace uhlovodíku vzhledem k  $CO_2$  (nežádoucím produktem je CO). SCR- $NO_x$  uhlovodíky vedoucí k vysokému obsahu  $N_2O$  a CO by vyžadovala následné odstranění těchto produktů a má menší naději na praktické uplatnění. Tvorba vedlejších produktů je zásadně ovlivněna<sup>48</sup> katalyzátorem a dále použitým uhlovodíkem, složením  $NO_x$  a přítomností vodní páry a  $SO_2$ .

### 2.2.2. Mechanismus

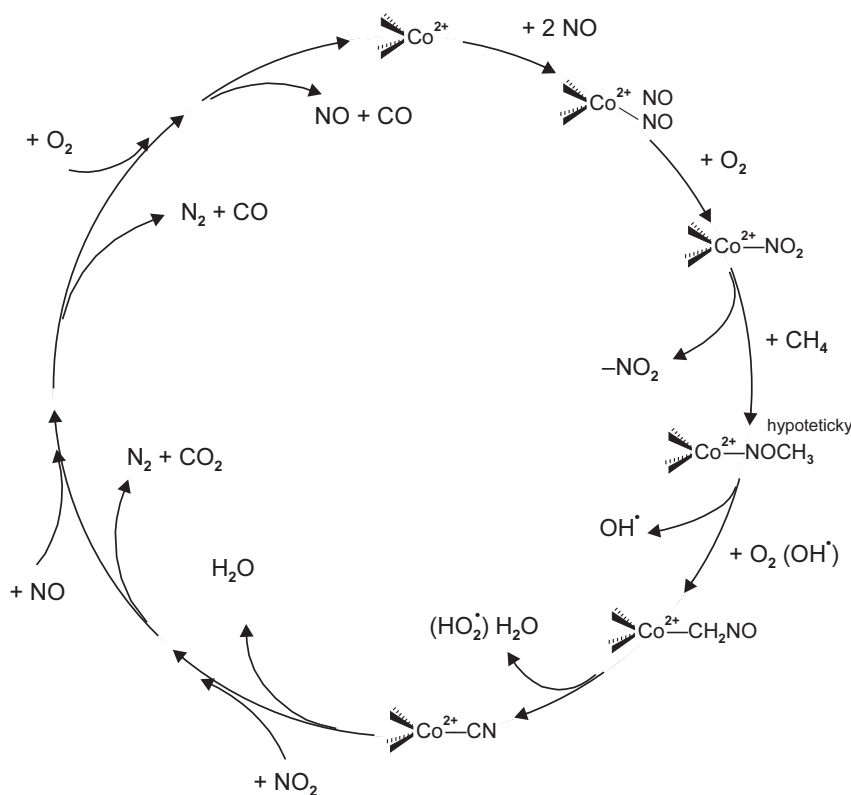
Prvním stupněm SCR- $NO_x$  uhlovodíky je oxidace NO na  $NO_2$ , který dále tvorí komplexy typu  $NO_y$  (kde  $y \geq 2$ ), což bylo prokázáno<sup>49–54</sup> studiem SCR- $NO_x$  uhlovodíky v systémech  $NO - CH_4 - O_2$  a  $CH_4 - NO_2$ . Obecně s rostoucí koncentrací kyslíku roste aktivita zeolitu, která dosahuje konstantní hodnoty okolo 2 obj.% kyslíku<sup>55,56</sup>. Oxidace NO může probíhat na kationech přechodných kovů<sup>57</sup> dispergovaných oxidových klastrech<sup>52</sup> a Lewisových centrech<sup>49,58</sup>, přičemž se předpokládalo, že kyslík adsorbovaný na Lewisových centrech je aktivován elektrostatickou polarizací pocházející ze struktury zeolitu<sup>59</sup>. V poslední době však je diskutována zásadní role stopového množství Fe na oxidaci NO (cit.<sup>60</sup>), avšak prozatím nebyla určena struktura aktivních Fe center při stopových koncentracích.

Limitujícím krokem SCR- $NO_x$  methanem je roztržení C-H vazby za vzniku volného radikálu<sup>50,61–66</sup>. Cowan a spol.<sup>61,62</sup> k tomuto závěru dospěli na základě isotopového efektu při použití  $CH_4$  a  $CD_4$ . Tento efekt však nebyl pozorován při použití 2-methylpropanu<sup>62,67</sup>, kde je limitujícím stupněm patrně oxidace NO nebo rozklad povrchového meziproduktu.

K aktivaci uhlovodíku dochází<sup>57,65</sup> při reakci s adsorbovanými komplexy  $NO_y$  ( $y \geq 2$ ). Předpokládá se, že vznikají organické nitroso-, případně nitrosloučeniny, které se dále podílejí na tvorbě molekuly  $N_2$ . V případě reakce  $NO_x$  s methanem je vyloučena tvorba olefinů, ale je možné spojení dvou methylových radikálů na ethan<sup>50</sup>. Komplikovanější situace je u vyšších uhlovodíků. Odtržením H atomu z propenu vznikal allylový radikál a isokyanát nebo  $HCN^{68}$  jako meziprodukt, naopak u propanu tento meziprodukt pozorován nebyl<sup>65,69</sup>, ale vznikal sekundární propylový radikál<sup>70</sup>.

Isotopové značení atomů dusíku  $^{14}N$  a  $^{15}N$  v molekule NO prokázalo<sup>70,71</sup>, že při vzniku molekuly dusíku pochází jeden atom dusíku z adsorbovaného dusíkatého meziproduktu a druhý z plynné molekuly NO.

I přes dlouhodobý výzkum mechanismu SCR- $NO_x$  uhlovodíky na zeolitových katalyzátorech se nepodařilo jednoznačně prokázat sled elementárních reakcí. Přestože jsou základní aspekty SCR- $NO_x$  uhlovodíky (role kyslíku, první stupeň, limitující stupeň, tvorba molekuly  $N_2$ ) podobné, nelze mechanismus SCR- $NO_x$  uhlovodíky vystihnout jedním, univerzálním mechanismem, avšak sled radikálových reakcí je specifický pro určitý typ katalyzátoru a uhlovodíku. Byly navrženy jednotlivé mechanismy, např. pro SCR- $NO_x$  methanem na Pd-MFI (cit.<sup>72</sup>), Co-MFI (cit.<sup>73,74</sup>) (obr. 2), Co-FER

Obr. 2. Předpokládaný reakční mechanismus SCR-NO<sub>x</sub> methanem na Co-ZSM-5

(cit.<sup>57</sup>), Cu-MFI (cit.<sup>73</sup>) a Fe-MFI (cit.<sup>73</sup>), SCR-NO<sub>x</sub> propanem na Cu-MFI (cit.<sup>63</sup>) a Fe-MFI (cit.<sup>75</sup>), SCR-NO<sub>x</sub> propenem na Cu-MFI (cit.<sup>76</sup>) a Ag/γ-Al<sub>2</sub>O<sub>3</sub> (cit.<sup>77,78</sup>) a SCR-NO<sub>x</sub> 2-methylpropanem<sup>67</sup> na M-MFI (M = Cu, Co, Fe) předpokládající sled radikálových reakcí.

Znalost mechanismu je nezbytná pro vývoj optimální struktury katalyzátoru, stejně tak jako pro optimální vedení celého procesu. Na základě studií mechanismu byly charakterizovány vlastnosti katalyzátoru vhodného pro SCR-NO<sub>x</sub> uhlovodíky. Katalyzátor by měl vykazovat vysokou kapacitu pro adsorpci NO a uhlovodíku, vysokou rychlosť oxidace NO na NO<sub>2</sub> a vysoký stupeň konverze redukce NO<sub>x</sub> a naopak nízký stupeň konverze oxidace uhlovodíku molekulárním kyslíkem<sup>79</sup>.

#### 2.2.3. Vliv uhlovodíku a typu kationtu iontově vyměněného do matrice zeolitu

Uhlovodíky se pro daný katalyzátor dělí vzhledem k redukci NO<sub>x</sub> na selektivní a neselektivní<sup>21</sup>. Methan je selektivním redukčním činidlem pro Co (cit.<sup>50,64</sup>), Pd (cit.<sup>80–84</sup>), Ga a In (cit.<sup>49,85,86</sup>) ve vysokosilikátových zeolitech, zatímco pro Cu-MFI (cit.<sup>21,64,87,88</sup>) a Fe-MFI (cit.<sup>71,89</sup>) je neselektivním redukčním činidlem. Adsorbované komplexy NO<sub>y</sub> nejsou v případě Cu-MFI schopny odstranění atomu H z molekuly CH<sub>4</sub> (cit.<sup>90</sup>), ale naopak přednostně probíhá oxidace CH<sub>4</sub> na CO<sub>2</sub> (cit.<sup>63</sup>). Avšak Cu-NO<sub>y</sub> komplexy reagují s vyššími uhlovodíky, např. propanem<sup>90</sup>. Obecně lze shrnout, že aktivita a selektivita katalyzátoru pro SCR-NO<sub>x</sub> je výrazně vyšší při použití propanu nebo 2-methylpropanu, než methanu jako redukčního činidla.

Katalytická aktivita M-MFI (M = Co (cit.<sup>52,64,79,91</sup>), Cu (cit.<sup>55,92–94</sup>), Pd (cit.<sup>84</sup>), Fe (cit.<sup>95,96</sup>), Ga (cit.<sup>97</sup>) a Pd (cit.<sup>81,84</sup>), M-BEA (M = Co (cit.<sup>98,99</sup>), Cu (cit.<sup>55</sup>)) a dalších zeolitů (Co-FER (cit.<sup>100</sup>), Cu-Y (cit.<sup>94</sup>) apod.) obecně roste s množstvím vyměněného kationtu do stupně iontové výměny 80–100 %. Další zvýšení koncentrace kationtu v zeolitu obecně vede k poklesu katalytické aktivity, případně selektivity katalyzátoru<sup>99</sup>. Zatímco v zeolitech s nižším stupněm iontové výměny je převážná část kationtů přítomná ve formě jedno- nebo dvojmocného iontu, za vyššího stupně iontové výměny byl popsán výskyt oxo-komplexů [Cu-O-Cu]<sup>2+</sup> (cit.<sup>90</sup>), [HO-Fe-O-Fe-OH]<sup>2+</sup> (cit.<sup>101</sup>), μ-oxo kobaltových center<sup>99</sup> apod. U zeolitů obsahujících více kovu než odpovídá výměnné kapacitě byla pozorována přítomnost oxidových „klastrů“ jako jsou PdO (cit.<sup>84</sup>), Co<sub>3</sub>O<sub>4</sub> (cit.<sup>98</sup>), CuO (cit.<sup>90</sup>) apod. Vznik oxidové složky byl rovněž popsán v souvislosti s deaktivací katalyzátoru v průběhu SCR-NO<sub>x</sub> uhlovodíky<sup>80</sup>. To naznačuje, že aktivními centry jsou iontově vyměnění kationty kovů koordinované k matrici zeolitu a ne oxidové částice, které se tvoří při vyšším obsahu kationtů v zeolitu.

### 3. Vliv vodní páry na selektivní katalytickou redukci NO<sub>x</sub> uhlovodíky

Vodní pára je silný konkurenční adsorbent k reaktantům SCR-NO<sub>x</sub> uhlovodíky. Přibližně 10–12 obj.% H<sub>2</sub>O je obsaženo v reálných exhalátech ze spalovacích procesů a z chemického průmyslu a jen cca 0,1 obj.% H<sub>2</sub>O vzniká v průběhu reakce<sup>102</sup>.

Tabuľka II

Aktivita vybraných katalyzátorov pro SCR- $\text{NO}_x$  uhlovodíky v prítomnosti vodní páry a  $\text{SO}_2$ 

Katalyzátor	$x$ (NO na $\text{N}_2$ ) [%]	$\text{C}_x\text{H}_y$	$T$ [°C]	$c$ ( $\text{H}_2\text{O}$ ) [obj.%]	$c$ ( $\text{SO}_2$ ) [ppm]	Zatížení katalyzátoru <sup>a</sup> [ $\text{h}^{-1}$ ]	Stabilita [h]	Poznámky	Lit.
Co-MFI	90	isobutan	390	10	–	42 000	50	příprava sublimací $\text{CoCl}_2$	118
Co-MFI	96	isobutan	400	10	–	42 000	100	příprava sublimací $\text{CoBr}_2$	119
Co-BEA	73	propan	400	9	0,3	15 000	4 000		79,112
Fe-MFI	95	isobutan	500	20	150	4 200	2 500	nebylo reprodukováno	95
Fe-MFI	76	isobutan	375	10	–	42 000	–		96
Fe-MFI	80	propan	350	7	–	7 500	–		123
FeLa-MFI	90	isobutan	350	10	–	42 000	100	La: nárůst $x$ (NO na $\text{N}_2$ ) ze 70 na 90 %	103
CoPt-MFI	55	propen	350	6	200	19 500	–	0,1 hm.% Pt, selektivita na $\text{N}_2$ 90 %	58
PdCo-MFI	65	methan	500	10	–	740	40	0,4 hm.% Pd, 3,3 hm.% Co	83
PdCe-MOR	58	dodekan	350	15	100	30 000	240		144
IrIn-MFI	59	methan	500	5	–	36 000	–	0,2 hm.% Ir	85,148
PtIn-MFI	68	methan	500	5	–	36 000	–	1 hm.% Pt	85

<sup>a</sup> Objem plynné směsi při laboratorní teplotě a tlaku dávkovaný za jednotku času na jednotku objemu lože katalyzátoru (GHSV)

Jak již bylo uvedeno v kapitole 2, odolnost katalyzátoru k vodní páře je jedním z klíčových problémů aplikace SCR- $\text{NO}_x$  uhlovodíky (tab. II). Katalyzátor může v prítomnosti vodní páry podléhat reverzibilní nebo ireverzibilní deaktivaci. Reverzibilní deaktivace zeolitu je způsobena adsorpcí molekul vody na aktivních centrech, protože molekuly vody jsou stejně jako  $\text{NO}_x$  Lewisovy báze a adsorbuje se na stejných centrech<sup>102</sup>. Ireverzibilní deaktivace je způsobena hydrolyzou atomů Al z mřížky zeolitu vedoucí ke ztrátě kapacity iontové výměny zeolitu a k přeměně aktivních center kationtu na oxidové klastry. Studie vlivu vodní páry na aktivitu rozličných struktur katalyzátorů pro SCR- $\text{NO}_x$  uhlovodíky prokázala, že většina katalyzátorů na bázi zeolitů podléhá v prítomnosti vodní páry pouze reverzibilnímu poklesu aktivity.

Vliv vodní páry na aktivitu zeolitu pro SCR- $\text{NO}_x$  uhlovodíky byl vysvětlen na základě kinetiky reakce. K popisu SCR- $\text{NO}_x$  methanem na Co-MFI (cit.<sup>102</sup>) a Co-FER (cit.<sup>100</sup>) byl použit Langmuirův-Hinshelwoodův mechanismus. Byl vysloven předpoklad, že molekuly vody jsou v zeolitu adsorbovány na centrech, aktivních jak pro redukci NO, tak pro oxidaci uhlovodíku. S rostoucí teplotou reakce se snížuje rovnovážná adsorpce molekul vody na aktivních centrech, čímž se snížuje i negativní vliv vodní páry na katalytickou aktivitu.

Přestože pro většinu katalyzátorů vodní pára a  $\text{SO}_2$  působí negativně na katalytickou aktivitu redukce NO uhlovodíky, u některých katalyzátorů byla aktivita redukce NO uhlovodíky v prítomnosti vodní páry (Fe-MFI<sup>96,97,103</sup>, Pd-MOR<sup>104</sup>), resp. v prítomnosti  $\text{SO}_2$  (Pd-Pt/ZrS<sub>2</sub>) (cit.<sup>105</sup>) naopak zvýšena. Tentotéž jev zatím nebyl objasněn.

### 3.1. Co-zeolity

V závislosti na matrici zeolitu byla nalezena následující pořadí aktivit Co-zeolitů pro redukci NO methanem v nepřítomnosti vodní páry MFI > FER > BEA >> MOR >> CHA ≈

FAU (cit.<sup>30,106</sup>). Ve struktuře zeolitů Co-MFI (cit.<sup>107</sup>), Co-FER (cit.<sup>108</sup>), Co-BEA (cit.<sup>109</sup>) a Co-MOR (cit.<sup>110</sup>) byly určeny tři polohy izolovaných Co-iontů vykazujících rozdílnou aktivitu při redukci NO methanem. Zatímco ve strukturách FER a MOR vykazovaly nejvyšší aktivitu Co ionty vázáné k mřížkovým kyslíkům hlavní kanálové struktury, ve struktuře MFI byly nejaktivnější Co ionty koordinované v deformovaném šestičlenném kruhu na průsečíku rovného a sinusoidálního kanálu<sup>106</sup>.

Odlišné pořadí aktivit Co-zeolitů bylo nalezeno pro SCR NO propanem v prítomnosti vodní páry<sup>79,111–113</sup>, a to BEA > MFI > MOR >> FER >> Y.

Co-BEA vykazoval vysokou a stabilní aktivitu redukce NO propanem v prítomnosti 9 obj.%  $\text{H}_2\text{O}$  a 0,3 ppm  $\text{SO}_2$  po dobu 4000 h (cit.<sup>79,112,114</sup>). Po ukončení katalytického testu nebyly nalezeny změny struktury a ve skeletu zeolitu byl detegován<sup>115</sup> pouze tetraedricky koordinovaný Al. Pouze atomárně dispergované Co ionty byly přítomny v Co-BEA až do maximálního stupně iontové výměny (100%). Další Co-centra, identifikována jako  $\mu$ -oxokobaltové komplexy byla pozorována v oblasti úplné iontové výměny<sup>98,99</sup>. Oxidové klastry Co<sub>3</sub>O<sub>4</sub> byly pozorovány v zeolitu s vyšší koncentrací Co než jaká odpovídá výměnné kapacitě, přičemž bylo prokázáno, že oxidové klastry jsou příčinou poklesu aktivity SCR- $\text{NO}_x$  v důsledku zvýšení oxidace propanu.

Studium vlivu iontové vyměnných kationtů (Ni, Ca, Sr, Ba, La, Mn, Ag) do struktur Co-BEA zeolitu prokázalo pozitivní vliv Ni (cit.<sup>116,117</sup>) na aktivitu SCR- $\text{NO}_x$  propanem v prítomnosti vodní páry. Případně iontově vyměnného In (InNiCo-BEA) se dosáhlo dalšího zvýšení aktivity katalyzátoru za nižší teploty.

Co-MFI, připravený sublimací  $\text{CoCl}_2$  nebo  $\text{CoBr}_2$  vykazoval stabilní aktivitu redukce NO 2-methylpropanem v prítomnosti vodní páry po dobu 50 h (cit.<sup>118</sup>) nebo 100 h (cit.<sup>119</sup>). Stabilní aktivita Co-MFI byla přisouzena oxo-Co

iontům<sup>118,119</sup>. Avšak dlouhodobější testy (400 h) prokázaly významnou ztrátu aktivity Co-MFI (cit.<sup>79,111,112</sup>).

Zvýšení katalytické aktivity Co-MFI bylo docíleno přítomností Pd (cit.<sup>91</sup>), přičemž oba kationty byly dobře dispergované a lokalizované uvnitř kanálů zeolitu. Pozitivního efektu na katalytickou aktivitu Co-MFI bylo rovněž dosaženo<sup>58</sup> přidáním malého množství Pt (~0,1 hm. %).

### 3.2. Fe-zeolity

Fe-zeolity vykazují vysokou aktivitu SCR-NO<sub>x</sub> C3 uhlovodíky, avšak v produktech se nalézá poměrně vysoká koncentrace nežádoucího CO (cit.<sup>96,103,120</sup>).

Významným parametrem ovlivňujícím aktivitu Fe-zeolitových katalyzátorů je způsob zavedení Fe center do zeolitu. Byla popsána příprava Fe-MFI iontovou výměnou Fe(II) ve vodném roztoku solí dvojvazného železa FeSO<sub>4</sub> · 7 H<sub>2</sub>O (cit.<sup>96,121</sup>), FeC<sub>2</sub>O<sub>4</sub> · 2 H<sub>2</sub>O (cit.<sup>95,96</sup>) nebo Fe(NO<sub>3</sub>)<sub>2</sub> (cit.<sup>122</sup>), iontovou výměnou s FeCl<sub>2</sub> v tuhé fázi (cit.<sup>123</sup>) a sublimací FeCl<sub>3</sub> do H-MFI (cit.<sup>96</sup>). V závislosti na pH byly při iontové výměně ve vodném roztoku přítomny Fe(II) ionty (pH < 2), [Fe(OH)]<sup>+</sup> (pH 4) a FeOOH nebo<sup>95</sup> Fe(OH)<sub>3</sub> (pH > 5). Fe(III) nelze do vysokosilikátových zeolitů iontově vyměnit v důsledku nedostatečného lokálního záporného náboje skeletu.

Prestože Fe-MFI, připravený iontovou výměnou ve vodném roztoku FeC<sub>2</sub>O<sub>4</sub> vykazoval vysokou a stabilní aktivitu při redukci NO 2-methylpropanem<sup>95</sup> v přítomnosti 20 obj.% H<sub>2</sub>O a 150 ppm SO<sub>2</sub> po dobu 2500 h, výsledky nebyly reproducovatelné<sup>124</sup>.

Fe-MFI připravený sublimací FeCl<sub>3</sub> do H-MFI vykazoval stabilní aktivitu redukce NO 2-methylpropanem v přítomnosti<sup>96</sup> 10 obj.% H<sub>2</sub>O, přičemž maximální hodnota konverze NO na N<sub>2</sub> byla vyšší než při redukci NO propanem<sup>89</sup>. Odolnost Fe-MFI k přítomnosti vodní páry byla vysvětlena přítomností oxo-Fe komplexů, snadno uvolňujících kyslík, přičemž tyto oxo-Fe komplexy tvořily přibližně 20 % Fe v zeolitu<sup>101</sup>. Jiná studie vysvětlila vysokou odolnost Fe-MFI k vodní páře na základě přítomnosti železa v tetraedrických nebo deformovaných tetraedrických polohách nechemisorbujících molekulu vody<sup>125</sup>.

Fe-MFI připravený iontovou výměnou s FeCl<sub>3</sub> v tuhé fázi vykazoval<sup>126</sup> vysokou aktivitu redukce NO propanem v přítomnosti vodní páry při teplotě >300 °C.

Za aktivní centrum SCR-NO<sub>x</sub> uhlovodíky na Fe-MFI v přítomnosti vodní páry byl navržen můstkový komplex [HO-Fe-O-Fe-OH]<sup>2+</sup>, vyžadující přítomnost dvou blízkých AlO<sub>2</sub><sup>-</sup> jednotek ve skeletu zeolitu<sup>96,127–129</sup>.

Zvýšení katalytické aktivity Fe-MFI bylo dosaženo v přítomnosti La (cit.<sup>103</sup>) a Pt (cit.<sup>123</sup>). Zatímco La zvýšil oxidaci uhlovodíku kyslíkem, v přítomnosti malého množství Pt byla zvýšena oxidace nežádoucího CO na CO<sub>2</sub>.

### 3.3. Pt-zeolity

Pt-zeolity jsou aktivní a stabilní katalyzátory pro SCR-NO<sub>x</sub> v přítomnosti vodní páry při relativně nízkých teplotách 200–300 °C (cit.<sup>44,130–132</sup>). Malá změna katalytické aktivity při redukci NO byla po přidání vodní páry a SO<sub>2</sub> do reakční směsi nalezena pro Pt-Y (cit.<sup>130,132</sup>) a Pt-MFI (cit.<sup>133–134</sup>). Významnou nevýhodou Pt-zeolitů je však tvorba nežádoucího N<sub>2</sub>O, často převyšující množství vzniklého N<sub>2</sub> (cit.<sup>44,130–132,135</sup>).

### 3.4. Pd-zeolity

Přítomnost protonů v zeolitu se ukázala být významnou pro SCR-NO<sub>x</sub> uhlovodíky na Pd-zeolitech. Byl prokázán bifunkční mechanismus zahrnující ionty Pd<sup>2+</sup> a protony<sup>136–138</sup>. Rovněž byla prokázána reakce mezi protony a klastry PdO za tvorby Pd<sup>2+</sup> iontů<sup>139,140</sup>. I přesto Pd-zeolity obsahující PdO klastry vykazovaly pokles aktivity SCR-NO<sub>x</sub> methanem v důsledku zvýšené oxidace methanu<sup>141,142</sup>. Klastry PdO byly rovněž prokázány v zeolitech, výrazně deaktivovaných v důsledku přítomnosti vodní páry<sup>80,81,143</sup>.

Pouze Pd-MFI s nižším poměrem Si/Al (Si/Al = 15) byl aktivní v přítomnosti vodní páry<sup>81</sup>. Naopak Pd-MFI s vyšším Si/Al (Si/Al = 50) ztratil aktivitu při redukci NO methanem již v nepřítomnosti vodní páry<sup>80</sup> a přítomnost vodní páry vedla k ireverzibilní ztrátě aktivity v průběhu 7 h (cit.<sup>83</sup>). Katalytická aktivita Pd-MFI pro redukci NO methanem byla efektivně zvýšena přítomností Co, Rh, Ag, Ce a Fe (cit.<sup>83,144,145</sup>). Pd-MOR byl aktivní<sup>80</sup> pro SCR-NO<sub>x</sub> methanem v nepřítomnosti vodní páry (30 h), avšak přítomnost vodní páry a SO<sub>2</sub> způsobila ztrátu prakticky veškeré aktivity<sup>80,105</sup>.

Aktivní centra byla nezávisle na sobě určena jak Ramannovou spektroskopii<sup>80,81</sup>, tak chemisorpcí NO spolu s kvantitativní analýzou iontu Pd<sup>2+</sup> iontově vyměněných za ionty Na<sup>+</sup> (cit.<sup>82,84</sup>). Zatímco izolované, iontově vyměněné ionty Pd byly označeny za částice nezbytné pro vysokou aktivitu redukce NO methanem v přítomnosti vodní páry<sup>80–82,84,146,147</sup>, PdO klastry byly označeny za příčinu nežádoucí oxidace methanu<sup>146</sup>.

### 3.5. Ga- a In-MFI

Ga-MFI a In-MFI jsou aktivní a vysoko selektivní katalyzátory pro SCR-NO<sub>x</sub> methanem<sup>49,85,86</sup>, přičemž vyšší aktivita redukce NO methanem, a to jak v nepřítomnosti<sup>56,86</sup>, tak v přítomnosti vodní páry, byla popsána pro In-MFI (cit.<sup>49,85,97</sup>). Byl navržen bifunkční reakční mechanismus, zahrnující oxidaci NO na kyselých centrech zeolitu a redukci vzniklého NO<sub>2</sub> na Ga nebo In centrech.

Byla navržena dvě rozdílná vysvětlení vlivu vodní páry na katalytickou aktivitu redukce NO methanem na Ga- a In-MFI předpokládající negativní vliv vodní páry jak na oxidaci NO na NO<sub>2</sub> (cit.<sup>49,85</sup>), tak na adsorpci methanu<sup>97</sup>.

Zvýšení katalytické aktivity redukce NO methanem v přítomnosti vodní páry na In-MFI bylo dosaženo za přítomnosti Pt nebo Ir (cit.<sup>85,148</sup>). V případě IrIn-MFI bylo prokázáno zvýšení rychlosti oxidace NO (cit.<sup>149</sup>), tak i zvýšení množství chemisorbovaného NO<sub>2</sub> na InO<sup>+</sup> centrech<sup>149,150</sup>. Byla navržena představa, že molekuly NO difundují do pórů zeolitu, kde jsou oxidovány kyslíkem na Ir centrech, přičemž vzniklé molekuly NO<sub>2</sub> se následně adsorbují na InO<sup>+</sup>, kde probíhá redukce methanem.

### 3.6. Cu-zeolity

Cu-MFI vykazoval v nepřítomnosti vodní páry relativně vysokou katalytickou aktivitu redukce NO uhlovodíky C3, avšak přítomnost vodní páry vedla k vysoké ztrátě této aktivity<sup>95,96</sup>, což bylo pozorováno také u dalších Cu-zeolitů<sup>118</sup>. Zatímco zeolity s vyšší koncentrací kyselých center, tj. CuH-MFI (cit.<sup>106</sup>) a CuH-FER (cit.<sup>106</sup>), byly aktivnější při redukci NO

methanem v nepřítomnosti vodní páry, zeolity s nízkou koncentrací kyselých center, tj. CuNa-MFI (cit.<sup>151</sup>) a CuNa-MOR (cit.<sup>152</sup>), byly aktivnější při redukci NO propanem v přítomnosti vodní páry.

Za příčinu deaktivace Cu-zeolitů v přítomnosti vodní páry byla označena přeměna izolovaných  $\text{Cu}^{2+}$  iontů na oxidové částice<sup>153</sup> a dealuminace zeolitu<sup>154</sup>. Částečné zvýšení stability katalyzátoru v přítomnosti vodní páry bylo pozorováno po zavedení La do matrice zeolitu<sup>154–156</sup>.

#### 4. Závěr

SCR- $\text{NO}_x$  uhlovodíky se jeví jako nadějný technologický proces pro odstranění  $\text{NO}_x$  z exhalátů spalovacích procesů. Problémem využití procesu SCR- $\text{NO}_x$  uhlovodíky je stálé nízká aktivita katalyzátoru za reálných podmínek a zejména odolnost katalyzátoru k přítomnosti vodní páry. Katalyzátory na bázi Fe-zeolitů a Pt-zeolitů s relativně vysokou stabilní aktivitou v přítomnosti vodní páry vykazují v produktech CO a  $\text{N}_2\text{O}$ . Jediným katalyzátorem na bázi zeolitu splňujícím podmínky pro vedení SCR- $\text{NO}_x$  procesu je Co-BEA katalyzátor s využitím propanu jako redukčního činidla.

#### LITERATURA

- Bosch H., Janssen F.: Catal. Today 2, 369 (1988).
- Salles J., Janischewski J., Jaecker Voirol A., Martin B.: Atmos. Environ. 30, 1965 (1996).
- Frost J. C., Smedler G.: Catal. Today 26, 207 (1995).
- Syri S., Amann M., Schöpp W., Heyes C.: Environ. Pollut. 113, 59 (2001).
- Nicholson J. P., Weston K. J., Fowler D.: Atmos. Environ. 35, 2009 (2001).
- Parvulescu V. I., Grange P., Delmon B.: Catal. Today 46, 233 (1998).
- Khalil M. A. K.: Chemosphere – Global Change Sci. 2, 233 (2000).
- Centi G., Perathoner S., Vazzana F., Marella M., Tomasselli M., Mantegazza M.: Adv. Environ. Res. 4, 325 (2000).
- Belton D. N., Taylor K. C.: Curr. Opin. Solid State Mater. 4, 97 (1999).
- Olivier J. G. J., Bouwman A. F., Van der Hoek K. W., Berdowski J. J. M.: Environ. Pollut. 102, 135 (1998).
- Bond D. W., Steiger S., Zhang R., Tie X., Orville R. E.: Atmos. Environ. 36, 1509 (2002).
- Shelef M.: Chem. Rev. 95, 209 (1995).
- Zelenka P., Cartellieri W., Herzog P.: Appl. Catal., B 10, 3 (1996).
- Amann M., Lutz M.: J. Hazard. Mater. 78, 41 (2000).
- Taylor K. C.: Catal. Rev. 35, 457 (1993).
- Shelef M., McCabe R. W.: Catal. Today 62, 35 (2000).
- Howitt C., Pitchon V., Maire G.: J. Catal. 154, 47 (1995).
- Yung-Fang Yu Yao: J. Catal. 87, 152 (1984).
- Beeckman J. W., Hegedus L. L.: Ind. Eng. Chem. Res. 30, 969 (1991).
- Pereira C. J., Plumlee K. W.: Catal. Today 13, 23 (1992).
- Iwamoto M., Hamada H.: Catal. Today 10, 57 (1991).
- Wichterlová B., Sobalk Z., Skokánek M.: Appl. Catal., B 103, 269 (1993).
- Sullivan J. A., Cunningham J., Morris M. A., Keneavey K.: Appl. Catal., B 7, 137 (1995).
- Ma A. Z., Muhler M., Grünert W.: Appl. Catal., B 27, 37 (2000).
- Iwamoto M., Furukawa H., Mine Y., Uemura F., Mikuriya S., Kagawa S.: J. Chem. Soc., Chem. Commun. 16, 1272 (1986).
- Sato S., Yoshihiro Y., Yahiro H., Mizuno N., Iwamoto M.: Appl. Catal., A 70, L1 (1991).
- Iwamoto M., Yahiro H., Tanda K., Mizuno N., Mine Y., Kagawa S.: J. Phys. Chem. 95, 3727 (1991).
- Winter E. R. S.: J. Catal. 22, 158 (1971).
- Dědeček J., Wichterlová B.: Phys. Chem. Chem. Phys. 1, 629 (1999).
- Wichterlová B., Dědeček J., Sobalk Z.: *NATO Advanced Research Workshop: In Catalysis by Unique Metal Ion Structures in Solid Matrices. From Science to Application, Praha, 4.–7. července 2000*. NATO Science Series II, Vol. 13 (Centi G., Wichterlová B., Bell A. T., ed.), str. 31. Kluwer, Dordrecht 2001.
- Dědeček J., Bortnovský O., Vondrová A., Wichterlová B.: J. Catal. 200, 160 (2001).
- Armor J. N.: Catal. Today 26, 99 (1995).
- Heck R. M.: Catal. Today 53, 519 (1999).
- Iwamoto M.: Catal. Today 29, 29 (1996).
- Traa Y., Burger B., Weitkamp J.: Microporous Mesoporous Mater. 30, 3 (1999).
- Iwamoto M.: *Proceeding Meet. Catal. Technol. Removal of  $\text{NO}_x$ , Tokyo, leden 1990*, str. 17; Iwamoto M., Yahiro M., Yuu Y., Shundo S., Mizuno N.: Shokubai 32, 430 (1990).
- Held W., König A., Richter T., Puppe L.: SAE Paper 4 900 496 (1990).
- Held W., König A. (Volkswagen AG): DE 3 642 018 (B01D53/36).
- Yoshiyasu F., Hideaki M., Shiroh K., Masayuki F. (Toyota): JP 63 100 919 (B01D53/36).
- Hamada H., Kintaichi Y., Sasaki M., Ito T., Tabata M.: Appl. Catal., B 75, L1 (1991).
- Fritz A., Pitchon V.: Appl. Catal., B 13, 1 (1997).
- Miyadera T.: Appl. Catal., B 2, 199 (1993).
- Keshavaraja A., She X., Flytzani-Stephanopoulos M.: Appl. Catal., B 27, L1 (2000).
- Obuchi A., Ohi A., Nakamura M., Ogata A., Mizuno K., Ohuchi H.: Appl. Catal., B 2, 71 (1993).
- Satokawa S., Shibata J., Shimizu J., Satsuma A., Hatori T.: Appl. Catal., B, v tisku
- Shimizu K., Satsuma A., Hatori T.: Appl. Catal., B 25, 239 (2000).
- Breck D. W.: *Zeolite Molecular Sieves*. Wiley, New York 1974.
- Radtke F., Köppel R. A., Baiker A.: Catal. Today 26, 159 (1995).
- Kikuchi E., Yogo K.: Catal. Today 22, 73 (1994).
- Lukyanov D. B., Sill G. A., d'Itri J. L., Hall W. K.: J. Catal. 153, 265 (1995).
- Lukyanov D. B., Lombardo E. A., Sill G. A., d'Itri J. L., Hall W. K.: J. Catal. 163, 447 (1996).
- Stakheev A. Y., Lee C. W., Park S. J., Chong P. J.: Catal. Lett. 38, 271 (1996).
- Yokoyama C., Misono M.: J. Catal. 150, 9 (1994).

54. Lukyanov D. B., d'Itri J. L., Sill G. A., Hall W. K.: *11th Int. Congress on Catalysis*, Stud. Surf. Sci. Catal. 101 A, 651 (1996).
55. Corma A., Fornes V., Palomares E.: Appl. Catal., B 11, 233 (1997).
56. Zhou X., Zhang T., Xu Z., Lin L.: Catal. Lett. 40, 35 (1996).
57. Li Y. J., Slager T. L., Armor J. N.: J. Catal. 150, 388 (1994).
58. Maisuls S. E., Seshan K., Feast S., Lercher J.A.: Appl. Catal., B 29, 69 (2001).
59. Brandin J. G. M., Andersson L. A. H., Odenbrand C. U. I.: Catal. Today 4, 187 (1989).
60. Sobalík Z., Kubánek P., Bortnovský O., Vondrová A., Tvarůžková Z., Šponer J. E., Wichterlová B.: *International FEZA Conference, Taormina, 1.–5. září 2002*, Stud. Surf. Sci. Catal. 142 A, 533 (2002).
61. Cowan A. D., Dumpelmann R., Cant N. W.: J. Catal. 151, 356 (1995).
62. Cant N. W., Cowan A. D.: Catal. Today 35, 89 (1997).
63. Adelman B. J., Beutel T., Lei G. D., Sachtler W. M. H.: Appl. Catal., B 11, L1 (1997).
64. Witzel F., Sill G. A., Hall W. K.: J. Catal. 149, 229 (1994).
65. Beutel T., Adelman B. J., Lei G. D., Sachtler W. M. H.: Catal. Lett. 32, 83 (1995).
66. Cowan A. D., Cant N. W.: Stud. Surf. Sci. Catal. 107, 285 (1997).
67. Cant N. W., Liu I. O. Y.: Catal. Today 63, 133 (2000).
68. Ukius Y., Sato S., Muramatsu G., Yoshida K.: Catal. Lett. 11, 177 (1991).
69. Hwang I. C., Kim D. H., Woo S. I.: Catal. Lett. 42, 177 (1996).
70. Beutel T., Adelman B., Sachtler W. M. H.: Catal. Lett. 37, 125 (1996).
71. Chen H. Y., Voskoboinikov T., Sachtler W. M. H.: J. Catal. 180, 171 (1998).
72. Lobree L. J., Aylor A. W., Reimer J. A., Bell A. T.: J. Catal. 181, 189 (1999).
73. Lombardo E. A., Sill G. A., d'Itri J. L., Hall W. K.: J. Catal. 173, 440 (1998).
74. Lobree L. J., Aylor A. W., Reimer J. A., Bell A. T.: J. Catal. 169, 188 (1997).
75. Lobree L. J., Hwang I.-C., Reimer J. A., Bell A. T.: Catal. Lett. 63, 233 (1999).
76. Vergne S., Berreghis A., Tantet J., Canaff C., Magnoux P., Davias N., Noirot R.: Appl. Catal., B 18, 37 (1998).
77. Meunier F. C., Breen J. P., Zuzaniuk V., Olsson M., Ross J. R. H.: J. Catal. 187, 493 (1999).
78. Meunier F. C., Zuzaniuk V., Breen J. P., Olsson M., Ross J. R. H.: Catal. Today 59, 287 (2000).
79. Tabata T., Kokitsu M., Ohtsuka H., Okada O., Sabatino L. M. F., Bellussi G.: Catal. Today 27, 91 (1996).
80. Ohtsuka H., Tabata T.: Appl. Catal., B 21, 133 (1999).
81. Ohtsuka H., Tabata T.: Appl. Catal., B 26, 275 (2000).
82. Ogura M., Hayashi M., Kikuchi E.: Catal. Today. 45, 139 (1998).
83. Ogura M., Kage S., Hayashi M., Matsukata M., Kikuchi E.: Appl. Catal., B 27, L213 (2000).
84. Ogura M., Hayashi M., Kage S., Matsukata M., Kikuchi E.: Appl. Catal., B 23, 247 (1999).
85. Kikuchi E., Ogura M., Aratani N., Sugiura Y., Hiromoto S., Yogo K.: Catal. Today 27, 35 (1996).
86. Yogo K., Kikuchi E.: Stud. Surf. Sci. Catal. 84 C, 1547 (1994).
87. Cho B. K.: J. Catal. 142, 418 (1993).
88. Montreuil C. N., Shelef M.: Appl. Catal., B 1, L1 (1992).
89. Chen H. Y., Voskoboinikov T., Sachtler W. M. H.: Catal. Today 54, 483 (1999).
90. Adelman B. J., Beutel T., Lei G. D., Sachtler W. M. H.: J. Catal. 158, 327 (1996).
91. Ogura M., Sugiura Y., Hayashi M., Kikuchi E.: Catal. Lett. 42, 185 (1996).
92. Torre Abreu C., Ribeiro M. F., Henriques C., Ribeiro F. R.: Appl. Catal., B 11, 383 (1997).
93. Bell V. A., Feeley J. S., Deeba M., Farrauto R. J.: Catal. Lett. 29, 15 (1994).
94. Petunchi J. O., Hall W. K.: Appl. Catal., B 3, 239 (1994).
95. Feng X. B., Hall W. K.: J. Catal. 166, 368 (1997).
96. Chen H. Y., Sachtler W. M. H.: Catal. Today 42, 73 (1998).
97. Tabata T., Kokitsu M., Okada O.: Appl. Catal., B 6, 225 (1995).
98. Ohtsuka H., Tabata T., Okada O., Sabatino L. M. F., Bellussi G.: Catal. Lett. 44, 265 (1997).
99. Ohtsuka H., Tabata T., Okada O., Sabatino L. M. F., Bellussi G.: Catal. Today 42, 45 (1998).
100. Li Y. J., Slager T. L., Armor J. N.: J. Catal. 150, 376 (1994).
101. Voskoboinikov T., Chen H. Y., Sachtler W. M. H.: Appl. Catal., B 19, 279 (1998).
102. Li Y. J., Battavio P. J., Armor J. N.: J. Catal. 142, 561 (1993).
103. Chen H. Y., Sachtler W. M. H.: Catal. Lett. 50, 125 (1998).
104. Descorme C., Gelin P., Lecuyer C., Primet M.: J. Catal. 177, 352 (1998).
105. Ohtsuka H., Tabata T., Hirano T.: Appl. Catal., B 28, L73 (2000).
106. Kaucký D., Vondrová A., Dědeček J., Wichterlová B.: J. Catal. 194, 318 (2000).
107. Dědeček J., Kaucký D., Wichterlová B.: Microporous Mesoporous Mater. 35, 483 (2000).
108. Kaucký D., Dědeček J., Wichterlová B.: Microporous Mesoporous Mater. 31, 75 (1999).
109. Dědeček J., Čapek L., Kaucký D., Sobalík Z., Wichterlová B.: J. Catal. 211, 198 (2002).
110. Dědeček J., Wichterlová B.: J. Phys. Chem. 103, 1462 (1999).
111. Tabata T., Ohtsuka H., Sabatino L. M. F., Bellussi G.: Microporous Mesoporous Mater. 21, 517 (1998).
112. Okada O., Tabata T., Kokitsu M., Ohtsuka H., Sabatino L. M. F., Bellussi G.: Appl. Surf. Sci. 121, 267 (1997).
113. Bellussi G., Sabatino L. M. F., Tabata T., Kokitsu M., Okada O., Hirofumi O. (Enitecnologie S.p.A., Osaka Gas Co. LTD): EP 732 140 (B01D53/86).
114. Bellussi G., Sabatino L. M. F., Tabata T., Kokitsu M., Okada O. (Enitecnologie S.p.A., Osaka Gas Co. LTD): EP 652 040 (B01D53/56).
115. Tabata T., Ohtsuka H., Bellussi G., Sabatino L. M. F.: *Proceeding 12<sup>th</sup> Int. Zeolite Conf.: Selective Catalytic Reduction of Nitrogen Oxides Using Hydrocarbons on Cobalt Ion-Exchanged Beta Zeolite, Baltimore, 1998* (Treacy M. N. J., Marcus B. K., Bisher M. E., Higgins

- J. B., ed.), str. 1169. Materials Research Society, Warendale 1998.
116. Bellussi G., Sabatino L. M. F., Tabata T., Kokitsu M., Okada O., Ohtsuka H. (Enitecnologie S.p.A., Osaka Gas Co. LTD): EP 739 651 (B01D53/94).
117. Bellussi G., Sabatino L. M. F., Ohtsuka H., Tabata T., Okada O. (Enitecnologie S.p.A., Osaka Gas Co., LTD): EP 766 992 (B01D53/86).
118. Wang X., Chen H. Y., Sachtler W. M. H.: *Appl. Catal.*, B 26, L227 (2000).
119. Wang X., Chen H. Y., Sachtler W. M. H.: *Appl. Catal.*, B 29, 47 (2001).
120. Chen H. Y., Wang X., Sachtler W. M. H.: *Appl. Catal.*, A 194, 159 (2000).
121. Pophal C., Yogo T., Yamada K., Segawa K.: *Appl. Catal.*, B 16, 177 (1998).
122. Joyner R. W., Stockenhuber M.: *Catal. Lett.* 45, 15 (1997).
123. Kogel M., Sandoval V. H., Schwieger W., Tissler A., Turek T.: *Catal. Lett.* 51, 23 (1998).
124. Hall W. K., Feng X. B., Dumesic J., Watwe R.: *Catal. Lett.* 52, 13 (1998).
125. Kucherov A. V., Montreuil C. A., Kucherova T. N., Shelef M.: *Catal. Lett.* 56, 173 (1998).
126. Kogel M., Monning R., Schwieger W., Turek T.: *J. Catal.* 182, 470 (1999).
127. Chen H. Y., El-Malki E. M., Wang X., van Santen R. A., Sachtler W. M. H.: *J. Mol. Catal.*, A 162, 159 (2000).
128. Marturano P., Drozdová L., Kogelbauer A., Prins R.: *J. Catal.* 192, 236 (2000).
129. Battiston A. A., Bitter J. H., Koningsberger D. C.: *Catal. Lett.* 66, 75 (2000).
130. Amiridis M. D., Roberts K., Pereira C. J.: *Appl. Catal.*, B 14, 203 (1997).
131. Garcia-Cortes J. M., Perez-Ramirez J., Illan-Gomez M. J., Kapteijn F., Moulijn J. A., de Lecea G. S. M.: *Appl. Catal.*, B 30, 339 (2001).
132. Perez-Ramirez J., Garcia-Cortes J. M., Kapteijn F., Mul G., Moulijn J. A., de Lecea C. S. M.: *Appl. Catal.*, B 29, 285 (2001).
133. Iwamoto M., Yahiro H., Shin H. K., Watanabe M., Guo J., Konno M., Chikahisa T., Murayama T.: *Appl. Catal.*, B 5, L1 (1994.).
134. Shin H. K., Hirabayashi H., Yahiro H., Watanabe M., Iwamoto M.: *Catal. Today* 26, 13 (1995).
135. Denton P., Giroir-Fendler A., Schuurmar Y., Praliaud H., Mirodatos C., Primet M.: *Appl. Catal.*, A 220, 141 (2001).
136. Loughran C. J., Resasco D. E.: *Appl. Catal.*, B 7, 113 (1995).
137. Shimizu K., Okada F., Nakamura Y., Satsuma A., Hattori T.: *J. Catal.* 195, 151 (2000).
138. Kato H., Yokoyama C., Misono M.: *Catal. Today* 45, 93 (1998).
139. Adelman B. J., Sachtler W. M. H.: *Appl. Catal.*, B 14, 1 (1997).
140. Ali A., Alvarez W., Loughran C. J., Resasco D. E.: *Appl. Catal.*, B 14, 13 (1997).
141. Gelin P., Goguet A., Descorme C., Lecuyer C., Primet M.: *Stud. Surf. Sci. Catal.* 116, 275 (1998).
142. Wen B., Sun Q., Sachtler W. M. H.: *J. Catal.* 204, 314 (2001).
143. Descorme C., Gélin P., Lécuyer C., Primet M.: *Appl. Catal.*, B 13, 185 (1997).
144. Cordoba L. F., Flytzani-Stephanopoulos M., de Correa C. M.: *Appl. Catal.*, B 33, 25 (2001).
145. Misono M., Nishizaka Y., Kawamoto M., Kato H.: *Stud. Surf. Sci. Catal.* 105 B, 1501 (1997).
146. Koyano G., Yokoyama S., Misono M.: *Appl. Catal.*, A 188, 301 (1999).
147. Taylor A. W., Lobree L. J., Reimer J. A., Bell A. T.: *J. Catal.* 172, 453 (1997).
148. Ogura M., Hiromoto S., Kikuchi E.: *Chem. Lett.* 1995, 1135.
149. Ogura M., Hayashi M., Kikuchi E.: *Catal. Today* 42, 159 (1998).
150. Ogura M., Kikuchi E.: *Chem. Lett.* 1996, 1017.
151. Torre Abreu C., Ribeiro M. F., Henriques C., Ribeiro F. R.: *Catal. Lett.* 43, 31 (1997).
152. Torre Abreu C., Ribeiro M. F., Henriques C., Ribeiro F. R.: *Catal. Lett.* 43, 25 (1997).
153. Chung S. Y., Oh S. H., Kim M. H., Nam I. S., Kim Y. G.: *Catal. Today* 54, 521 (1999).
154. Budi P., Curry Hyde E., Howe R. F.: *Catal. Lett.* 41, 47 (1996).
155. Yan J. Y., Sachtler W. M. H., Kung H. H.: *Catal. Today* 33, 279 (1997).
156. Rokosz M. J., Kucherov A. V., Jen H. W., Shelef M.: *Catal. Today* 35, 65 (1997).

**L. Čapek and B. Wichterlová** (*Institute of Physical Chemistry, Academy of Sciences of the Czech Republic, Prague*): Selective Catalytic Reduction of NO<sub>x</sub> with Hydrocarbons on Zeolite Catalysts

Selective catalytic reduction of NO<sub>x</sub> with hydrocarbons over metal zeolite catalysts, which is a new method for the NO<sub>x</sub> emission control in atmosphere, has been described. Main attention is given to the progress in the development of the metal zeolite catalysts active in the presence of water vapor like in real exhaust gases. General aspects and mechanism of the reaction are also described. High and stable activity in the selective catalytic reduction under real conditions of exhaust gases is shown only by the Co-BEA catalyst developed by the ENI and Osaka Gas companies. Although Fe and Pt zeolites also show high activity in exhaust gases, they produce high concentrations of undesirable CO and N<sub>2</sub>O. Nevertheless, due to the complexity of the reduction of NO with hydrocarbons to nitrogen, the structure and function of the active sites in metal zeolites are not completely resolved and require further studies.

---

## NOMENKLATURA A TERMINOLOGIE

---

### DOPORUČENÍ IUPAC Terminology in Soil Sampling

The need to be understood is the first objective of writers and speakers, be a poet or a scientist. But there is difference: the scientist must be sure that, within a stated context, the terms used in articles, publications or in the daily conversation among colleagues, are intended by all in the same precise way, without any possible ambiguity. As already pointed out by IUPAC recommendation 1990 "Nomenclature for Sampling in Analytical Chemistry", it is not acceptable that scientists are not able to orient themselves in a sampling or analytical process. This can occur if the terms used are not well defined. Moreover, to better appreciate the development of new theories or concepts, progressive update can be necessary. To this end, on the basis of the existing terminology documents and of the most recent knowledge in the field of soil sampling, an updated terminology in sampling (specifically soil sampling) is recommended.

Otiskujeme synopsi názvoslovného návrhu z oboru analýzy půd, který byl připraven divizí IUPAC pro analytickou chemii. Návrh je nyní určen k posouzení a kritice chemické veřejnosti. Zájemci o bližší

informace či o texty návrhů se mohou obrátit na adresu Národního střediska IUPAC v České republice:

Ing. Jaroslav Kahovec, CSc.  
Ústav makromolekulární chemie AV ČR  
Heyrovského nám. 2  
162 06 Praha 6  
tel. 296 809 322, fax 296 809 410, e-mail: kah@imc.cas.cz

Návrh je též vystaven na webové stránce IUPAC na adrese  
[http://www.iupac.org/reports/provisional/abstract03/fajgelj\\_301103.html](http://www.iupac.org/reports/provisional/abstract03/fajgelj_301103.html)

Připomínky k návrhu je třeba zaslat do 30. listopadu 2003 na adresu:

Dr. Ales Fajgelj  
International Atomic Energy Agency  
Agency's Laboratories Seibersdorf  
Wagramer Strasse 5  
A-1400 Seibersdorf, Austria  
tel. +[43] 1 2600 28233  
fax +[43] 1 2600 282221  
e-mail: a.fajgelj@iaea.org

## LABORATORNÍ PŘÍSTROJE A POSTUPY

### STRIPPING VOLTAMPÉROMETRICKÉ STANOVENIE ANORGANICKÝCH FORIEM ANTIMÓNU V PRÍRODNÝCH VODÁCH

DARINA RÚRIKOVÁ a LENKA DZIAČKOVÁ

Katedra analytickej chémie, Prirodovedecká fakulta, Univerzita Komenského, Mlynská dolina, 842 15 Bratislava, Slovenská republika  
e-mail: darina.rurikova@fns.uniba.sk

Došlo 16.11.02, prepracované 12.5.03, prijaté 29.5.03.

Kľúčové slová: stripping voltampérometria, antimón

### Úvod

Antimón je kumulatívny toxickej prvok, ktorý sa v životnom prostredí väčšinou vyskytuje vo veľmi nízkych koncentráciách. Koncentrácia celkového Sb vo väčšine prírodných vôd sa pohybuje v rozmedzí  $0,01\text{--}5 \mu\text{g.l}^{-1}$ , ale v priemyselných oblastiach a sopečných zónach jeho koncentrácia môže byť výrazne vyššia. Napriek toxicite Sb jeho monitorovanie v environmentálnych systémoch donedávna nebolo bežné. Antimón sa nachádza v prírodných vodách v rôznych chemických formách: v anorganickej ako zlúčeniny Sb(III) a Sb(V) a v organickej forme ako rôzne metyllderiváty Sb<sup>1</sup>. Obsahy metyl zlúčenína Sb sú na veľmi nízkej koncentračnej úrovni ( $<0,01 \mu\text{g.l}^{-1}$ ), preto špeciačná analýza je spojená hlavne s diferenciáciou anorganických foriem Sb(III) a Sb(V).

Nízky obsah Sb vo vodách vyžaduje vysokú citlivosť analytických metód, využívaných na jeho stanovenie. Prehľad metód na stanovenie a špeciáciu Sb vo vodách je zhrnutý v prácach<sup>2,3</sup>. Toxickej vlastnosti rôznych foriem Sb sa líšia, toxicita Sb(III) je asi 10x vyššia ako toxicita Sb(V). Preto analytický postup musí byť schopný stanoviť nielen celkový Sb na úrovni  $\mu\text{g.l}^{-1}$ , ale aj rôzne formy Sb, ktoré sa vyskytujú v environmente. Tieto podmienky spĺňajú metódy elektrochemickej rozpúšťacej analýzy. Sb je najčastejšie nahromadený elektrochemickou redukcíou na visiacej ortufovej kvapkovej elektróde (HMDE)<sup>4–8</sup>, Hg filmovej<sup>9–11</sup>, Au<sup>12</sup> a Au filmovej elektróde<sup>13,14</sup>. Vylúčený kov sa potom rozpúšťa späť do roztoku polarizáciou elektródy ku pozitívnejším potenciálom za voltampérometrickej kontroly<sup>4–10</sup>, galvanostaticky konštantným prúdom<sup>12</sup> alebo chemickou oxidáciou<sup>11,13,14</sup>. Inou alternatívou je nahromadenie Sb chemickou interakciou s modifikovaným povrchom pracovnej elektródy. Khoo a Zhu testovali elektródu zo sklovitého uhlíka modifikovanú pyrogalolom<sup>15</sup>. Po selektívnom nahromadení stanovili Sb(III) metodou diferenčne pulzovej anodickej stripping voltampémetrie (DPASV).

Antimón môže byť stanovený aj adsorptívou stripping voltampérometriou (AdSV). Viaceré komplexotvorné činidlá boli navrhnuté na tento účel. Capodaglio a spol.<sup>16</sup> využili na stanovenie celkového Sb vo vodách jeho akumuláciu vo forme komplexov s pyrokatecholom. Podľa autorov Sb(III) a Sb(V) môžu byť stanovené s rovnakou citlivosťou. Wagner a spol.<sup>17</sup> navrhli 2,5-dichlor-3,6-dihydroxy-1,4-benzochinón (kyselinu chloranilovú, CAA) ako komplexotvorné činidlo na špeciáciu Sb v morskej vode. Obsah Sb(III) stanovili v  $1.10^{-3} \text{ mol.l}^{-1}$  HCl priamo a celkový Sb po oxidácii Sb(III) (UV resp. mikrovlnovou digesciou) ako Sb(V) pri pH 1. Špeciáciu dosiahli vhodnou voľbou prostredia a potenciálu depozície.

Cieľom predloženej práce bolo porovnať voltampérometrické techniky líšiace sa v spôsobe nahromadenia analytu (vo forme amalgámu a komplexov s pyrokatecholom a CAA) z hľadiska stanovenia a špeciácie anorganických foriem Sb vo vzorkách prírodných vôd.

### Experimentálna časť

#### Prístroje a zariadenia

Na voltampérometrické merania sme využili polarografický analyzátor PA 4 s X-Y zapisovačom 4103 a statickou ortufovou kvapkovou elektródu SMDE 1 v móde HMDE (Laboratorní přístroje, Praha). Referenčnou elektródu bola Ag/AgCl elektróda (1 mol.l<sup>-1</sup> KCl) a pomocnou Pt elektróda. Parametre merania: veľkosť kvapky 160 ms, doba depozície 40–480 s, amplitúda pulzu –50 mV, citlivosť 5–10 nA.cm<sup>-1</sup>, rýchlosť polarizácie 10 mV.s<sup>-1</sup> pre ASV a 50 mV.s<sup>-1</sup> pre AdSV, časová konštanta pamäti 100 ms. Rozpúšťací krok sa sledoval fast scan diferenčne pulzovou technikou.

Merania pH sa uskutočnili na pH metri MS 11 (Laboratorní přístroje, Praha) s kombinovanou elektródu sklená–argentochlорidová OP 0808 P (Radelkis, Budapešť).

#### Chémikálie a roztoky

HCl (Lachema) bola čistená izotermickou destiláciou. Pyrokatechol (Lachema) bol čistený rekryštalizáciou. Fulvénové kyseliny boli izolované z rašelin extrakčným činidlom  $0,01 \text{ mol.l}^{-1}$  Na<sub>4</sub>P<sub>2</sub>O<sub>7</sub>, pH 7. Humínové kyseliny boli referenčný materiál Fluka ( $M_r$  500–1000). Ostatné chemikálie boli čistoty p.a. (Merck, Lachema, Sigma) a neboli ďalej čistené. Voda bola deionizovaná a ďalej čistená v Labconco Water Pro PS systéme.

Standardný roztok Sb(III)  $4.10^{-3} \text{ mol.l}^{-1}$  sa pripravil rozpustením 0,1166 g Sb<sub>2</sub>O<sub>3</sub> v 18 ml koncentrovanej HCl a zriedením na objem 100 ml. Zásobným roztokom Sb(V) bol referenčný materiál 10–2–10 s obsahom Sb  $1,000 \text{ g.l}^{-1}$  (SMÚ, Bratislava). Standardné roztoky Sb nižších koncentrácií ( $2.10^{-6}$  a  $4.10^{-6} \text{ mol.l}^{-1}$  Sb(III) a  $1 \text{ mg.l}^{-1}$  Sb(V)) sa pripravili pred každou analýzou zriedením zásobných roztokov. Roztoky pyrokatecholu ( $0,1 \text{ mol.l}^{-1}$ ) a kyseliny chloranilovej (CAA) ( $5.10^{-3} \text{ mol.l}^{-1}$ ) sa pripravovali denne.

Syntetická voda so známym obsahom Sb a niektorých interferentov sa použila ako modelová vzorka. Jej zloženie bolo: 0,294 g.l<sup>-1</sup> CaCl<sub>2</sub> · 2 H<sub>2</sub>O, 0,216 g.l<sup>-1</sup> NaCl, 0,086 g.l<sup>-1</sup> MgSO<sub>4</sub> · 7 H<sub>2</sub>O, 9,5 mg.l<sup>-1</sup> KCl, 7,3 mg.l<sup>-1</sup> (NH<sub>4</sub>)<sub>2</sub>HPO<sub>4</sub>.

## Vzorky

Analyzované vzorky boli podzemné vody z oblasti stredného Slovenska, dodané Výskumným ústavom vodného hospodárstva v Bratislave.

## Pracovné postupy

### Redukcia Sb(V) na Sb(III)

Modelové alebo reálne vzorky vód (2–7 ml) sa zmiešali s koncentrovanou HCl v 25 ml skúmavke tak, aby výsledná koncentrácia HCl v tomto roztoku bola 1 mol.l<sup>-1</sup>. Po pridaní kyseliny askorbovej (4 mg.ml<sup>-1</sup>) sa skúmavka ponorila do vriaceho vodného kúpeľa na 5 minút. Po vychladnutí sa vzorka zriedila na objem 10 ml a analyzovala.

### Stanovenie Sb metódou ASV

Pri stanovení Sb(III) sa do polarografickej nádobky odpietovalo 1–10 ml modelovej resp. reálnej vzorky. Po zriedení na objem 10 ml sa pridala koncentrovaná HCl v takom množstve, aby jej výsledná koncentrácia bola 1 mol.l<sup>-1</sup>.

Obsah Sb(V) a celkového Sb sa stanovili po redukcii Sb(V) na Sb(III). Na jedno stanovenie sa pipetovalo 1–3 ml zredukovanej vzorky, ktorá sa zriedila 1 mol.l<sup>-1</sup> HCl na objem 10 ml.

Po odvzdušnení vzorky sa Sb(III) akumuloval pri potenciáli –0,2 V. Rozpúšťiaci pík Sb sa zaregistroval za podmienok predtým uvedených v rozsahu potenciálov –0,2 až –0,03 V na základe oxidácie nahromadeného kovu. Na stanovenie Sb sa použila metóda štandardných prípadkov, realizovaná troma prípadkami (20–50 µl) 2.10<sup>–6</sup> resp. 4.10<sup>–6</sup> mol.l<sup>-1</sup> Sb(III).

### Stanovenie Sb metódou AdSV s využitím komplexu Sb(III)–pyrokatechol

Do mernej nádobky sa odpietovalo 1–10 ml modelovej alebo reálnej vzorky. Po zriedení na objem 10 ml sa pridal 1 ml tlmičného roztoku CH<sub>3</sub>COOH–CH<sub>3</sub>COONa o pH 5,5, 0,2 ml 0,025 mol.l<sup>-1</sup> EDTA a obsah Sb(III) sa stanovil podľa postupu ďalej uvedeného.

Pri stanovení Sb(V) v modelových vzorkách a celkového Sb v reálnych vzorkách sa Sb(V) zredukoval kyselinou askorbovou a na jedno stanovenie sa pipetovalo 1–3 ml upravenej vzorky. K roztoku sa pridalo 0,2 ml 0,025 mol.l<sup>-1</sup> EDTA, pH sa upravilo zriedeným roztokom NH<sub>3</sub> na hodnotu 5,5 a roztok sa zriedil na objem 10 ml.

Po odvzdušnení sa do meraného roztoku pridalo 100 µl 0,1 mol.l<sup>-1</sup> pyrokatecholu. Na stanovenie Sb(III) sa využila metóda diferenčnej pulzovej voltampérometrie (DPV) v obohatenom roztoku. Sb(III) sa akumuloval vo forme amalgámu pri potenciáli –1,0 V. Po skokovej zmene potenciálu z –1,0 na –0,1 V sa po 20 s zaregistroval rozpúšťiaci pík Sb(III) v rozsahu potenciálov –0,1 až –1,0 V na základe redukcie naadsorbovaného komplexu. Kvantifikácia Sb sa uskutočnila metódou

štandardných prípadkov, realizovanou troma štandardnými prípadkami (10–50 µl) 2.10<sup>–6</sup>–4.10<sup>–6</sup> mol.l<sup>-1</sup> Sb(III).

### Stanovenie Sb metódou AdSV s využitím komplexu Sb(III)–CAA

Pri stanovení Sb(III) sa do mernej nádobky odpietovalo 1–10 ml modelovej alebo reálnej vzorky. Po zriedení na objem 10 ml a úprave roztoku zriedenou HCl na pH 3 sa pridalo 0,1 ml 5.10<sup>–3</sup> mol.l<sup>-1</sup> CAA. V odvzdušnenom roztoku sa Sb(III) nahromadoval na HMDE adsorpciou vo forme komplexu s CAA pri potenciáli –0,15 V. Rozpúšťiaci pík Sb(III) sa zaznamenal v rozsahu potenciálov –0,15 až –0,7 V na základe redukcie naadsorbovaného komplexu. Sb(III) sa stanovil metódou štandardných prípadkov.

Pri stanovení Sb(V) v modelovej vzorke a celkového Sb v reálnej vzorke sa do mernej nádobky pipetovalo 1–3 ml zredukovanej vzorky. pH vzorky sa upravilo na hodnotu 3 zriedeným roztokom NH<sub>3</sub> a po zriedení na objem 10 ml a pridaní 0,1 ml 5.10<sup>–3</sup> mol.l<sup>-1</sup> CAA sa uskutočnilo stanovenie Sb(III).

## Výsledky a diskusia

### A nodická stripping voltampérometria

Najvhodnejším základným elektrolytom na stanovenie Sb metódou ASV je prostredie HCl. Obe redoxné formy Sb sa líšia svojimi elektrochemickými vlastnosťami. Sb(III) dáva signál v širokom koncentračnom rozmedzí tejto kyseliny. Najvyšší, prakticky sa nemeniaci signál dáva v prostredí 0,1–2 mol.l<sup>-1</sup> HCl. Koncentrácia HCl ovplyvňuje aj šírku a potenciál píku. So vzrástajúcou koncentráciou HCl sa zmenšuje šírka píku a potenciál píku sa posúva k negatívnejším hodnotám. Závislosť  $I_p = f(t_d)$  je lineárna v testovanom rozsahu 40–840 s, čo je výhodné najmä pre stanovenie veľmi nízkych obsahov Sb(III).

Sb(V) je vo väčšine základných elektrolytov inaktívny, redukuje sa až v silne kyslom prostredí. Signál Sb(V) sa objavuje až pri  $c(\text{HCl}) > 1 \text{ mol.l}^{-1}$ , maximálnu hodnotu dosahuje pri  $c(\text{HCl}) = 3 \text{ mol.l}^{-1}$  a potom opäť klesá. Z tohto rozdielneho elektrochemického chovania Sb(III) a Sb(V) vyplýva, že vhodnou voľbou acidity prostredia je možné obe formy rozlísiť. Pri  $c(\text{HCl}) \leq 1 \text{ mol.l}^{-1}$  len Sb(III) sa redukuje na Sb(0) a rozpúšťiaci signál v tomto prostredí je úmerný koncentrácií Sb(III). Pri vyšších koncentráciach HCl sú elektroaktívne obe formy. Pretože smernice kalibračných kriviek Sb(III) a Sb(V) sú rozdielne (smernica Sb(III) v 3 mol.l<sup>-1</sup> HCl je dvojnásobkom smernice Sb(V)), celkový Sb sa dá stanoviť po premene Sb na jednu formu, buď redukciou na Sb(III) alebo oxidáciou na Sb(V). Citlivosť stanovenia Sb vo forme Sb(III) je niekoľkonásobne vyššia, preto v našej práci pri stanovení celkového Sb sme preferovali redukčnú predúpravu vzorky.

Linearita kalibračnej závislosti Sb(III) bola testovaná pre  $t_d = 40\text{--}360$  s v koncentračnom rozmedzí 0–10 µg.l<sup>-1</sup>. V prostredí 1 mol.l<sup>-1</sup> HCl za podmienok uvedených v experimentálnej časti závislosť  $I_p = f(c(\text{Sb}))$  pre časy depozície 40 s a 120 s bola lineárna v celom testovanom rozsahu, pre časy depozície 240 s a 360 s v intervale 0–8 µg.l<sup>-1</sup>. Lineárne časti týchto závislostí s korelačnými koeficientmi 0,9990–0,9997 sú cha-

rakterizované citlivostami: 3,5; 8,7; 17,4; 24,8 nA.l. $\mu\text{g}^{-1}$ . Detekčný limit pre Sb(III) sa zmenil z 0,3  $\mu\text{g.l}^{-1}$  pre 40 s depozíciu na 0,05  $\mu\text{g.l}^{-1}$  pre 360 s depozíciu.

### Adsorptívna stripping voltampérometria

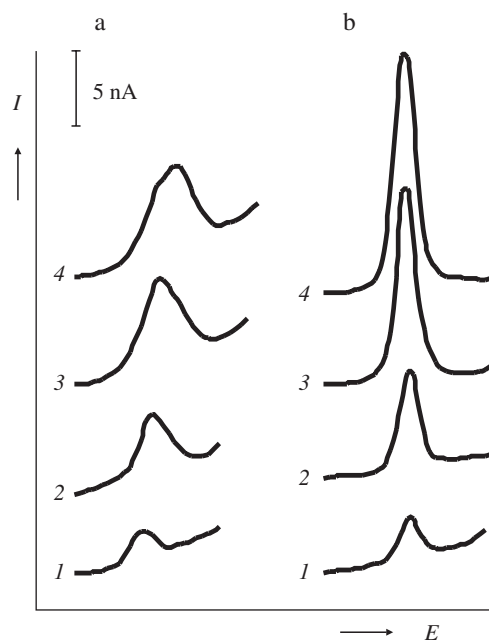
Na stanovenie Sb sme využili aj akumuláciu Sb adsorpčiou vo forme komplexov s komplexotvornými činidlami pyrokatecholu a kyselina chloranilová.

Optimalizácia experimentálnych podmienok (koncentrácia pyrokatecholu, pH,  $E_d$ , rýchlosť polarizácie) pre stanovenie Sb(III) metódou AdSV na základe komplexu s pyrokatecholom bola prezentovaná v práci<sup>19</sup>. Adsorpčia komplexu Sb(III)–pyrokatechol na HMDE je kontrolovaná koncentráciou pyrokatecholu a hodnotou pH. Komplex sa vytvára pri pH > 3 a v intervale pH 4–6,5 sa signál prakticky nemení. Optimálna koncentrácia pyrokatecholu bola 5,10<sup>-4</sup>–1,10<sup>-3</sup> mol.l<sup>-1</sup>, kedy sa dosiahol maximálny signál.

AdSV môže byť realizovaná technikou katodickej stripping voltampérometrie (CSV) a DPV v elektrochemicky obohatenom roztoku. Ako vidieť z obr. 1 technika DPV v obohatenom roztoku je vhodnejšia najmä pre stanovenia veľmi nízkych koncentrácií Sb(III) a preto sa aplikovala vo všetkých ďalších meraniach. Princíp tejto metódy je nasledujúci: Sb(III) sa najprv nahromadí elektroredukciou vo forme amalgámu pri  $E_d = -1,0$  V. Po skokovej zmene potenciálu na -0,1 V anodickým rozpúšťaním Sb(0)  $\xrightarrow{-3e^-}$  Sb(III) dôjde k obohateniu roztoku v blízkom okolí Hg kvapky Sb(III) a súčasne k naadsorbovaniu komplexu Sb(III)–pyrokatechol. Následným katodickým strippovaním v dôsledku redukcie centrálneho atómu naadsorbovaného komplexu vznikne prúdový signál, ktorý sa využíva na kvantifikáciu Sb(III). Potenciál píku je funkciou pH a polarizačnej rýchlosťi. So vzrastajúcim pH a polarizačnou rýchlosťou sa posúva k negatívnejším hodnotám. Pri polarizačnej rýchlosťi 50 mV.s<sup>-1</sup> zmena pH z 5 na 6 spôsobí posun  $E_p$  z -0,58 V na -0,64 V. Závislosť  $E_p$  vs. pH je medzi pH 3,5 až 7,0 lineárna so smernicou 60,2 mV/pH čo potvrzuje účasť protónov na redukcii akumulovaného komplexu Sb(III)–pyrokatechol. Polarizačná rýchlosť výrazne ovplyvňuje aj výšku píku Sb(III). Najvyšší nedeformovaný signál sa získal pri polarizačnej rýchlosťi 50 mV.s<sup>-1</sup>. Pri nízkych koncentráciách Sb(III) (<6  $\mu\text{g.l}^{-1}$ ) sa výška píku zvyšovala lineárne s depozičným časom do  $t_d = 240$  s. Závislosť  $I_p = f(t_d)$  pri vyšších koncentráciách bola nelineárna a dosiahla plátok pri 240–360 s.

Za podmienok uvedených v experimentálnej časti linearita závislosti  $I_p = f(c(\text{Sb}))$  sa testovala štandardnými prípravkami Sb(III) do základného elektrolytu v koncentračnom rozsahu 0–10  $\mu\text{g.l}^{-1}$ . Pre 40 s depozíciu závislosť bola lineárna v celom testovanom rozsahu, pre čas depozície 120 s a 240 s v intervale 0–7  $\mu\text{g.l}^{-1}$ . Lineárne časti týchto závislostí sú charakterizované citlivostami: 3,6; 7,2; a 12,0 nA.l. $\mu\text{g}^{-1}$  (korelačné koeficienty 0,9991, 0,9996 a 0,9995). Detekčné limity sú 0,3  $\mu\text{g.l}^{-1}$  pre 40 s depozíciu a 0,15  $\mu\text{g.l}^{-1}$  pre 240 s depozíciu.

Z našich štúdií v protirečení s literatúrou<sup>16</sup> vyplýva, že pri AdSV stanovení Sb na základe komplexu s pyrokatecholom len Sb(III) je elektroaktívnu formou Sb, čo umožňuje rozlíšiť obe redoxné formy Sb. Sb(V) neposkytuje žiadny signál, potvrdzujú to aj výsledky stanovení Sb(III) za prítomnosti Sb(V) v modelových vzorkách (tabuľka I). V analyzovaných vzorkách sa koncentrácia Sb(III) stanovila priamo. Koncen-



Obr. 1. Voltampérogramy Sb(III) zaznamenané DPCSV (a) a DPV (b) v obohatenom roztoku pri rôznych časoch depozície;  $c(\text{Sb}) = 2,4 \mu\text{g.l}^{-1}$ ;  $E_d = -0,2$  V pre DPCSV; 1, 2, 3 a 4 – čas depozície 40, 120, 240 a 360 s

Tabuľka I

Výsledky stanovenia Sb v modelových vzorkách metódou AdSV na základe komplexu s pyrokatecholom

Sb(III)	Koncentrácia <sup>a</sup> Sb [ $\mu\text{g.l}^{-1}$ ]		$s_{\bar{x}}^a$ [%]
	pripravená	stanovená	
	Sb(V)	Sb(III)	Sb(V)
5,5	13,9	5,3±0,4	–
5,5	20,8	5,4±0,2	–
4,9	–	4,8±0,7	–
2,8	100,0	2,9±0,2	–
2,4	–	2,4±0,2	–
1,4	5,6	1,3±0,1	–
0,46	–	0,42±0,04	–
0,46	0,46	0,44±0,03	–
–	14,8	–	13,9±0,7
–	5,6	–	5,6±0,6
–	4,6	–	4,5±0,3
–	2,3	–	2,2±0,1
2,9 <sup>b</sup>	–	2,8±0,2	–
2,9 <sup>c</sup>	–	2,8±0,2	–

<sup>a</sup> Pre  $n = 6$ –10, <sup>b</sup>  $c(\text{Cu}) = 153 \mu\text{g.l}^{-1}$ , <sup>c</sup>  $c(\text{Cu}) = 1271 \mu\text{g.l}^{-1}$

trácia Sb(V) sa určí odčítaním koncentrácie Sb(III) od celkovej koncentrácie Sb stanovenej po redukcii Sb(V) na Sb(III). Pri použití kyseliny chloranilovej ako komplexotvorného činidla AdSV signál poskytuje obe redoxné formy Sb. Hlavné chemické parametre, ktoré ovplyvňujú adsorpčiu komplexov

sú koncentrácia CAA a pH. Vplyv pH a  $E_d$  na výšku píku Sb(III) pri konštantnej koncentrácií CAA sú znázornené na obr. 2. Z tejto závislosti vyplýva, že optimálne prostredie pre tvorbu komplexu Sb(III)-CAA je pH 3 a najvyšší signál sa získa pri  $E_d = 0$  až  $-0,2$  V. Závislosť výšky píku od meniacej sa koncentrácie CAA pri pH 3 dosahuje plátok pri koncentrácií  $5 \cdot 10^{-5}$  mol.l<sup>-1</sup>, ktorá umožňuje stanoviť Sb(III) s maximálnou citlivosťou. S rastúcim pH a rýchlosťou polarizácie sa  $E_p$  posúva katodicky. Závislosť  $E_p$  vs. pH pri polarizačnej rýchlosťi  $50 \text{ mV.s}^{-1}$  je lineárna so smernicou  $71 \text{ mV/pH}$  v intervale pH 2–5. Polarizačná rýchlosť výrazne ovplyvňuje aj výšku píku Sb(III). Najvyšší nedeformovaný signál sa získal pri polarizačnej rýchlosťi  $50 \text{ mV.s}^{-1}$ .

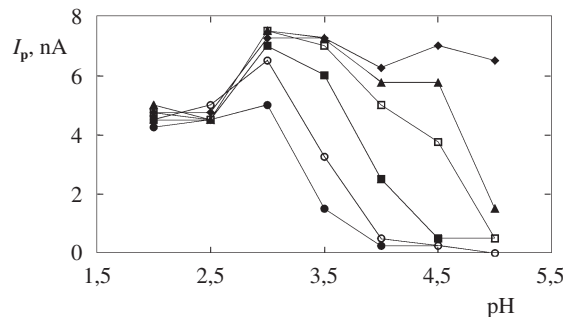
Závislosť výšky píku od času depozície sa sledovala v intervale  $t_d = 40$ – $480$  s. Signál Sb(III) pri  $c = 4,9 \mu\text{g.l}^{-1}$  dosiahol maximálnu hodnotu pri  $t_d = 240$  s, potom klesal. Zvýšenie času depozície zo 120 s na 240 s spôsobilo len malý nárast píku, preto pre väčšinu stanovení sa využil čas depozície 120 s.

Za optimálnych podmienok uvedených v experimentálnej časti sa testovala linearita závislosti  $I_p = (c(\text{Sb}))$  štandardnými prípadkami Sb(III) do základného elektrolytu o pH 3 v koncentračnom rozsahu  $0$ – $10 \mu\text{g.l}^{-1}$ . Kalibračné závislosti boli namerané pre tri časy depozície: 40; 120 a 240 s. Lineárne časti týchto závislostí sú charakterizované citlivosťami: 7,5; 17,6 a  $18,9 \text{ nA.l}\mu\text{g}^{-1}$  (korelačné koeficienty 0,9995, 0,9987, 0,9992). So zvyšujúcim sa časom depozície klesá koncentračný interval, v ktorom je kalibračná závislosť lineárna. Pri  $t_d = 40$  s je lineárna v celom testovanom rozsahu. Pri  $t_d = 120$  a 240 s k zakriveniu tejto závislosti dochádza nad koncentráciami  $4,0 \mu\text{g.l}^{-1}$  resp.  $2,0 \mu\text{g.l}^{-1}$ . Detekčné limity sú  $0,2 \mu\text{g.l}^{-1}$  pre 40 s a  $0,05 \mu\text{g.l}^{-1}$  pre 240 s depozíciu.

Optimálne prostredie pre stanovenie Sb(V) na základe komplexu Sb(V)-CAA je  $2 \cdot 10^{-2}$ – $4 \cdot 10^{-2}$  mol.l<sup>-1</sup> HCl. Pri pH 1, ktoré odporúčajú autori práce<sup>17</sup>, sa píky Sb(V) a Cu(II) prekrývajú a výsledky stanovení sú ovplyvnené prítomnosťou Cu(II). Na stanovenie Sb(V) je vhodnejšia DPV v obohatenom roztoku. Sb(V) sa nahromaďuje pri  $E_d = -0,5$  V a rozpúšťanie sa sleduje v intervale  $-0,04$  až  $-0,5$  V. AdSV signál Sb(V) je silne ovplyvnený prítomnosťou Sb(III). Potenciály píkov Sb(III) a Sb(V) sa len veľmi málo líšia a pík Sb(III) je  $4\times$  vyšší ako pík Sb(V) pri tej istej koncentrácií. Preto ani pri tejto metóde nie je možné stanoviť Sb(V) priamo, ale len z rozdielu koncentrácií celkového Sb a Sb(III). Celkový Sb je možné stanoviť po redukčnej alebo oxidačnej predpráve ako Sb(III) alebo Sb(V). Nevhodou stanovenia celkového Sb na základe signálu Sb(V) je časová závislosť signálu, vyšší detekčný limit, interferencia Cu(II). Preto celkový Sb v analyzovaných vzorkách sme stanovili po chemickej redukcii ako Sb(III) tak ako pri predchádzajúcich voltampérometrických technikách.

#### Analýza modelových vzoriek

Správnosť a presnosť stanovenia anorganických foriem Sb sa testovala analýzou modelových vzoriek s rôznou koncentráciou Sb(III) a Sb(V), pretože referenčné materiály s certifikovanými hodnotami Sb(III) a Sb(V) neboli dostupné. Ako modelovú vzorku sme použili umelú riečnu vodu, pripravenú podľa práce<sup>18</sup> s koncentráciou Sb v rozmedzí  $0,5$ – $25 \mu\text{g.l}^{-1}$ . Dosiahnuté výsledky analýz modelových vzoriek zhrnuté v tabuľkách I–III sú v dobrej zhode s očakávanými hodnotami. Sb(III) sa stanovil priamo, Sb(V) resp. celkový Sb po trans-



Obr. 2. Závislosť výšky píku Sb(III) od pH pre AdSV pri rôznych potenciáloch depozície;  $c(\text{Sb}) = 2,4 \mu\text{g.l}^{-1}$ ;  $c(\text{CAA}) = 5 \cdot 10^{-5}$  mol.l<sup>-1</sup>; čas depozície 120 s; potenciál depozície: 0,15 (●); 0,1 (○); 0 (■); -0,1 (□); -0,15 (▲); -0,2 (◆) V

formáciei Sb(V) na Sb(III) chemickou redukciou. Z viacerých redukčných činidiel bola vybraná kyselina askorbová. Pri volbe experimentálnych podmienok sme vychádzali z práce<sup>5</sup>. Účinnosť redukcie závisí od viacerých faktorov: acidity prostredia, koncentrácie redukčného činidla, teploty a času. Množstvo kyseliny askorbovej, potrebné na úplnú redukciu, závisí od koncentrácie HCl. V zriedenejších roztokoch HCl koncentrácia redukčného činidla musí byť vyššia. V prostredí 1 mol.l<sup>-1</sup> HCl pri koncentrácií kyseliny askorbovej  $c \geq 2 \text{ mg.ml}^{-1}$  a teplote  $100^\circ\text{C}$  sa kvantitatívna redukcia dosiahla v priebehu 5 min. Výťažky redukcie 25–400 ng Sb(V) sa pohybovali v rozmedzí 91,3–106,0 %.

#### Tabuľka II

Výsledky stanovenia Sb v modelových vzorkách metódou ASV

	Koncentrácia <sup>a</sup> Sb [μg.l <sup>-1</sup> ]		$s_x^a$ [%]	$c(\text{FK})^b$ [mg.l <sup>-1</sup> ]
	pripravená	stanovená		
Sb(III)	Sb(III)	Sb(V)	Sb(III)	Sb(V)
4,3	–	3,9±0,4	–	4,2
2,1	–	2,1±0,3	–	5,1
1,0	–	1,0±0,2	–	6,9
0,65	–	0,7±0,08	–	5,0
0,1	–	0,11±0,03	–	9,2
4,3	–	4,7±0,7	–	5,4
4,3	–	4,5±0,6	–	4,4
4,3	–	3,4±0,5	–	5,3
4,9 <sup>c</sup>	–	4,7±0,2	–	1,5
4,9 <sup>d</sup>	–	4,5±0,2	–	1,4
–	25	–	22,9±1,4	–
–	10	–	9,8±1,0	–
–	5	–	4,9±0,5	–
–	1	–	1,2±0,1	–
4,9	0,5	4,7±0,5	–	4,4
0,5	15,0	0,55±0,04	–	2,4
0,5	100,0	0,59±0,03	–	1,5

<sup>a</sup>Pre  $n=5$ – $8$ , <sup>b</sup>FK – fulvokyseliny, <sup>c</sup> $c(\text{Cu})=25,4 \mu\text{g.l}^{-1}$ , <sup>d</sup> $c(\text{Cu})=127,1 \mu\text{g.l}^{-1}$

Tabuľka III

Výsledky stanovenia Sb v modelových vzorkách metódou AdSV na základe komplexu s CAA

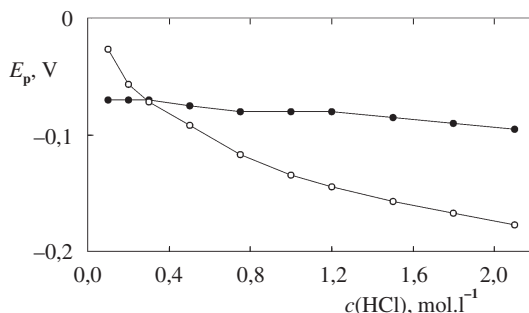
Koncentrácia <sup>a</sup> Sb [μg.l <sup>-1</sup> ]				$s_{\bar{x}}^a$
pripravená		stanovená		[%]
Sb(III)	Sb(V)	Sb(III)	Sb(V)	
4,9	–	4,9±0,3	–	2,9
1,95	–	1,80±0,19	–	4,4
0,97	–	0,94±0,06	–	2,5
0,49	–	0,5±0,03	–	2,4
0,24	–	0,23±0,03	–	5,9
1,95 <sup>b</sup>	–	1,95±0,10	–	2,0
1,95 <sup>c</sup>	–	1,91±0,04	–	0,9
1,95	20,0	1,98±0,14	–	2,8
1,95	100,0	2,06±0,13	–	2,6
1,95	195,0	2,82±0,1	–	2,8
–	25,0	–	25,2±1,8	2,8
–	10,0	–	9,7±0,6	2,4
–	5,0	–	5,0±0,2	1,6

<sup>a</sup> Pre  $n = 6-8$ , <sup>b</sup>  $c(\text{Cu}) = 104,4 \mu\text{g.l}^{-1}$ , <sup>c</sup>  $c(\text{Cu}) = 978,5 \mu\text{g.l}^{-1}$

Z prezentovaných výsledkov vyplýva, že AdSV je možné stanoviť koncentrácie Sb(III)  $c \geq 0,5 \mu\text{g.l}^{-1}$  resp.  $0,2 \mu\text{g.l}^{-1}$  pri využití pyrokatecholu resp. kyseliny chloranilovej ako komplexotvorného činidla. Nižšie koncentrácie sa dajú stanoviť len ASV. Pri stanovení Sb(V) resp. celkového Sb vo forme Sb(III) metódou AdSV nie je možné stanoviť  $c(\text{Sb}) < 2 \mu\text{g.l}^{-1}$  bez prekoncentrácie. Zvýšením iónovej sily vzoriek pridaním HCl, potrebej ako prostredie pre redukciu, sa výrazne zvýší detekčný limit. Pre nižšie koncentrácie celkového Sb je preto vhodnejšia metóda ASV.

### Interference

Pri aplikácii analytickej metódy na prírodné vody je potrebné poznať vplyvy anorganických a organických interferentov, ktoré môžu byť prítomné vo vzorkách. Potenciálnym anorganickým interferentom pri stanovení Sb v prírodných vodách metódou ASV je Cu(II), ktorá je elektroaktívna v tej istej potenciálovej oblasti. Na rozlíšenie Sb(III) a Cu(II) sa môže využiť rôzna stabilita ich chlorokomplexov. So zvyšovaním koncentrácie HCl sa potenciály píkov Sb(III) a Cu(II) posúvajú k negatívnejším hodnotám, pričom posun  $E_p(\text{Cu})$  je výraznejší (obr. 3). Zmena koncentrácie HCl z 0,1 na  $2,1 \text{ mol.l}^{-1}$  spôsobí 150 mV posun  $E_p(\text{Cu})$ , ale len 25 mV posun  $E_p(\text{Sb})$ . Výrazný posun  $E_p(\text{Cu})$  s koncentráciou HCl spôsobuje zmenu poradia píkov Sb(III) a Cu(II). Pri  $c(\text{HCl}) \geq 0,35 \text{ mol.l}^{-1}$  sa Sb(III) ochotnejšie redukuje ako Cu(II). Táto skutočnosť umožňuje vhodnou voľbou  $E_d$  minimalizovať interferenciu Cu(II). Koncentrácia HCl  $c(\text{HCl}) \geq 1 \text{ mol.l}^{-1}$  je vhodným prostredím na stanovenie Sb za prítomnosti Cu(II). V prostredí  $1 \text{ mol.l}^{-1}$  HCl (vhodnom pre selektívne stanovenie Sb(III) pri  $E_d = -0,2 \text{ V}$ ), môže byť tolerovaná 25 násobne vyššia hmotnostná koncentrácia Cu(II). Vyššie koncentrácie HCl, ktoré môžeme aplikovať na stanovenie celkového Sb, umožňujú stanovenia Sb(III) za prítomnosti ešte vyššieho nadbytku Cu(II).



Obr. 3. Vplyv koncentrácie HCl na potenciál píkov Sb(III) (●) a Cu(II) (○) pre DPASV;  $c(\text{Sb}) = 2,4 \mu\text{g.l}^{-1}$ ;  $c(\text{Cu}) = 3,2 \mu\text{g.l}^{-1}$ ; čas depozície 120 s; potenciál depozície  $-0,3 \text{ V}$

(napr. pri molovom pomere  $n(\text{Cu})/n(\text{Sb}) \leq 200$  v prostredí  $1,5 \text{ mol.l}^{-1}$  HCl). Elimináciu interferencie Cu(II) uľahčuje aj tá skutočnosť, že Cu(II) na rozdiel od Sb(III) dáva v prostredí HCl nízky a široký pík v dôsledku 1 elektrónového strippovacieho procesu, ktorý sa zvyšovaním koncentrácie HCl výrazne znižuje. Pri zmene koncentrácie HCl z 0,5 na  $1,8 \text{ mol.l}^{-1}$  pík Cu(II) klesne o 80 %, kým výška píku Sb(III) zostáva takmer nezmenená. Možnosť stanovenia Sb(III) za prítomnosti Cu(II) pri vhodne zvolených experimentálnych podmienkach ( $c(\text{HCl})$ ,  $E_d$ ) metódou ASV potvrzujujú aj analýzy modelových vzoriek (tabuľka II).

Pri stanovení Sb(III) metódou AdSV Cu(II) neinterferuje. Sb(III) sa dá stanoviť aj za prítomnosti vysokého nadbytku Cu(II) (2–3 poriadky). Svedčia o tom aj výsledky analýz modelových vzoriek (tabuľka I, III). Pri AdSV využívajúcej komplex Sb(III)–pyrokatechol za prítomnosti vysokého nadbytku Cu(II) nie je vhodné pridať EDTA, pretože pík Cu(II) sa posúva k negatívnejším potenciálom a môže dôjsť k prekrytiu píku Sb(III). Pri AdSV stanovení Sb potenciálmi interferentami sú kovové ióny, ktoré vytvárajú s daným komplexotvorným činidlom komplexy adsorbujúce sa na HMDE alebo poskytujú katodické píky v tej istej potenciálovej oblasti. V prípade AdSV využívajúcej komplex Sb(III) s kyselinou chloranilovou takýmito interferentami sú Pb(II) a Sb(V). Pb(II) ovplyvňuje signál Sb(III) až pri  $c > 20 \mu\text{g.l}^{-1}$ . Interferenciu Pb(II) nie je možné eliminovať pridaním EDTA. Za prítomnosti EDTA komplex Sb(III)–CAA nevzniká. Prirodzený obsah Pb(II) v prírodných vodách je však výrazne nižší. Detekčný limit Sb(V) za podmienok optimálnych pre stanovenie Sb(III) je asi o 2 poriadky vyšší. Jeho interferencia sa prejaví až pri pomere  $c(\text{Sb(V)})/c(\text{Sb(III)}) \geq 100$ . Preto pri analýze vzoriek s vysokým nadbytkom Sb(V) vzhľadom k Sb(III) treba počítať s jeho interferenciou. Potvrzujujú to aj výsledky analýz modelových vzoriek s koncentráciou Sb(III)  $1,95 \mu\text{g.l}^{-1}$  a Sb(V) v intervale  $20-200 \mu\text{g.l}^{-1}$ . Kyselina chloranilová bola využitá ako komplexotvorné činidlo aj na stanovenie Mo, V, W a U metódou AdSV. Podľa autorov<sup>17</sup> stanovenie Sb nemôže byť ovplyvnené týmito prvkami pre ich výrazne rozdielne akumulačné a rozpúšťacie potenciály.

Najväčnejším potenciálnym interferentom pri stanovení Sb(III) na základe komplexu s pyrokatecholom je Cd(II). DPV signál Cd(II) sa objaví pri  $c \geq 5 \mu\text{g.l}^{-1}$ . V prírodných vodách Cd(II) je väčšinou na nižšej koncentrácnej úrovni, aby sa prejavila interferencia. Vplyv vyšších koncentrácií Cd(II) mô-

že byť eliminovaný príďavkom EDTA. S pyrokatecholom vytvárajú komplexy aj Fe, V a U. Pretože netvoria amalgámy, ich interferencia je znížená použitím potenciálu depozície  $-1,0$  V, ktorý je negatívnejší ako potenciál redukcie ich komplexov<sup>16</sup>.

Reálne vzorky vôd obsahujú popri anorganických zložkách aj organické najmä vo forme humínových látok, ktoré adsorpciou na povrch Hg elektrody nepriaznivo ovplyvňujú signál analytu, prípadne viažu kovové ióny do inaktívnych komplexov. Hlavnou frakciou humínových látok v prírodných vodách (40–85 %) sú fulvénové kyseliny. Výraznejší pokles signálu je pozorovaný pri AdSV technikách. Koncentrácia fulvénových kyselín  $5 \text{ mg.l}^{-1}$  spôsobí 75 % zníženie píku pri AdSV a 30 % pri ASV. Pokles ASV signálu Sb(III) na polovinu nastal až pri koncentrácií fulvénových kyselín  $20 \text{ mg.l}^{-1}$ . Vplyv humínových kyselín na voltampérometrický signál Sb(III) je ešte výraznejší. Za prítomnosti humínových kyselín a fulvénových kyselín vhodnejším potenciáлом pre nahromadenie Sb(III) adsorpciou vo forme komplexu Sb(III)–CAA je potenciál  $0,1$  V. Za týchto podmienok signál klesá, ale nie je deformovaný. Pri  $E_d = -0,15$  V (odporúčaný ako optimálny) pík Sb(III) sa deformeuje, čo zhoršuje jeho vyhodnotenie.

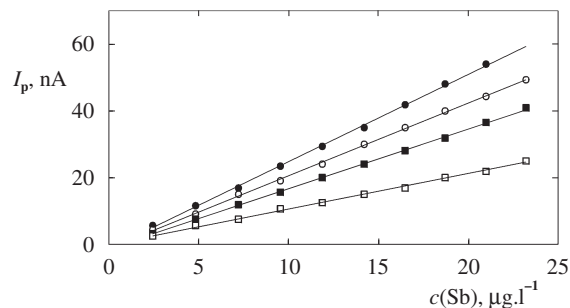
Z uvedených výsledkov vyplýva, že ASV stanovenie Sb(III) je najmenej ovplyvnené prítomnosťou fulvénových a humínových kyselín. Možnosť stanovenia Sb(III) metódou štandardných príďavkov sa testovala zostrojením kalibračných kriviek pri rôznych koncentráciách fulvokyselín (obr. 4.). Z kalibračných závislostí vyplýva, že Sb(III) môže byť stanovený touto metódou vo väčšine prírodných vôd priamo bez predúpravy, hoci s nižšou citlivosťou. Potvrdzujú to aj výsledky analýz modelových vzoriek s obsahom fulvokyselín menším ako  $10 \text{ mg.l}^{-1}$  (tabuľka II).

Pri stanovení celkového Sb je možné humínové látky odstrániť deštrukciou UV žiareniom alebo zahrievaním minerálnymi kyselinami. Tento postup nie je možné využiť pri špeciácii Sb, pretože narušuje prirodzenú distribúciu Sb medzi dve redoxné formy Sb(III) a Sb(V). Vo vzorkách podzemných vôd je obsah humínových látok veľmi nízky a pri metóde štandardných príďavkov ich interferencia je zanedbateľná.

#### Analýza prírodných vôd

Stripping voltampérometrické techniky sa aplikovali na analýzu 8 vzoriek podzemných vôd z oblasti stredného Slovenska. Sb(III) v analyzovaných vzorkach sa stanovil metódou ASV priamo po pridaní HCl v takom množstve, aby jej výsledná koncentrácia bola  $1 \text{ mol.l}^{-1}$ . Koncentrácia Sb(III) bola vyhodnotená metódou štandardných príďavkov. Koncentrácie Sb(III) boli veľmi nízke, pohybovali sa pod  $0,2 \text{ µg.l}^{-1}$ . Výnimkou bola vzorka SV, v ktorej bol Sb(III) stanovený aj AdSV za prítomnosti pyrokatecholu ( $18,7 \pm 1,5 \text{ µg.l}^{-1}$ ). Koncentrácia Sb(III) v ostatných vzorkach bola pod medzou stanovenia metód AdSV. Zo získaných výsledkov zhrnutých v tabuľke IV vyplýva, že presnosť stanovení Sb(III) metódou ASV na takejto nízkej koncentračnej úrovni je dobrá. Relatívne štandardné odchyly priemeru 5–10 stanovení každej vzorky sa pohybujú v intervale 4–9 %.

Celkový obsah Sb v prírodných vodách sa stanovil po redukcii Sb(V) na Sb(III) kyselinou askorbovou (v prostredí  $1 \text{ mol.l}^{-1}$  HCl pri teplote  $100^\circ\text{C}$ ). Výsledky dosiahnuté metódami ASV a AdSV sú zhrnuté v tabuľke V a predstavujú dobrú



Obr. 4. Kalibračné krivky Sb(III) pre DPASV pri rôznych koncentráciách fulvénových kyselín;  $c(\text{HCl}) = 1 \text{ mol.l}^{-1}$ ; potenciál depozície  $-0,2$  V; čas depozície 120 s;  $c(\text{FK})$ : 0 (●); 2,7 (○); 5,3 (■); 16 (□)  $\mu\text{g.l}^{-1}$

#### Tabuľka IV

Výsledky stanovenia Sb(III) v prírodných vodách metódou ASV

Vzorka [ $\mu\text{g.l}^{-1}$ ]	Koncentrácia Sb <sup>a</sup> [%]	$s_{\bar{x}}^a$ [%]
SV	$20,6 \pm 2,3$	4,2
B-1	$0,15 \pm 0,03$	8,5
B-2	—	—
KL	$0,11 \pm 0,02$	8,2
LP	$0,10 \pm 0,02$	8,1
JS	$0,18 \pm 0,03$	5,4
DK	$0,10 \pm 0,03$	8,9
NT	—	—

<sup>a</sup> Pre  $n = 5–10$

zhodu. Zhodnosť výsledkov stripping voltampérometrických techník bola testovaná Studentovým testom na danom počte analyzovaných vzoriek. Rozdiely neboli štatisticky významné a môžu byť vysvetlené náhodnými chybami. Koncentrácia celkového Sb v analyzovaných vzorkach sa pohybovala v širokom koncentračnom rozmedzí od  $0,3$  po  $100 \mu\text{g.l}^{-1}$ . Presnosť stanovenia je dobrá, relatívne štandardné odchyly neprekročili 8 %. Výsledky dosiahnuté stripping voltampérometrickými technikami boli porovnané s výsledkami získanými v laboratóriu spektrálnych metód nezávislou metódou atómovej absorpcnej spektrometrie s generáciou hydridov (HGAA). Na testovanie zhodnosti výsledkov bola využitá Youdenova metóda ( $a = -0,2274$ ;  $b = 0,9675$ ;  $r = 0,9995$ ). Z porovnania výsledkov v tabuľkach IV a V vyplýva, že prevládajúcou formou Sb v analyzovaných vzorkach podzemných vôd bol Sb(V), tvoril viac ako 98 % z celkového Sb s výnimkou vzorky SV.

#### Záver

V predloženej práci boli porovnané stripping voltampérometrické metódy s rôznym spôsobom nahromadenia Sb na HMDE z hľadiska stanovenia anorganických foriem Sb v prí-

Tabuľka V  
Výsledky stanovenia celkového Sb v prírodných vodách

Vzorka	ASV		AdSV-CAA <sup>a</sup>		AdSV-Py <sup>b</sup>		HGAAS <i>c</i> (Sb) [ $\mu\text{g.l}^{-1}$ ]
	<i>c</i> (Sb) [ $\mu\text{g.l}^{-1}$ ]	$S_{\bar{x}}$ [%]	<i>c</i> (Sb) [ $\mu\text{g.l}^{-1}$ ]	$S_{\bar{x}}$ [%]	<i>c</i> (Sb) [ $\mu\text{g.l}^{-1}$ ]	$S_{\bar{x}}$ [%]	
SV	98,7±5,1	2,1	99,9±5,8	2,4	96,2±5,8	2,5	–
B-1	65,6±4,0	2,6	66,4±2,4	1,5	68,1±4,3	2,7	68,7
B-2	33,3±1,6	2,0	33,5±1,3	1,7	32,0±1,6	2,1	34,4
LP	31,3±2,4	3,3	33,1±2,4	3,2	32,2±4,4	5,8	34,1
KL	23,3±2,3	4,1	23,4±1,4	2,4	21,4±1,4	2,8	23,0
JS	6,74±0,48	3,0	6,76±0,76	4,6	5,84±0,66	4,6	7,24
NT	0,72±0,48	5,4	–	–	–	–	0,68
DK	0,33±0,06	7,2	–	–	–	–	–

<sup>a</sup> AdSV komplexu s kyselinou chloranilovou, <sup>b</sup> AdSV komplexu s pyrokatecholom

rodnych vodach. Rozdielne elektrochemické vlastnosti Sb(III) a Sb(V) umožňujú ich špeciáciu. Sb(III) sa stanovil priamo, celkový Sb po transformácii Sb(V) na Sb(III) redukciou s kyselinou askorbovou pri 100 °C v prostredí 1 mol.l<sup>-1</sup> HCl. Sb(III) sa akumuloval na HMDE elektroredukciou vo forme amalgámu (ASV) alebo adsorpciou vo forme komplexov s pyrokatecholom a kyselinou chloranilovou (AdSV). Na testovanie analytických postupov sa použili vzorky umelej riečnej vody so známou koncentráciou Sb(III) a Sb(V). Vypracovaný postup sa aplikoval na stanovenie stopových koncentrácií Sb(III) a celkového Sb vo vzorkách podzemných vód. Výhodou ASV oproti AdSV technikám je nižší detekčný limit a menší vplyv humínových látok na signál Sb(III). Nevýhodou je interferencia Cu(II) pri vyšších koncentráciách. Naopak AdSV umožňuje stanoviť Sb(III) aj za prítomnosti Cu(II), ktorej koncentrácia je o niekoľko poriadkov vyššia.

Práca bola vypracovaná v rámci grantu VEGA č. 1/6266/99.

#### LITERATÚRA

- Andreae M. O., Asmode J. F., Foster P., Van't dack L.: Anal. Chem. 53, 1766 (1981).
- Smichowski P., Madrid Y., Cámara C.: Fresenius' J. Anal. Chem. 360, 623 (1998).
- Farkašovská I., Závadská M., Žemberyová M.: Chem. Listy 93, 173 (1999).
- Gillain G., Duyckaerts G., Di Steche A.: Anal. Chim. Acta 106, 23 (1979).
- Piccardi G., Udisti R.: Mikrochim. Acta 1979 II, 447.
- Weidenauer M., Lieser K. H.: Fresenius' J. Anal. Chem. 320, 550 (1985).
- Gillain G.: Talanta 29, 651 (1989).
- Bubnýk J.: Chem. Listy 91, 200 (1997).
- Gilbert T. R., Hume D. N.: Anal. Chim. Acta 65, 451 (1973).
- Svintsonova L. D., Kaplin A. A., Rubinskaya T. B., Mordrinova N. N.: Zh. Anal. Khim. 46, 156 (1991).
- Adelouj S. B., Young T. M., Jagner D., Batley G. E.: Analyst 123, 1871 (1998).
- Hui Liang H., Jagner D., Renman L.: Anal. Chim. Acta 202, 123 (1987).
- Wang E., Sun W., Yang Y.: Anal. Chem. 56, 1903 (1984).
- Ruan X.: Fenxi Shiyanshi 9, 12 (1990); Chem. Abstr. 114, 234746 (1991).
- Khoo S. B., Zhu J.: Anal. Chim. Acta 373, 15 (1998).
- Capodaglio G., Van den Berg C. M. G., Scarpone G.: J. Electroanal. Chem. 235, 275 (1987).
- Wagner W., Sander S., Henze G.: Fresenius' J. Anal. Chem. 354, 11 (1996).
- Chakraborti D., Adams F. M., Irgolic K. J.: Fresenius' J. Anal. Chem. 323, 340 (1986).
- Rúriková D., Počuchová M.: Chem. Pap. 51, 15 (1997).

**D. Rúriková and L. Dziačková** (*Department of Analytical Chemistry, Faculty of Natural Sciences, Comenius University, Bratislava, Slovak Republic*): **Stripping Voltammetric Determination of Inorganic Antimony Species in Natural Waters**

Stripping voltammetric techniques used for the determination of trace levels of antimony species in water samples are compared. The voltammetric behavior of Sb depends on its oxidation state. For the determination of Sb(III), water samples were used without pretreatment. The total antimony was estimated after reduction of Sb(V) to Sb(III) with ascorbic acid in 1 mol.l<sup>-1</sup> HCl. Antimony(III) was accumulated on a hanging mercury drop electrode either by electrochemical reduction to the element (ASV) or by adsorptive collection as complexes with pyrocatechol and chloranilic acid (AdSV). Water spiked with standard solutions of Sb(III) and Sb(V) was used for the testing of stripping voltammetric techniques. The relative standard deviations ranged from 0.9 to 9.2 % and the recoveries were > 90.7 % for both Sb species. Finally, the developed methods were successfully applied to the analysis of Sb in underground waters. Excellent agreement of our results of total Sb with those obtained by the HGAAS technique confirms the suitability of stripping voltammetric methods for antimony determination.

## STANOVENÍ $\text{CH}_3\text{Hg}$ SKUPIN V RYBÍM MASE METODOU HPLC S UV DETEKcí

JIŘÍ ŠPIČKA, LUBOMÍR SVOBODA  
a DAGMAR JANOUŠKOVÁ

Katedra chemie, Zemědělská fakulta, Jihočeská univerzita v Českých Budějovicích, Branišovská 31, 370 05 České Budějovice  
e-mail: spicka@zf.jcu.cz

Došlo 31.5.02, přepracováno 10.12.02, přijato 29.5.03.

**Klíčová slova:** methylrtuť, extrakce tuhou fází, HPLC, ryby

### Úvod

Vysoká toxicita organických sloučenin rtuti, vyskytujících se v přírodních materiálech včetně některých potravin, vedla ke značnému zájmu o jejich stanovení. Nejvýznamnější organické sloučeniny rtuti, s kterými se setkává toxikolog, jsou methylhydrargyrioderiváty obsahující skupinu  $\text{CH}_3\text{Hg}$ .

Pro stanovení  $\text{CH}_3\text{Hg}$  skupiny v biologickém materiálu byla v průběhu let vypracována celá řada analytických postupů. Nejčastěji využívané metody obvykle zahrnují tři stupně. Prvním je uvolnění  $\text{CH}_3\text{Hg}$  skupiny z vazby na proteiny, následuje přečištění a často i zakoncentrování analytu. Posledním stupněm je obvykle chromatografická analýza s vhodnou detekcí.

Pro uvolnění  $\text{CH}_3\text{Hg}$  skupin z vazby na biologické materiály, kde jsou vázány zejména na thiolové skupiny proteinů, se doporučuje extrakce koncentrovanou kyselinou chlorovodíkovou. Vzniká tak methylhydrargyriumchlorid  $\text{CH}_3\text{HgCl}$  (cit.<sup>1</sup>). Pro některé materiály (rybí tkáň, vlasy) je někdy využívána alkalická hydrolýza, při níž se štěpí tuky a bílkoviny. Usnadní se tak uvolnění  $\text{CH}_3\text{Hg}$  skupiny<sup>2–4</sup>.

Pro oddělení, zakoncentrování a přečištění analytu stále převažují metody využívající extrakci z kapaliny do kapaliny. Při klasickém postupu je methylhydrargyriumchlorid nejprve extrahován z vodné fáze do organického nepolárního rozpouštědla, nejčastěji toluenu nebo chloroformu. Následuje další přečištění reextrakcí do vodného roztoku thiosíranu sodného. Při tomto postupu ovšem dochází ke značným ztrátám analytu. Jsou uváděny i více než 60% úbytky<sup>2,5–7</sup>.

Perspektivnější se jeví využití techniky extrakce tuhou fází (SPE). Methylhydrargyriumchlorid je reakcí s vhodným činidlem převeden na nepolární sloučeninu, kterou lze na SPE kolonkách s fází C18 dobře zachytit. Běžně se používá APDC (amonná sůl pyrrolidin-1-yl-dithiocarbamátu)<sup>5,8</sup>.

Pro vlastní stanovení  $\text{CH}_3\text{Hg}$  skupiny je dosud využívána technika plynové chromatografie, ale v posledních letech je preferována metoda HPLC s obrácenou fází<sup>8</sup>. Izolované methylhydrargyriosloučeniny musí být pro tuto techniku převezeny na nepolární látky. Užívá se dithiocarbamat nebo dithizon<sup>5,9</sup>. V této souvislosti je výhodné využití techniky SPE pro

přečištění a zakoncentrování analytu, protože takto získané vzorky lze přímo použít pro HPLC. Vzhledem k malým koncentracím  $\text{CH}_3\text{Hg}$  skupiny v přírodních vzorcích jsou v HPLC používány detektory s vysokou citlivostí. V současnosti je běžná AAS detekce (selektivní detektory na bázi studených par rtuti)<sup>5,10</sup>. Objevuje se i využití MS detektorů, např. v kombinaci ICP-MS (cit.<sup>11</sup>). Běžný UV/VIS detektor není bohužel pro popisované postupy příliš citlivý<sup>8</sup>.

V některých biologických materiálech, např. v rybím mase, lze ovšem očekávat poměrně vysoké koncentrace methylhydrargyrioderivátů. Pokusili jsme se proto vyvinout postup, který by umožňoval stanovení  $\text{CH}_3\text{Hg}$  skupiny v uvedených materiálech s využitím běžného přístroje HPLC s UV/VIS detekcí.

### Experimentální část

#### Použité přístroje a chemikálie

Měření byla prováděna na přístroji HPLC SpectraSYSTEM fy TSP (čerpadlo P2000 s UV/VIS detektorem UV3000HR). Použitá kolona byla typu C18 Res Elut-ENV 150×4,60 mm 4,5 µm fy Varian. Analyt byl izolován metodou SPE na zařízení VISIPREP fy Supelco s využitím kolonek LiChrolut RP18 – 500 mg fy Merck.

Pro přípravu mobilní fáze a izolaci extrakcí tuhou fází (SPE) byly použity acetonitril LiChrosolv (gradient grade), voda LiChrosolv, methanol p.a. a APDC (amonná sůl pyrrolidin-1-yl-dithiocarbamátu) fy Merck. Jako standard byl použit  $\text{CH}_3\text{HgCl}$  fy Johnson Matthey. Ostatní použité chemikálie byly běžné čistoty p.a.

#### HPLC analýza

Podmínky HPLC analýzy jsou uvedeny v tabulce I.

Použitá koncentrace APDC v mobilní fázi představuje kompromis mezi uspokojivou opakovatelností analýzy a základní absorbancí mobilní fáze. Minimální použitelná koncentrace byla  $3 \cdot 10^{-5} \text{ mol.l}^{-1}$ . Při nižších hodnotách již vymizel pik analytu. Základní absorbance použité mobilní fáze proti směsi acetonitril/voda (optická dráha 10 mm) byla 600 mAU při 249 nm.

Tabulka I  
HPLC podmínky

Parametr	Hodnota
Použitá kolona	C18 Res Elut-ENV 150×4,60 mm 4,5 µm fy Varian
Složení mobilní fáze	acetonitril/voda 47/53 (v/v), APDC $5 \cdot 10^{-5} \text{ mol.l}^{-1}$
Průtok mobilní fáze	$1,5 \text{ ml.min}^{-1}$
Detekce	249 nm <sup>a</sup>
Objem nástřiku	20 µl

<sup>a</sup> Lze pracovat i při 254 nm bez zásadního snížení odezvy detektoru

## Izolace analytu

Vzhledem k nižší citlivosti při použití UV detekce bylo použito relativně větší množství vzorku. 10 g čerstvé rybí svaloviny bylo nejprve rozrušeno zahříváním při 60 °C se 40 ml hydroxidu sodného ( $c = 3 \text{ mol.l}^{-1}$ ) po dobu 30 min. Analyt byl následně uvolněn z matrice po přidání 50 ml kyseliny chlorovodíkové ( $c = 3 \text{ mol.l}^{-1}$ ) (pH směsi menší než 1) půlhodinovou extrakcí v ultrazvukové lázně. Proteiny ve směsi byly vysráženy upravením pH směsi na 3,5 roztokem NaOH a odfiltrovány. Oddělení proteinu je kritickou fází celého postupu, je proto nutné předem zjistit nevhodnější pH pro určitou matrici.

Analyt byl v dalším postupu izolován ze směsi metodou SPE. Parametry SPE jsou uvedeny v tabulce II. K filtrátu bylo přidáno 0,1 ml roztoku APDC ( $c = 5 \cdot 10^{-2} \text{ mol.l}^{-1}$ ). Získaný extrakt byl odpařen do sucha při 60 °C proudem dusíku a rozpuštěn v 0,2 ml mobilní fáze. Takto získaný vzorek byl přímo nastříkován do kapalinového chromatografu.

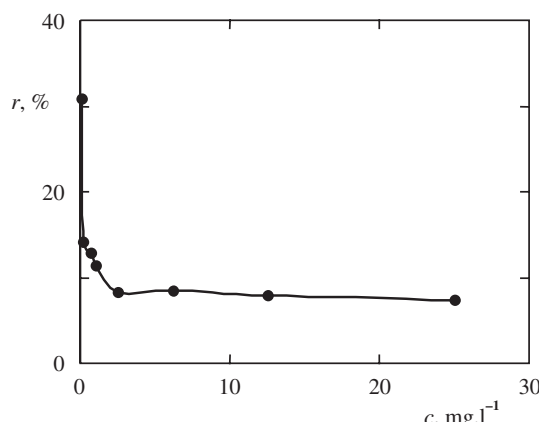
Tabulka II  
Parametry SPE

Parametr	Hodnota
Kondicionace kolonky	3 ml H <sub>2</sub> O
Sušení kolonky	15 min prosáváním vzduchu
Eluce analytu	2 × 0,5 ml CH <sub>3</sub> OH

## Výsledky a diskuse

### Postup HPLC

Optimální parametry HPLC analýzy byly určeny s využitím roztoků CH<sub>3</sub>HgCl. Analýza byla ověřována roztoky CH<sub>3</sub>HgCl o koncentraci rtuti 0,125 až 25 mg.l<sup>-1</sup> na osmi hladinách při pěti opakováních. Relativní intervaly spolehlivosti ( $P = 0,9$ )



Obr. 1. Relativní interval spolehlivosti  $r$  (%) stanovení CH<sub>3</sub>Hg při různé koncentraci  $c$  kalibračních roztoků

pro jednotlivé hladiny koncentrace jsou uvedeny na obr. 1, celkový koeficient korelace  $R = 0,9987$ .

Výsledky naznačují, že metoda je použitelná pro vyšší koncentrace CH<sub>3</sub>Hg skupin. Mez stanovitelnosti pro relativní interval spolehlivosti 0,1 ( $P = 0,9$ ) pro uvedené podmínky analýzy je 1,3 mg.l<sup>-1</sup>.

## Izolace analytu

Výtěžnost analytu v jednotlivých stupních analytického postupu byla testována na pěti hladinách koncentrace s pětinásobným opakováním na každé hladině. Stupeň SPE byl testován roztoky CH<sub>3</sub>HgCl o koncentraci Hg 0,5 až 25 mg.l<sup>-1</sup>, SPE s následným odpařením do sucha roztoky o koncentraci rtuti 0,1 až 5 mg.l<sup>-1</sup> a celý postup přídavkem CH<sub>3</sub>HgCl v množství 0,1 až 5 µg Hg k 10 g čerstvé rybí svaloviny. Výtěžnost byla vyhodnocena regresní analýzou – stanovené množství Hg proti původnímu, resp. přidanému množství Hg. Hodnoty regresních koeficientů pro jednotlivé stupně jsou uvedeny v tabulce III.

Podle uvedených výsledků nejsou ztráty analytu pro uvedený postup analýzy na hladině spolehlivosti  $P = 0,9$  statisticky významné. Celková mez stanovitelnosti metody v přepočtu na vzorek o hmotnosti 10 g je pak 26 µg.kg<sup>-1</sup>.

Tabulka III

Výtěžnost CH<sub>3</sub>Hg skupin v jednotlivých stupních analytického postupu

Stupeň analýzy	Regresní koeficient <sup>a</sup>	Mez ( $P = 0,9$ )	
		dolní	horní
SPE	0,9917	0,9641	1,0193
SPE + odpar	0,9832	0,9527	1,0137
Vzorek s přídavkem	0,9819	0,9306	1,0332

<sup>a</sup> Regresní koeficienty závislosti teoreticky přítomného a stanoveného množství Hg

## Přesnost a správnost metody

Přesnost a správnost metody byla ověřována s využitím referenčního materiálu CRM 464 (tuňák), produktu BCR (Community Bureau of Reference) s deklarovaným obsahem CH<sub>3</sub>Hg 5,50 mg.kg<sup>-1</sup> s intervalm spolehlivosti ( $P = 0,95$ , 0,17 mg.kg<sup>-1</sup>).

Bylo provedeno pět paralelních stanovení při navážce vzorku 0,2 g. Poměr stanoveného a deklarovaného množství Hg byl 0,9371 s intervalm spolehlivosti ( $P = 0,9$ , 0,1183. Vzhledem k tomu, že poměr stanoveného a deklarovaného množství Hg je významně ( $P = 0,9$ ) odlišný od 1,0, byly u reálných vzorků výsledky korigovány koeficientem 0,9371.

## Praktická aplikace

Uvedená metoda byla použita pro stanovení CH<sub>3</sub>Hg ve svalovině ryb z několika lokalit ČR. Výsledky jsou uvedeny v tabulce IV.

Ze 17 vzorků byl pouze v jednom případu zjištěn obsah

**Tabulka IV**  
Koncentrace Hg ve formě  $\text{CH}_3\text{Hg}$  skupin ve svalovině ryb z několika lokalit ČR

Lokalita	Druh ryby	Počet vzorků	Koncentrace $\text{CH}_3\text{Hg}$ [ $\mu\text{g}(\text{Hg}).\text{kg}^{-1}$ ]		
			průměr	minimum	maximum
Malše – vodní nádrž Římov	bolen dravý	4	33,4	26,5	43,2
	okoun říční	1	120	–	–
Vltava – Klecany	štika obecná	6	131	75,2	195
	okoun říční	2	132	68,4	195
Labe – Štětí	jelec tloušť	4	425	334	602

Hg mírně pod určenou mezí stanovitelnosti. Lze proto konstatovat, že metoda je pro uvedený typ materiálu použitelná. Použít ji lze i pro stanovení  $\text{CH}_3\text{Hg}$  skupin ve svalovině mořských ryb, případně i některých orgánech s nízkým obsahem tuku.

#### Srovnání s jinými postupy

Použitý postup při izolaci analytu se ve srovnání s reextrakčními postupy<sup>2,5–7</sup> vyznačuje vysokou výtěžností. Nevýhodou je nižší mez stanovitelnosti při UV detekci. Jako zajímavé se v této souvislosti jeví použití citlivějších detektorů<sup>5,10,11</sup> ve spojení s popsaným izolačním postupem.

#### Závěr

Popsaná metoda je použitelná pro stanovení skupin  $\text{CH}_3\text{Hg}$  v biologických vzorcích, kde lze předpokládat jejich obsah minimálně v desítkách  $\mu\text{g}.\text{kg}^{-1}$ , a to s využitím běžné laboratorní techniky. Výhodou je zejména vysoká výtěžnost analytu.

Práce byla realizována s podporou grantu FRVŠ 0173/1999.

#### LITERATURA

- Wilken R. D., Hintelmann H., v knize: *Metal Speciation in the Environment* (Broekaert J. A. C., Gruber S., Adams F., ed.), NATO ASI Ser., sv. G23, str. 339. Springer-Verlag, Berlin 1990.
- Vural N., Ünlü H.: Bull. Environ. Contam. Toxicol. 57, 315 (1996).

- Caricchia A. M., Minervini G., Soldati P., Chiavarini S., Ubaldi C., Morabito R.: Microchem. J. 55, 44 (1997).
- Yoshinaga J., Morita M., Okamoto K.: J. Anal. Chem. 357, 279 (1997).
- Aceto M., Foglizzo A. M., Mentasti E., Sacchero G., Sarzanini C.: Int. J. Environ. Anal. Chem. 60, 1 (1995).
- Cai Y., Tang G., Jaffé R., Jones R.: Int. J. Environ. Anal. Chem. 68, 331 (1997).
- Mizuishi K., Takeuchi M., Hobo T.: Chromatographia 44, 386 (1997).
- Cela R., Lorenzo R. A., Mejuto M. C., Bollanu M. H., Boltana A., Rubi E., Medina M. I.: Mikrochim. Acta 109, 111 (1992).
- Minagawa K., Sasaki T., Takizawa R., Kifune I.: Anal. Chim. Acta 115, 103 (1980).
- Falter R., Schöler H. F.: Chemosphere 29, 1333 (1994).
- Harrington C. F., Catterick T.: J. Anal. At. Spectrom. 2, 1053 (1997).

**J. Špička, L. Svoboda, and D. Janoušková** (*Department of Chemistry, Faculty of Agriculture, University of South Bohemia, České Budějovice*): **Determination of  $\text{CH}_3\text{Hg}$  Groups in Fish Muscle by HPLC with UV Detection**

An analytical method was developed for the determination of the  $\text{CH}_3\text{Hg}$  group content in fish muscles.  $\text{CH}_3\text{HgCl}$  was isolated by SPE and determined by HPLC with UV detection. The method can be used for samples with high  $\text{CH}_3\text{Hg}$  contents. The detection limit was  $26 \mu\text{g}.\text{kg}^{-1}$  in 10 g samples.

# **56. sjezd chemických společností**

**Ostrava**  
**6.-10. září 2004**

## *Pořádající organizace*

Asociace českých chemických společností  
Asociácia slovenských chemických a farmaceutických spoločností  
ve spolupráci s  
VŠB-Technickou univerzitou a Ostravskou univerzitou

## *Sekce sjezdu*

Chemie uhlí, produktů jejich zpracování a chemie uhlíkatých materiálů  
Analytická chemie a chémometrie  
Anorganická chemie  
Organická, bioorganická a farmaceutická chemie  
Fytochemie  
Potravinářská chemie  
Chemie životního prostředí, rizikové látky v chemii a jejich likvidace  
Fyzikální chemie a chemická fyzika  
Makromolekulární chemie a technologie polymerů  
Chemické vzdělávání, chemická informatika a historie chemie  
Petrochemie  
Jaderná chemie  
Chemie a struktura materiálů  
Průmyslová chemie

## *Organizační výbor*

<i>Předseda:</i>	Doc. Ing. Petr Pánek, CSc., rektor OU, petr.panek@osu.cz
<i>Místopředseda:</i>	Doc. Ing. Bořivoj Fiala, CSc., MARBO A.P.S., vrbovskysfp@quick.cz
<i>Hospodář:</i>	Ing. Vladimíra Plačková, FMMI VŠB-TU, vladimira.plackova@vsb.cz
<i>Vědecký tajemník:</i>	Doc. RNDr. Ervín Kozubek, CSc., FMMI VŠB-TU, ervin.kozubek@vsb.cz
<i>Organizační tajemník:</i>	RNDr. Václav Slovák, Ph. D., FMMI VŠB-TU, vaclav.slovak@vsb.cz, vaclav.slovak@osu.cz vaclav.Slovak@vsb.cz
<i>Kontaktní adresa:</i>	



Česká společnost chemická  
Redakce časopisu Chemické listy  
Novotného lávka 5  
116 68 Praha 1  
tel. 221 082 370, tel., fax 222 220 184  
e-mail: chem.listy@csvts.cz

## PROČ SE STÁT ČLENEM SPOLEČNOSTI

Zapojení v České chemické společnosti, členu Asociace českých chemických společností, přináší individuálním chemikům kromě vlastního členství v největší a nejstarší české profesní organizaci chemiků:

- kontakty, informace, služby, možnosti, uplatnění...
- zasílání Bulletina Chemických listů,
- možnost objednání předplatného Chemických listů s výraznými slevami,
- možnost objednání předplatného dalších vybraných chemických časopisů,
- podstatné slevy u vložného na sjezdech a konferencích, jejichž oficiálním pořadaatelem je ČSCH,
- členské informace o nových knihách, produktech a službách i o připravovaných odborných akcích na celém světě,
- informace o dění v evropských strukturách, jako např. ALLChemE, ECCC, FECS a pod.,
- přístup k elektronickým informačním médiím Společnosti,
- možnost zažádání o evropskou nostrifikaci chemického vzdělání a odborné praxe spojenou s udelením titulu EurChem, platného v celé EC,
- přístup k službám Literature Information Center v Londýně (přes sekretariát ČSCH) s řadou služeb zdarma, ostatní (xeroxy, separáty aj.) za „členské poplatky“,
- významnou slevu (ca 90%) na předplatném časopisu Chemistry – A European Journal,
- přístup ke službám a slevám poskytovaným členskými organizacemi EC3 a FECS pro členy národních organizací,
- možnost přidruženého členství v IUPAC, a z toho plynoucí sleva u nakladatelství Blackwell a na konferencích sponzorovaných IUPAC, členové IUPAC dostávají časopis Chemistry International,
- možnost slevy na členských příspěvcích při vstupu do Evropské chemické společnosti ECS,
- možnost získání a doporučení členské přihlášky do významných zahraničních chemických společností (RSC, ACS, GDCh, GÖCh, SFC aj.),
- slevu na knihy u řady nakladatelství (Wiley-VCH, ITP, Brooks and Cole, Springer aj.) při objednávkách cestou sekretariátu ČSCH. Týká se většiny titulů.
- možnost získání předplatného pro webové verze časopisů produkovaných a distribuovaných ACS za „členské ceny“,
- možnost získání příležitostních slev obchodních firem spolupracujících s ČSCH,
- slevu při zapůjčení automobilu (až 35%) u společností AVIS a HERTZ na celém světě, kromě Austrálie, a použití těchto automobilů na akcích v ČR za speciální tarify,
- možnost uplatnit informace z vlastní pracovní činnosti (výsledky, novinky, inzerce, tisková oznámení aj.),
- možnost zveřejnění vlastního oznámení v rubrice Bulletina Chemických listů „Práci hledají“,
- firmám, podnikům, institucím a dalším právnickým osobám nabízí ČSCH mimo jiné i tzv. „kolektivní členství“, při kterém se ve vzájemné smlouvě sjedná to, čím mohou pomoci jedna strana druhé.

Přihlášky do České společnosti chemické jsou k vyzvednutí na sekretariátě ČSCH, Novotného lávka 5, 116 68 Praha 1.

---

## OBSAH

<b>ÚVODNÍK</b>	975	<b>EDITORIAL</b>	975
<b>REFERÁTY</b>			
<b>Tepelné zpracování čistírenských kalů</b>	976	<b>REVIEW ARTICLES</b>	
M. Hartman, K. Svoboda, V. Veselý, O. Trnka a J. Chour		Sewage Sludge Thermal Processing	976
<b>Správná laboratorní praxe od nedávnej minulosti po současnost</b>	983	M. Hartman, K. Svoboda, V. Veselý, O. Trnka, and J. Chour	
P. Finger a I. Koruna		<b>Good Laboratory Practice since the Recent Past until the Present Time</b>	983
<b>Možnosti aerobního mikrobiálního odbourávání trichlorethenu</b>	986	P. Finger and I. Koruna	
M. Sergejevová a J. Růžička		<b>Potentials of Aerobic Microbial Degradation of Trichloroethene</b>	986
<b>Biodegradácia a bioremediácia pentachlórfenolu (PCP)</b>	991	M. Sergejevová and J. Růžička	
K. Dercová, Z. Kyseľová, G. Barančíková, Z. Sejáková a A. Maťová		<b>Biodegradation and Bioremediation of Pentachlorophenol</b>	991
<b>Elektrochemické biosenzory v analýze zemědělských produktů a vzorků životního prostředí</b>	1003	K. Dercová, Z. Kyseľová, G. Barančíková, Z. Sejáková, and A. Maťová	
R. Kizek, J. Vacek, L. Trnková, B. Klejdus a V. Kubáň		<b>Electrochemical Biosensors in Agricultural and Environmental Analysis</b>	1003
<b>Selektivní katalytická redukce NO<sub>x</sub> uhlovodíky v oxidační atmosféře na zeolitových katalyzátorech</b>	1007	R. Kizek, J. Vacek, L. Trnková, B. Klejdus, and V. Kubáň	
L. Čapek a B. Wichterlová		<b>Selective Catalytic Reduction of NO<sub>x</sub> with Hydrocarbons on Zeolite Catalysts</b>	1007
<b>NOMENKLATURA A TERMINOLOGIE</b>		L. Čapek and B. Wichterlová	
<b>DOPORUČENÍ IUPAC</b>	1016	<b>NOMENCLATURE AND TERMINOLOGY</b>	
Terminology in Soil Sampling (J. Kahovec)		<b>IUPAC Recommendation</b>	1016
<b>LABORATORNÍ PŘÍSTROJE A POSTUPY</b>		Terminology in Soil Sampling (J. Kahovec)	
<b>Stripping voltampérometrické stanovenie anorganických foriem antimónu v prírodných vodách</b>	1017	<b>LABORATORY EQUIPMENT AND METHODS</b>	
D. Rúriková a L. Dziačková		<b>Stripping Voltammetric Determination of Inorganic Antimony Species in Natural Waters</b>	1017
<b>Stanovení CH<sub>3</sub>Hg skupin v rybím mase metodou HPLC s UV detekcí</b>	1024	D. Rúriková and L. Dziačková	
J. Špička, L. Svoboda a D. Janoušková		<b>Determination of CH<sub>3</sub>Hg Groups in Fish Muscle by HPLC with UV Detection</b>	1024
		J. Špička, L. Svoboda, and D. Janoušková	

---

## CONTENTS

**BULLETIN ČESKÝCH CHEMICKÝCH  
SPOLEČNOSTÍ****BULLLETIN OF THE CZECH CHEMICAL  
SOCIETIES**

Grafické vyjádření chirality chemických sloučenin	1029	<b>Graphic Representation of Chirality in Chemical Structures</b>	1029
Ze života chemických společností	1034	<b>From the Chemical Societies</b>	1034
Členská oznámení a služby	1035	<b>Member Services and Announcements</b>	1035
Evropský koutek	1035	<b>European Column</b>	1035
Výuka chemie	1036	<b>Chemistry Education</b>	1036
Osobní zprávy	1036	<b>Personal News</b>	1036
Zákony, které ovlivní život chemiků	1038	<b>Laws that could influence life of chemists</b>	1038
Technické zajímavosti a služby	1039	<b>Technical Information, Tips and Services</b>	1039
Aprílový klub	1040	<b>Club of Jokes</b>	1040
Odborná setkání	1041	<b>Meetings and Conferences</b>	1041
Bulletin představuje	1044	<b>Bulletin presents</b>	1044
Volná místa	1044	<b>Jobs</b>	1044
Knihy	1044	<b>Books</b>	1044
Akce v ČR a v zahraničí	1045	<b>Meetings Calendar</b>	1045
Tisková zpráva	1045	<b>Press Release</b>	1045
Výročí a jubilea	1046	<b>Anniversaries and Jubilees</b>	1046

**CHEMICKÉ LISTY • ročník/volume 97 (2003), čís./no. 10 • LISTY CHEMICKÉ, roč./vol. 127, ČASOPIS PRO PRŮMYSL CHEMICKÝ, roč./vol. 113 • ISSN 0009-2770, ISSN 1213-7103 (e-verze) • evidenční číslo MK ČR E 321 • Vydaná Česká společnost chemická jako časopis Asociace českých chemických společností ve spolupráci s VŠCHT v Praze, s ČSPCH a ÚOCHB AV ČR za finanční podpory Nadace Český literární fond, kolektivních členů ČSCH a Ministerstva zemědělství České republiky • IČO 444715 • Published by the Czech Chemical Society • VEDOUcí REDAKTOR/EDITOR-IN-CHIEF: B. Kratochvíl • REDAKTOŘI/EDITORS: J. Barek, Z. Bělohlav, P. Drašar, J. Hetflejš, P. Holý, P. Chuchvalec, J. Podešva, P. Rauch, J. Volke, M. Bláhová (Bulletin), M. Ferles (Bulletin), B. Valter (Bulletin), I. Valterová (Bulletin), R. Liboska (webové stránky), P. Zámostný (webové stránky) • ZAHRANIČNÍ A OBLASTNÍ REDAKTOŘI/FOREIGN AND REGIONAL EDITORS: F. Švec (USA), L. Opletal (Hradec Králové) • KONZULTANT/CONSULTANT: J. Kahovec • VÝKONNÁ REDAKTORKA/EDITORIAL ASSISTANT: R. Rápková • REDAKČNÍ RADA/ADVISORY BOARD: E. Borsig, M. Černá, L. Červený, E. Dibuszová, J. Hanika, Z. Havlas, J. Churáček, I. Kadlecová, J. Káš, J. Koubek, T. Míšek, J. Pacák, V. Pačes, O. Paleta, V. Růžička, I. Stibor, V. Šimánek, R. Zahradník • ADRESA PRO ZASÍLÁNÍ PŘÍSPĚVKŮ/MANUSCRIPTS IN CZECH, SLOVAK OR ENGLISH CAN BE SENT TO: Chemické listy, Novotného lávka 5, 116 68 Praha 1; tel./phone +420 221 082 370, fax +420 222 220 184, e-mail: chem.listy@csvts.cz • INFORMACE O PŘEDPLATNÉM, OBJEDNÁVKY, PRODEJ JEDNOTLIVÝCH ČÍSEL A INZERCE/INFORMATION ADS: Sekretariát ČSCH, Novotného lávka 5, 116 68 Praha 1; tel., fax +420 222 220 184, e-mail: mblahova@csvts.cz, simanek@csvts.cz • PLNÁ VERZE NA INTERNETU/FULL VERSION ON URL: <http://chemicke-listy.vscht.cz> • TISK: České Tiskárny s.r.o., Ráby 14, 533 52 Staré Hradiště; SAZBA: SF SOFT, Jinonická 329, 158 00 Praha 5, B. Valter (Bulletin) • Copyright © 2003 Chemické listy/Česká společnost chemická • Cena výtisku 125 Kč, roční plné předplatné 2003 (12 čísel) 1190 Kč, individuální členské předplatné pro členy ČSCH 630 Kč. Roční předplatné ve Slovenské republice 80 eur (doručování via SCHS), individuální členské předplatné pro členy ČSCH 60 eur (doručování via SCHS), 225 eur (individuální doručování) • DISTRIBUTION ABROAD: KUBON & SAGNER, POB 34 01 08, D-80328 Munich, FRG; Annual subscription for 2003 (12 issues) 225 euro • Podávání novinových zásilek povoleno ČP s.p. OZ VČ, č.j. PP/I 5333/95 • This journal has been registered with the Copyright Clearance Center, 2322 Rosewood Drive, Danvers, MA 01923, USA, where the consent and conditions can be obtained for copying the articles for personal or internal use • Pokyny pro autory najdete v čísle 1/2002 a na internetu, zkratky časopisů v čísle 10/97 na str. 911 • Chemické listy obsahující Bulletin jsou zaslány zdarma v rámci dohod o spolupráci významným představitelům české chemie a chemického průmyslu a do všech relevantních knihoven v ČR.**